

## Tabellen und Diagramme zu Kapitel 8

### Struktur und Eigenschaften der Materie

– *Structure and properties of matter*

Redakteur: A. Scharmann

8.01	Verschiedene Eigenschaften von Festkörpern – <i>Various properties of solids</i> (W. Hemminger) . . . . .	529
8.02	Verschiedene Eigenschaften von Flüssigkeiten – <i>Various properties of liquids</i> (W. Hemminger) . . . . .	532
8.03	Verschiedene Eigenschaften von Gasen – <i>Various properties of gases</i> (W. Blanke) . . . . .	534
8.04	Abschätzung typischer Intensitäten von Molekularstrahlquellen in Strahlrichtung als Funktion der Molekülenergie – <i>Estimate of typical intensities of molecular beam sources within the beam direction as a function of the energy of molecules</i> (K.-H. Scharfner) . . . . .	540
8.05	Die sieben Kristallsysteme und die vierzehn Bravais-Gitter – <i>The seven crystal systems and the fourteen Bravais lattices</i> (H. Bradaczek u. G. Hildebrandt) . . . . .	540
8.06	Kristallstruktur der wichtigsten Elemente und einfacher chemischer Verbindungen – <i>Crystal structure of the most important elements and of simple chemical compounds</i> (H. Bradaczek u. G. Hildebrandt) . . . . .	541
8.07	Relativistisch korrigierte de Broglie-Wellenlängen $\lambda$ des Elektrons im Energiebereich $E = 10^2$ bis $10^7$ eV – <i>Relativistically corrected de Broglie wavelengths <math>\lambda</math> for electrons of energies between <math>10^2</math> and <math>10^7</math> eV</i> (R. Lauer) . . . . .	544
8.08	Neutronenstreuulängen und Wirkungsquerschnitte – <i>Neutron scattering lengths and cross sections</i> (V.F. Sears u. R. Scherm) . . . . .	544
8.09	Teilchenausbeuten beim Ionenbeschuß von Festkörpern – <i>Particle yields from ion-bombarded solids</i> (H. Oechsner) . . . . .	555
8.09a	Gesamtausbeuten $Y_{\text{tot}}$ (Atome/Ion) bei der Festkörperzerstäubung durch Ionenbeschuß (Sputtering) – <i>Total sputtering yields <math>Y_{\text{tot}}</math> of solids (atoms/ion)</i> . . . . .	555
8.09b	Sekundärionenausbeuten $Y_{\text{Me}^+}$ ( $\text{Me}^+$ -Ionen/Primärion) an reinen und oxidierten Metalloberflächen beim Beschuß mit $\text{Ar}^+$ -Ionen von 2,5 keV unter $70^\circ$ gegen die Flächennormale (nach Benninghoven) – <i>Secondary ion yields <math>Y_{\text{Me}^+}</math> (<math>\text{Me}^+</math> ions/primary ion) at clean and at oxidized metal surfaces under bombardment with 2,5 keV <math>\text{Ar}^+</math>-ions under <math>70^\circ</math> with respect to the normal (of the surface)</i> (H. Oechsner) . . . . .	555
8.10	Ioneninduzierte Elektronenausbeuten $\gamma$ für reine polykristalline Targets bei senkrechtem Beschuß mit $\text{Ar}^+$ -Ionen von 1 keV – <i>Ion induced electrons yields from clean polycrystalline targets under normal bombardment with <math>\text{Ar}^+</math>-ions of 1 keV</i> (H. Oechsner) . . . . .	556

8.11	Elektronenaustrittsarbeit $\Phi$ von verschiedenen Elementen (polykristalline Proben) in eV (nach Michaelson und Hölzl u. Schulte) – <i>Electronic work function <math>\Phi</math> of different elements (polycrystalline samples) in eV</i> (H. Jahrreiss) . . . . .	556
8.12	Elektronenaustrittsarbeiten $\Phi_{hkl}$ in eV aus bestimmten niedrig indizierten Netzebenen von Einkristallen ausgewählter Metalle – <i>Electronic work function <math>\Phi_{hkl}</math> in eV of single-crystalline metals measured in the direction of low-index planes</i> (H. Jahrreiss) . . . . .	557
8.13	Elektronenaustrittsarbeiten fremdstoffbedeckter und oxidierter Metalle in eV (nach Herrmann u. Wagener und Kluge) – <i>Electronic work function of impurity-covered and of oxidized metals in eV</i> (H. Jahrreiss) . . . . .	557
8.14	Kernmagnetische Momente und Spinresonanzdaten – <i>Nuclear magnetic moments and spin resonance data</i> (A. Hofstaetter) . . . . .	557
8.15	Ionenleitfähigkeiten $\Lambda_{\infty}^+$ , $\Lambda_{\infty}^-$ in wässriger Lösung – <i>Ionic conductivities <math>\Lambda_{\infty}^+</math>, <math>\Lambda_{\infty}^-</math> in aqueous solutions</i> (W. Seidel) . . . . .	568
8.16	Leitfähigkeit von Salzschnmelzen – <i>Conductivity of molten salts</i> (W. Seidel) . . . . .	568
8.17	Überföhrungszahlen $t_i$ der Ionen in festen Leitern – <i>Transference numbers <math>t_i</math> of ions in solid conductors</i> (W. Seidel) . . . . .	569
8.18	Spezifische Leitfähigkeit wässriger KCl-Lösungen – <i>Specific conductivities of aqueous KCl-solutions</i> (W. Seidel) . . . . .	570
8.19	Standard-Redoxpotentiale in wässrigem Elektrolyten in V (bezogen auf die Standard-Wasserstoffelektrode) – <i>Standard potentials in aqueous solution in V (vs. the standard hydrogen electrode)</i> (B. Kastening) . . . . .	570
8.20	Nullladungspotentiale in V (gegen die Standard-Wasserstoffelektrode) – <i>Potentials of zero charge in V (vs. the standard hydrogen electrode)</i> (B. Kastening) . . . . .	571
8.21	Kinetische Daten ausgewählter Redox-Reaktionen an verschiedenen Metallen in wässriger Lösung – <i>Kinetic data of selected redox reactions at various metals in aqueous solutions</i> (B. Kastening) . . . . .	572
8.22	Permittivitätszahlen und Verlustfaktoren wichtiger Isolierstoffe bei Raumtemperatur, falls nicht anders angegeben – <i>Permittivities and loss factors of important insulating materials at room temperature</i> (P. Thoma) . . . . .	573
8.23	Permittivitätszahlen der wichtigsten Ionenkristalle – <i>Permittivities of the most important ionic crystals</i> (P. Thoma) . . . . .	577
8.24	Die thermoelastodielektrischen Materialkonstanten zweiter Ordnung mit Darstellung ihres Zusammenhangs durch das Heckmann-Diagramm – <i>The thermoelastodielectric material constants of second order with a representation of their interrelation by means of the Heckmann diagram</i> (P. Thoma) . . . . .	578
8.25	Fermi-Energie $E_F$ einiger Metalle – <i>Fermi energy <math>E_F</math> of some metals</i> (E. Braun) . . . . .	579
8.26	Spezifischer elektrischer Widerstand $\varrho_0$ bei 0°C, Temperaturkoeffizient des elektrischen Widerstandes $\alpha$ und Debye-Temperatur $\Theta_D$ von reinen Metallen – <i>Electrical resistivity <math>\varrho_0</math> at 0°C, temperature coefficient of the resistivity <math>\alpha</math> and Debye temperature <math>\Theta_D</math> of pure metals</i> (E. Braun) . . . . .	579
8.27	Atomare Widerstandserhöhung $\Delta\varrho_{At}$ und $\Delta\varrho'_{At}$ für verschiedene in Kupfer gelöste Metalle – <i>Atomic resistivity increase <math>\Delta\varrho_{At}</math> and <math>\Delta\varrho'_{At}</math> of different metals dissolved in copper</i> (E. Braun) . . . . .	580
8.28	Grüneisen-Funktion $G(\vartheta)$ – <i>Grüneisen function <math>G(\vartheta)</math></i> (E. Braun) . . . . .	581

8.29 Mittlere Druckkoeffizienten des elektrischen Widerstandes  $\gamma_p$  in  $10^{-11} \text{ m}^2/\text{N}$  für Drücke bis zu  $7 \cdot 10^8 \text{ N/m}^2$  bei  $0^\circ\text{C}$  – *Mean pressure coefficients of the electrical resistivity  $\gamma_p$  in  $10^{-11} \text{ m}^2/\text{N}$  for pressures up to  $7 \cdot 10^8 \text{ N/m}^2$  at  $0^\circ\text{C}$*  (E.Braun) . . . . . 582

8.30a Die thermoelektrische Spannungsreihe – *Thermoelectric series* (E. Braun) 582

8.30b Thermospannungen in mV nach DIN 43710 für einige gebräuchliche Thermoelemente – *Thermoelectric voltages in mV according to DIN 43710 for some common thermocouples* (E.Braun) . . . . . 582

8.31 Kenndaten von Supraleitern – *Properties of superconductors* (E. Braun) . 584

8.31a Supraleitende Elemente – *Superconducting elements* . . . . . 584

8.31b Supraleitende Verbindungen und Legierungen vom Typ II mit hohen kritischen Flußdichten – *Type II superconducting compounds and alloys* . . . 584

8.31c Hochtemperatur-Supraleiter – *High temperature superconductors* . . . . 584

8.32 Kenndaten von Halbleitern – *Properties of semiconductors* (E. Braun) . . 585

8.32a Elementare Halbleiter – *Elementary semiconductors* . . . . . 586

8.32b III-V-Verbindungen – *III-V compounds* . . . . . 586

8.32c II-VI-Verbindungen – *II-VI compounds* . . . . . 587

8.32d Sonstige Halbleiter – *Other semiconductors* . . . . . 588

8.33 Fachglossar „Technische Acronyme“ der Materialkunde (P. Thoma) . . . 589

B.11 Verschiedene Eigenschaften von Festkörpern\*) – *Various properties of solids*  
 Dichte  $\rho$ , mittlere lineare Ausdehnungskoeffizient  $\alpha$ , spezifische Wärmekapazität  $c_p$ , Schmelzwärme  $L_f$ , molare Verdampfungsenthalpie  $AH_{\text{vap}}$ , molare Verdampfungsenthalpie  $AH_{\text{sub}}$ , molare Verdampfungsenthalpie  $AH_{\text{sub}}$

Lat. Nr.	Stoff	System oder Formel	$\rho$ bei $20^\circ\text{C}$ in $\text{g/cm}^3$	$10^6 \alpha$ zwischen $0$ & $100^\circ\text{C}$ in $\text{K}^{-1}$	$c_p$ bei $25^\circ\text{C}$ in $\text{J/g}^\circ\text{C}$	$L_f$ in $\text{kJ/mol}$	$AH_{\text{vap}}$ in $\text{kJ/mol}$	$AH_{\text{sub}}$ in $\text{kJ/mol}$
1	Aluminium	Al	2,70	23,6	0,88	10,8	31,1	331
2	Antimon	Sb	6,07	11,0	0,20	19,0	94,1	363
3	Arten	As	5,72	10,0	0,18	18,0	92,0	360
4	Bismut	Bi	9,78	11,8	0,22	21,0	98,0	370
5	Beryllium	Be	1,82	13,3	0,25	23,0	105,0	380
6	Bor	B	2,34	12,5	0,23	22,0	108,0	390
7	Blei	Pb	11,34	29,4	0,13	4,8	47,7	207
8	Calcium	Ca	1,55	14,8	0,28	26,0	113,0	400
9	Chrom	Cr	7,19	11,6	0,21	20,0	84,0	340
10	Cobalt	Co	8,90	13,6	0,24	23,0	90,0	350
11	Eisen	Fe	7,87	11,8	0,22	21,0	88,0	340
12	Gold	Au	19,30	14,3	0,12	4,5	44,0	197
13	Indium	In	7,31	16,7	0,16	5,5	54,0	227
14	Kadmium	Cd	8,65	16,7	0,16	5,5	54,0	227
15	Kupfer	Cu	8,96	16,7	0,16	5,5	54,0	227
16	Nickel	Ni	8,90	13,6	0,24	23,0	90,0	350
17	Platin	Pt	21,45	16,7	0,16	5,5	54,0	227
18	Quecksilber	Hg	13,53	18,3	0,14	6,0	60,0	254
19	Silber	Ag	10,49	19,3	0,13	4,8	47,7	207
20	Zinn	Sn	7,29	22,7	0,11	3,8	38,0	178
21	Zink	Zn	7,14	26,1	0,10	3,3	33,0	163
22	Zinn	Sn	7,29	22,7	0,11	3,8	38,0	178
23	Zinn	Sn	7,29	22,7	0,11	3,8	38,0	178
24	Zinn	Sn	7,29	22,7	0,11	3,8	38,0	178

\*) Die für die angegebenen Stoffe angegebenen Werte sind die Werte für die Stoffe bei  $20^\circ\text{C}$ .

### 8.01 Verschiedene Eigenschaften von Festkörpern\*) — Various properties of solids (W. Hemminger)

Dichte  $\rho$ , mittlerer linearer Ausdehnungskoeffizient  $\alpha$ , spezifische Wärmekapazität  $c_p$ , Schmelzpunkt  $t_F$ , molare Schmelzenthalpie  $\Delta H_{F,m}$ , Siedepunkt  $t_B$  (bei 101325 Pa), molare Verdampfungsenthalpie  $\Delta H_{V,m}$  am normalen Siedepunkt.

Lfd. Nr.	Stoff	Symbol oder Formel	$\rho$ in $\text{g/cm}^3$ bei 20 °C	$10^6 \alpha$ zwischen 0 u. 100 °C in $\text{K}^{-1}$	$c_p$ bei 25 °C in $\text{Jg}^{-1} \text{K}^{-1}$	$t_F$ in °C	$\Delta H_{F,m}$ in $\text{kJ} \cdot \text{mol}^{-1}$	$t_B$ in °C	$\Delta H_{V,m}$ in $\text{kJ} \cdot \text{mol}^{-1}$
1	Actinium	Ac	10,06		0,24	1050	10,46	3200	
2	Aluminium	Al	2,702	23,8	0,9	660,3	10,71	2447	294,1
3	Antimon	Sb	6,69	10,9	0,21	630,6	20,33	1637	128,2
4	Barium	Ba	3,51	18	0,19	710	7,66	1637	150,9
5	Beryllium	Be	1,85	12,3	1,82	1283	12,53	2477	294
6	Bismut	Bi	9,80	13,5	0,12	271,4	11,13	1560	151,5
7	Blei	Pb	11,34	29,4	0,13	327,4	4,77	1751	179,5
8	Bor	B	2,34 (amorph)	8,3	1,03	2030	(15,5)	3900	~314
9	Cadmium	Cd	8,65	29,4	0,23	321,1	6,29	765	99,9
10	Caesium	Cs	1,873	97	0,24	28,64	2,18	685	65,9
11	Calcium	Ca	1,55	25,2 <sup>1)</sup>	0,65	850	18,66	1487	150,9
12	Cer	Ce	6,77		0,21	797	12,80	3426	313,8
13	Chrom	Cr	6,93	6,6	0,45	1860	14,56	2642	348,4
14	Cobalt	Co	8,9	12,6	0,42	1495	15,3	2880	389,8
15	Eisen	Fe	7,87		0,45	1538	15,47	2750	354,1
16	Gallium	Ga	5,91	18	0,42	29,76	5,57	2227	253,8
17	Germanium	Ge	5,33	6	0,32	937,2	29,76	2830	333,9
18	Gold	Au	19,29	14,3	0,12	1064	12,77	2707	325,0
19	Hafnium	Hf	13,36	6,6	0,14	2220	21,8	(4602)	661,3
20	Indium	In	7,36	30	0,23	156,6	3,28	2047	226,2
21	Iridium	Ir	22,42	6,5	0,13	2446	27,63	4350	749,7
22	Jod	I <sub>2</sub>	4,93	83	0,43	113,6	15,77	182,8	41,71
23	Kalium	K	0,86	84 <sup>2)</sup>	0,75	63,25 subl.	2,33	753,8	77,42
24	Kohlenstoff (amorph)	C	1,8 bis 2,1 2,25	7,9		3650 subl.			
	Graphit		2,25		0,71	3650 subl.			
	Diamant		3,51	1,3	0,5	>3550			

\*) Die hier aufgeführten Stoffwerte hängen beträchtlich von der Reinheit der Stoffe ab. <sup>1)</sup> 20 °C bis 100 °C, <sup>2)</sup> 0 °C bis 50 °C.

Lfd. Nr.	Stoff Gedicht.	Symbol oder Formel	$\rho$ bei 20 °C in g/cm <sup>3</sup>	$10^6 \alpha$ zwischen 0 u. 100 °C in K <sup>-1</sup>	$c_p$ bei 25 °C in Jg <sup>-1</sup> K <sup>-1</sup>	$t_f$ in °C	$\Delta H_{f,m}$ in kJ · mol <sup>-1</sup>	$t_B$ in °C	$\Delta H_{v,m}$ in kJ · mol <sup>-1</sup>
25	Kupfer	Cu	8,96	16,8	0,386	1085	13,03	2595	304,4
26	Lanthan	La	6,16	4,9 <sup>3)</sup>	0,200	920	6,7	3457	393
27	Lithium	Li	0,534	56	3,406	180,5	3,01	1330	148,1
28	Lutetium	Lu	9,84		0,119	1663	19	3395	
29	Magnesium	Mg	1,74	26,0	1,025	649,5	8,95	1120	131,8
30	Mangan	Mn	7,43	23	0,479	1244	14,61	2095	224,8
31	Molybdän	Mo	10,22	5,1	0,247	2623	27,82	~4800	594
32	Natrium	Na	0,97	71	1,226	97,79	2,60	883	89,30
33	Neodym	Nd	7,01	6,7 <sup>4)</sup>	0,188	1020	10,67	3100	296
34	Nickel	Ni	8,91	13	0,444	1455	17,79	2800	380,3
35	Niob	Nb	8,55	7,3	0,268	2473	26,76	~4900	696,8
36	Osmium	Os	22,48	6,6	0,131	3045	27,96	~4400	~630
37	Palladium	Pd	12,02	11,9	0,244	1555	17,24	3560	372,6
38	Phosphor, weiß schwarz	P	1,82 2,69	124	0,797	44,2	2,51 <sup>†)</sup>	281	12,39
39	Platin	Pt	21,45	9,1	0,132	1768	21,66	4300	446,8
40	Polonium	Po	9,4		0,126	254	(10,05)	962	(103)
41	Radium	Ra	5,0		0,121	700	(8,30)	(1530)	136,9
42	Rhenium	Re	21,04	6,6	0,137	3180	33,11	~5600	707
43	Rhodium	Rh	12,5	8,5	0,248	1962	22,43	3960	531
44	Rubidium	Rb	1,53	90	0,361	39,27	2,20	701	75,22
45	Ruthenium	Ru	12,3	9,6	0,236	2333	~26	4110	~568
46	Scandium	Sc	2,99		0,490	1538	16,74	2830	~330
47	Schwefel, monokl. ( $\beta$ ) rhomb. ( $\alpha$ )	S <sub>8</sub> S <sub>8</sub>	1,96 2,07		0,737 0,705	119,0 112,8	1,718	444,6	90,57
48	Selen (grau)	Se	4,79	37	0,321	217,4	5,42	684,9	95,48
49	Silber	Ag	10,5	19,7	0,235	961,8	11,27	2180	253,5
50	Silicium	Si	2,33	7,6	0,705	1423	46,47	2355	394,6
51	Strontium	Sr	2,67		0,287	770	9,20	1367	139,3
52	Tantal	Ta	16,6	6,5	0,141	2996	31,49	~5400	752,7
53	Tellur (amorph)	Te	6,00	17,2	0,201	449,5	17,49	989,8	114,1
54	Thallium	Tl	11,85	29,4	0,129	303,5	4,21	1457	162,5

<sup>3)</sup> 0 °C bis 25 °C, <sup>4)</sup> 0 °C bis 25 °C, <sup>†)</sup> für P<sub>4</sub>.

## Fortsetzung T 8.01

Lfd. Nr.	Stoff	Symbol oder Formel	$\rho$ bei 20 °C in g/cm <sup>3</sup>	$10^6 \alpha$ zwischen 0 u. 100 °C in K <sup>-1</sup>	$c_p$ bei 25 °C in Jg <sup>-1</sup> K <sup>-1</sup>	$t_F$ in °C	$\Delta H_{f,m}$ in kJ · mol <sup>-1</sup>	$t_B$ in °C	$\Delta H_{v,m}$ in kJ · mol <sup>-1</sup>
55	Thorium	Th	11,7	10,5	0,118	1695	15,64	4200	543,0
56	Titan	Ti	4,51	8,35	0,523	1669	15,52	3287	430,0
57	Uran	U	19,1	15,3	0,116	1132	19,71	3930	411,8
58	Vanadium	V	6,12	8,3	0,483	1890	17,5	~3380	458
59	Wolfram	W	19,27	4,5	0,135	3418	35,30	~5500	799,8
60	Yttrium	Y	4,47		0,298	1523	17,16	3338	393,0
61	Zink	Zn	7,13	26,3	0,389	419,5	7,26	907	114,7
62	Zinn (grau)	Sn	$\alpha$ 5,75		0,217	231,9	7,17	2687	290,8
	(weiß)		$\beta$ 7,28	27	0,227	231,9		~4380	582,0
63	Zirconium	Zr	6,5	4,8	0,276	1854	19,98	249,1	
64	Benzoesäure	C <sub>6</sub> H <sub>5</sub> COOH	1,266		1,204	122,76	17,71	305,9	
65	Benzophenon	C <sub>6</sub> H <sub>5</sub> COC <sub>6</sub> H <sub>5</sub>	1,108			48,1	20,05	255,9	
66	Biphenyl	C <sub>12</sub> H <sub>10</sub>	1,16			70,5	18,60	1413	47,9
67	Kaliumchlorid	KCl	1,984	33	0,690	772	25,50	~400	161,5
68	Kaliumnitrat	KNO <sub>3</sub>	2,109	78	0,953	337	10,82	~400	
69	Naphthalin	C <sub>10</sub> H <sub>8</sub>	1,168	94	1,295	80,5	18,97	218,8	40,25
70	Natriumchlorid	NaCl	2,163	40	0,869	800	29,22	1460	169,5
71	Natriumnitrat	NaNO <sub>3</sub>	2,257		1,095	306	15,50	380	
72	Natriumsulfat	Na <sub>2</sub> SO <sub>4</sub>	2,698		0,921	884	26,99		
73	Phenol	C <sub>6</sub> H <sub>5</sub> OH	1,058	290	1,434	40,8	11,48	181,7	47,99
74	Rohrzucker (Saccharose)	C <sub>12</sub> H <sub>22</sub> O <sub>11</sub>	1,59	83	1,242	186	19,17		
75	Stearinsäure	CH <sub>3</sub> (CH <sub>2</sub> ) <sub>16</sub> COOH	0,94	70	1,66	71,2	56,9	374	66,0

Literatur: D'Ans, J.; Lax, E. (1967 u. 1983): Taschenbuch für Chemiker und Physiker, Bd. I u. II. Berlin, Heidelberg, New York: Springer, CRC (1981 bis 1982): CRC-Handbook of Chemistry and Physics, 62<sup>nd</sup> ed. Boca Raton, Florida: CRC Press; Kaye, G.W.C.; Laby, T.H. (1973): Tables of Physical and Chemical Constants, 14<sup>th</sup> ed. London: Longman.

## 8.02 Verschiedene Eigenschaften von Flüssigkeiten\*) – Various properties of liquids (W. Hemminger)

Dichte  $\rho$ , Volumenausdehnungskoeffizient  $\alpha_V$ , Oberflächenspannung  $\sigma$ , spezifische Wärmekapazität  $c_p$ , Schmelzpunkt  $t_F$ , molare Schmelzenthalpie  $\Delta H_{F,m}$ , Siedepunkt  $t_B$  bei 101325 Pa, seine Erhöhung  $dt_B/dp$  durch

Lfd. Nr.	Flüssigkeit	Formel <sup>†</sup>	$\rho$ bei 20 °C in kg/m <sup>3</sup>	$10^3 \alpha_V$ bei 20 °C in K <sup>-1</sup>	$\sigma$ bei 20 °C in mN · m <sup>-1</sup>
1	Acetaldehyd (Ethanal)	CH <sub>3</sub> CHO	782,0		21,2
2	Aceton (2-Propanon)	CH <sub>3</sub> COCH <sub>3</sub>	791,0	1,49	23,3
3	Ameisensäure	HCOOH	1220,0	1,02	37,6
4	Amylalkohol, Iso-(3-Methyl-1-Butanol)	(CH <sub>3</sub> ) <sub>2</sub> CH(CH <sub>2</sub> ) <sub>2</sub> OH	809,0	0,93	24,3
5	Amylalkohol, n- (1-Pentanol)	CH <sub>3</sub> (CH <sub>2</sub> ) <sub>4</sub> OH	815,0	0,90	25,6
6	Anilin	C <sub>6</sub> H <sub>5</sub> NH <sub>2</sub>	1022,0	0,84	43,3
7	Benzol	C <sub>6</sub> H <sub>6</sub>	878,0	1,73	28,9
8	Brom	Br <sub>2</sub>	3120,0	1,13	41,5
9	Bromoform	CHBr <sub>3</sub>	2890,0	0,91	41,6
10	Butylalkohol, Iso-(2-Methyl-1-Propanol)	(CH <sub>3</sub> ) <sub>2</sub> CHCH <sub>2</sub> OH	802,0	0,94	23,0
11	Butylalkohol, n- (1-Butanol)	CH <sub>3</sub> (CH <sub>2</sub> ) <sub>3</sub> OH	809,4		24,6
12	Chinolin (Benzopyridin)	C <sub>6</sub> H <sub>4</sub> CH=CHCH=N	1090,0		45,6
13	Chlorbenzol	C <sub>6</sub> H <sub>5</sub> Cl	1106,4	0,98	33,5
14	Chloroform (Trichlormethan)	CHCl <sub>3</sub>	1489,0	1,28	27,3
15	Chlortoluol, m-	CH <sub>3</sub> C <sub>6</sub> H <sub>4</sub> Cl	1072,0		33,4
16	Cyanwasserstoff	HCN	688,0	1,93	17,9
17	Cyclohexan	CH <sub>2</sub> (CH <sub>2</sub> ) <sub>4</sub> CH <sub>2</sub>	778,4	1,20	25,0
18	Decalin, cis- (cis-Decahydronaphthalin)	C <sub>10</sub> H <sub>18</sub>	897,0	0,86	
19	Decalin, trans- (trans-Decahydronaphthalin)	C <sub>10</sub> H <sub>18</sub>	870,0		
20	Diethylether	C <sub>2</sub> H <sub>5</sub> OC <sub>2</sub> H <sub>5</sub>	714,0	1,62	17,1
21	Dioxan, 1,4-	OCH <sub>2</sub> CH <sub>2</sub> OCH <sub>2</sub> CH <sub>2</sub>	1034,0	1,094	33,7
22	Essigsäure	CH <sub>3</sub> COOH	1049,0	1,07	27,4
23	Ethylacetat (Essigsäureethylester)	CH <sub>3</sub> COOC <sub>2</sub> H <sub>5</sub>	925,0	1,38	23,9
24	Ethylalkohol (Ethanol)	CH <sub>3</sub> CH <sub>2</sub> OH	789,2	1,10	22,3
25	Ethylbenzoat (Benzoesäureethylester)	C <sub>6</sub> H <sub>5</sub> COOC <sub>2</sub> H <sub>5</sub>	1047,0	0,88	35,3
26	Glycerin (1,2,3-Propantriol)	CH <sub>2</sub> CHCH <sub>2</sub> (OH) <sub>3</sub>	1261,0	0,47	63,4
27	Heptan, n-	CH <sub>3</sub> (CH <sub>2</sub> ) <sub>5</sub> CH <sub>3</sub>	686,8	1,244	20,3
28	Hexan, n-	CH <sub>3</sub> (CH <sub>2</sub> ) <sub>4</sub> CH <sub>3</sub>	659,5	1,35	18,4
29	Methylalkohol (Methanol)	CH <sub>3</sub> OH	791,5	1,20	22,6
30	Methylacetat (Essigsäuremethylester)	CH <sub>3</sub> COOCH <sub>3</sub>	934,0		24,5
31	Methylenchlorid (Dichlormethan)	CH <sub>2</sub> Cl <sub>2</sub>	1325,5	1,37	26,5
32	Nitrobenzol	C <sub>6</sub> H <sub>5</sub> NO <sub>2</sub>	1203,1	0,83	43,3
33	Octan, n-	CH <sub>3</sub> (CH <sub>2</sub> ) <sub>6</sub> CH <sub>3</sub>	702,7	1,14	21,8
34	Pentan, Iso- (2-Methyl-Butan)	CH <sub>3</sub> CH <sub>2</sub> CH(CH <sub>3</sub> ) <sub>2</sub>	619,7	1,54	13,7
35	Pentan, n-	CH <sub>3</sub> (CH <sub>2</sub> ) <sub>3</sub> CH <sub>3</sub>	625,9	1,61	16,0
36	Propylalkohol, Iso- (2-Propanol)	(CH <sub>3</sub> ) <sub>2</sub> CHOH	785,1	1,06	21,4
37	Propylalkohol, n- (1-Propanol)	CH <sub>3</sub> (CH <sub>2</sub> ) <sub>2</sub> OH	803,5	0,99	23,7
38	Pyridin	C <sub>5</sub> H <sub>5</sub> N	983,0	1,122	37,2
39	Quecksilber	Hg	13545,9	0,1819	465
40	Schwefelkohlenstoff (Kohlenstoffdisulfid)	CS <sub>2</sub>	1263,0	1,18	32,2
41	Stickstofftetroxid	N <sub>2</sub> O <sub>4</sub>	1447,0		27,5
42	Tetrachlormethan (Tetrachlorkohlenstoff)	CCl <sub>4</sub>	1593,7	1,23	26,8
43	Tetralin (Tetrahydronaphthalin)	C <sub>6</sub> H <sub>4</sub> (CH <sub>2</sub> ) <sub>3</sub> CH <sub>2</sub>	970,0	0,78	35,4
44	Toluol	C <sub>6</sub> H <sub>5</sub> CH <sub>3</sub>	866,9	1,11	28,5
45	Trichlormonofluormethan R 11	CCl <sub>3</sub> F	1488,0		18
46	Trichlortrifluoethan R 113	C <sub>2</sub> Cl <sub>3</sub> F <sub>3</sub>	1576,0		19
47	Wasser, normales	H <sub>2</sub> O	998,2	0,207	72,75
48	Wasser, schweres	D <sub>2</sub> O	1105,3		
49	Xylol, o-	C <sub>6</sub> H <sub>4</sub> (CH <sub>3</sub> ) <sub>2</sub>	877,7	0,97	30,1
50	Xylol, m-	C <sub>6</sub> H <sub>4</sub> (CH <sub>3</sub> ) <sub>2</sub>	864,2	0,99	28,6
51	Xylol, p-	C <sub>6</sub> H <sub>4</sub> (CH <sub>3</sub> ) <sub>2</sub>	861,0		28,4

\*) Die hier aufgeführten Stoffwerte hängen beträchtlich von der Reinheit der Stoffe ab.

†) Vereinfachte Strukturformel

Literatur: Siehe Tab. T 8.01

Druckänderung um 1 kPa, molare Verdampfungswärme  $\Delta H_{V,m}$  am normalen Siedepunkt, kritische Größen  $t_k$ ,  $p_k$  und  $\rho_k$ , Dielektrizitätszahl  $\epsilon_r$ .

Lfd. Nr.	$c_p$ bei 25 °C in $\text{Jg}^{-1} \text{K}^{-1}$	$t_F$ in °C	$\Delta H_{F,m}$ in $\text{kJ} \cdot \text{mol}^{-1}$	$t_B$ in °C	$dT_B/dp$ in $\text{K} \cdot (\text{kPa})^{-1}$	$\Delta H_{V,m}$ in $\text{kJ} \cdot \text{mol}^{-1}$	kritische Größen			$\epsilon_r$ bei 200 °C
							$t_k$ in °C	$p_k$ in M Pa	$\rho_k$ in $\text{g/cm}^3$	
1	1,26	-123,5	3,23	20,2	0,263	25,73	187,8	5,54		14,8
2	2,15	-94,9	5,69	56,3	0,289	30,43	235,5	4,72	0,273	21,4
3	2,15	8,4	12,70	100,6	0,301	19,88				58 <sup>1)</sup>
4	2,24	-117,2		120	0,256		309,8			15,6
5	2,37	-78,9	9,79	138,1	0,278	44,34				15,0
6	2,05	-6,1	10,52	184,4	0,383	45,1	425,6	5,30	0,340	6,89
7	1,74	-5,53	9,99	80,08	0,320	30,78	288,9	4,9	0,308	2,284
8	0,47	-7,2	10,84	58,8	0,278	29,25	311	10,34	1,184	3,09
9	0,53	8,3	11,63	149,5	0,367					4,39
10	2,43	-114,7		108,0	0,270	45,66	277	4,30		18,1
11	2,42	-89,8	9,27	117,5	0,279	46,32	289,8	4,4		17,8
12	1,53	-19,5	10,81	237,7	0,427		508,8			8,7
13	1,33	-45,2	9,88	131,8	0,367	36,81	359,2	4,52	0,365	5,708
14	0,97	-63,5	8,95	61,3	0,296	33,31	263,4	5,47	0,497	4,806
15	1,32	-47,8		162	0,390					5,55
16	2,63	-13,24	8,41	25,69	0,191	25,27	183,5	5,39	0,195	114,9
17	1,85	6,55		80,72	0,326		280,4	4,05	0,273	2,023
18	1,68	-43,3	14,38	194,6	0,428	41,06	418	2,91		2,22
19	1,65	-31,5		185,5	0,424		408	2,91		2,18
20	2,31	-116,3	7,19	34,4	0,279	26,54	193,6	3,63	0,265	4,335
21	1,74	11,78	12,60	101,5	0,323	31,71	311,9	5,20	0,360	2,27
22	2,06	16,63	11,53	118,1	0,316	24,38	321,4	5,79	0,351	6,15
23	1,93	-83,6	10,48	77,13	0,291	32,24	250,1	3,83	0,308	6,02 <sup>2)</sup>
24	2,42	-114,5	4,97	78,31	0,250	37,47	243	6,38	0,276	25,1
25	1,63	-34,7	40,55	212,5	0,401	133,95				6,02
26	2,39	18,4	18,51	290,5	0,473		(452)			41,1
27	2,24	-90,6	14,13	98,4	0,336	31,86	167,1	2,74	0,236	1,92
28	2,26	-95,3	13,10	68,7	0,315	28,61	234,4	3,03	0,234	1,890
29	2,55	-93,9	2,95	64,5	0,261	35,24	240,0	7,95	0,272	33,62
30	2,14	-98,7		57,8	0,278	30,07	233,7	4,69	0,325	6,68 <sup>2)</sup>
31	1,18	-96,8	4,20	40,7	0,270	27,94	237	6,08		9,08
32	1,52	5,7	11,59	210,9	0,416	48,88				35,74
33	2,23	-56,8	20,68	125,7	0,355	34,16	296	2,49	0,233	1,948
34	2,27	-159,9	5,15	27,84	0,289	24,60	187,8	3,33	0,234	1,84
35	2,37	-129,7	8,37	36,06	0,293	25,97	196,6	3,37	0,232	1,844
36	2,55	-89,5	5,38	82,2	0,247	40,02	235,6	4,76	0,274	18,3 <sup>3)</sup>
37	2,48	-126,2	5,20	97,2	0,261	41,80	263,6	5,09	0,273	20,1 <sup>2)</sup>
38	1,68	-41,6	8,31	115,4	0,339	35,60	346,8	6,08		13,2
39	0,14	-38,83	2,37	356,62	0,562	57,17	1491	151,0		
40	0,99	-111,6	4,40	46,3	0,313	26,80	278,9	7,90	0,440	2,641
41	0,86	-9,3	14,72	21,6		38,08	158	10,10	0,56	2,4
42	0,86	-23,0	3,28	76,7	0,330	29,99	283,2	4,56	0,558	2,238
43	1,67	-35		207,2	0,417	43,89				2,7
44	1,76	-95,0		110,6	0,349	33,54	320,8	4,22	0,290	2,379 <sup>2)</sup>
45	0,89	-110,5		23,82		25,00	198,0	4,38	0,554	2,28 <sup>3)</sup>
46	0,93	-36,4		47,56		27,53	214,2	3,41	0,576	2,41 <sup>2)</sup>
47	4,17	0,00	6,01	99,97	0,285	40,64	374,2	22,12	0,328	80,37
48	4,21	3,80	6,36	101,39		41,49	371,5	21,72	0,366	80,1
49	1,78	-25,21	13,80	144,38	0,373	36,84	358,4	3,77	0,289	2,568
50	1,73	-47,88	11,57	139,1	0,368	36,42	346	3,55	0,282	2,374
51	1,73	13,26	16,99	138,32	0,369	36,10	345	3,51	0,281	2,023

<sup>1)</sup> bei 16 °C, <sup>2)</sup> bei 25 °C, <sup>3)</sup> bei 29 °C

### 8.03 Verschiedene Eigenschaften von Gasen – Various properties of gases (W. Blanke)

Temperaturangaben in der ITS-90 (Internationale Temperaturskala von 1990, s. 3.1.2. in Band 1).  $M_B$  stoffmengenbezogene Masse,  $t_{Tr}$  Tripelpunkttemperatur,  $t_F$  Schmelztemperatur am Schmelzpunkt bei 101,325 kPa (durch \* gekennzeichnet),  $p_{Tr}$  Tripelpunktspannung,  $\Delta h_F$  massenbezogene Schmelzenthalpie bei  $t_{Tr}$  oder  $t_F$ ,  $t_B$  Siedetemperatur oder (durch \* gekennzeichnet) Sublimationstemperatur,  $\rho'$  Dichte der flüssigen Phase,  $\Delta h$  massenbezogene Verdampfungsenthalpie bei 101,325 kPa (normaler Siedepunkt),  $t_k$  kritische Temperatur,  $p_k$  kritischer Druck,  $\rho_k$  kritische Dichte,  $\rho_n$  Dichte des Gases bei 101,325 kPa und 0°C (Normdichte),  $p$  (20°C) Dampfdruck bei 20°C.

Lfd. Nr.	Gas	Name	Formel oder Symbol	Tripel- oder Schmelzpunkt			normaler Siede- oder Sublimationspunkt		
				$M_B$ in kg/kmol	$t_{Tr}$ oder $t_F$ in °C	$p_{Tr}$ in kPa	$\Delta h_F$ in kJ/kg	$t_B$ in °C	$\rho'$ in kg/dm <sup>3</sup>
1	Acetylen (Ethin)	CH = CH	26,038	-80,8	128,2	96,5	-84,02*		802*
2	Ammoniak	NH <sub>3</sub>	17,031	-77,73	6,08	332	-33,33	0,6816	1370
3	Argon	Ar	39,948	-189,3442	68,891	29,3	-185,848	1,3928	163
4	Arsenwasserstoff (Arsenhydrid)	AsH <sub>3</sub>	77,945	-116,9	2,98	15,4	-62,47	1,634	214
5	Bortrichlorid	BCl <sub>3</sub>	117,169	-107,5	<0,1	18,0	12,5	1,34	203
6	Bortrifluorid	BF <sub>3</sub>	67,806	-128,7	7,0	62,5	-100,3	1,589	279
7	Bromwasserstoff (Hydrogenbromid)	HBr	80,912	-86,85	29,9	37,5	-66,7	2,203	218
8	Butadien, 1,3-	CH <sub>2</sub> =CHCH=CH <sub>2</sub>	54,092	-108,91	0,07	147,7	-4,5	0,650	418
9	Butan, n-	CH <sub>3</sub> (CH <sub>2</sub> ) <sub>2</sub> CH <sub>3</sub>	58,123	-138,28	0,0005	80,2	-0,54	0,601	386
10	Butylen (1-Buten)	CH <sub>3</sub> CH <sub>2</sub> CH=CH <sub>2</sub>	56,108	-185,34*		68,6	-6,25	0,626	390
11	cis-Butylen-2	CH <sub>3</sub> CH = CHCH <sub>3</sub>	56,108	-138,90	0,0001	130,3	3,72	0,641	416
12	trans-Butylen-2	CH <sub>3</sub> CH=CHCH <sub>3</sub>	56,108	-105,5	0,054	174,0	0,88	0,626	406
13	Chlor	Cl <sub>2</sub>	70,905	-101,0	1,39	90,3	-34,1	1,563	288
14	Chlorcyan	CNCl	61,470	-6,9*		185	12,9	1,247	445
15	Chlorkohlenstoff monooxid (Phosgen)	COCl <sub>2</sub>	98,916	-127,77		58,0	7,5	1,41	246
16	Chlortrifluorid	ClF <sub>3</sub>	92,448	-76,31	0,97	82,4	11,75	1,850	298
17	Chlorwasserstoff (Hydrogenchlorid)	HCl	36,461	-114,18	14,0	54,7	-85,02	1,191	443
18	Cyanwasserstoff	HCN	27,026	-13,3	18,7	311	25,70	0,668	934
19	Cyclopropan	CH <sub>2</sub> CH <sub>2</sub> CH <sub>2</sub>	42,081	-127,61*		129,4	-32,86	0,680	477
20	Deuterium	D <sub>2</sub>	4,028	-254,441	17,1	48,8	-249,50	0,1624	304
21	Diboran (Borwasserstoff)	B <sub>2</sub> H <sub>6</sub>	27,670	-164,84	0,06	161,6	-92,5	0,421	516
22	Dichlordifluormethan R12	CF <sub>2</sub> Cl <sub>2</sub>	120,913	-157,048	0,010	34,3	-29,749	1,484	163
23	Dichlortrifluoethan R123	CHCl <sub>2</sub> =CF <sub>3</sub>	152,931	-107*			27,82	1,457	170,2
24	Dichlormonofluormethan R21	CHFCl <sub>2</sub>	102,923	-135*			8,73	1,407	233
25	Dichlorsilan	SiH <sub>2</sub> Cl <sub>2</sub>	101,007	-122,0*			8,4	1,261	249
26	Dichlortetrafluoethan R114	CF <sub>2</sub> ClCF <sub>2</sub> Cl	170,921	-92,55			3,92	1,526	132
27	Dicyan	(CN) <sub>2</sub>	52,035	-27,82	73,8	155,9	-21,2	0,953	449
28	Difluoethan, 1,1-R152a	CH <sub>3</sub> CHF <sub>2</sub>	66,051	-118,590	0,065	20	-24,016	1,011	330
29	Difluoethylen, 1,1-R1132a	CH <sub>2</sub> = CF <sub>2</sub>	64,035	-144*			-84	1,122	248
30	Dimethylamin	(CH <sub>3</sub> ) <sub>2</sub> NH	45,084	-92,2	≈0,1	132	7,0	0,671	588
31	Dimethylether	CH <sub>3</sub> OCH <sub>3</sub>	46,069	-141,5*		111,4	-24,81	0,735	467
32	Dimethylsilan	(CH <sub>3</sub> ) <sub>2</sub> SiH <sub>2</sub>	60,171	-150,2*			-19,6		354

Fortsetzung T 8.01

Fortsetzung T 8.01

$\rho'$  (20 °C) Dichte der flüssigen Phase bei 20 °C,  $c_p$  spezifische Wärmekapazität bei konstantem Druck bei 101,325 kPa und 25 °C,  $c_p^0$  spezifische Wärmekapazität bei konstantem Druck für das ideale Gas bei  $p \rightarrow 0$  und 25 °C (durch \* gekennzeichnet),  $c_p/c_v$  Verhältnis der spezifischen Wärmekapazitäten im gasförmigen Zustand bei 101,325 kPa und 25 °C,  $\lambda$  Wärmeleitfähigkeit bei 101,325 kPa und 25 °C,  $\epsilon_r$  Dielektrizitätszahl bei 101,325 kPa und  $t$

Lfd. Nr.	kritischer Punkt			$\rho_n$ in kg/m <sup>3</sup>	$p(20\text{ °C})$ in MPa	$\rho'(20\text{ °C})$ in kg/dm <sup>3</sup>	$c_p$ oder $c_p^0$ in kJ/(kgK)	$c_p/c_v$	$\lambda$ in mW/(K·m)	$\epsilon_r$ ( $\epsilon_r - 1$ ) · 10 <sup>6</sup>	bei $t$ in °C
	$t_k$ in °C	$p_k$ in MPa	$\rho_k$ in kg/dm <sup>3</sup>								
1	35,17	6,191	0,231	1,1747	4,4	0,40	1,70	1,235	21,1	1220	25
2	132,4	11,30	0,235	0,7715	0,857	0,610	2,170	1,315	24,2	6590	16
3	-122,28	4,8979	0,5357	1,7839	—	—	0,521	1,676	17,7	517	20
4	99,9	6,6	—	—	1,5	1,37	0,494	—	11,7	—	—
5	178,8	3,87	0,790	5,252	1,60	1,38	0,55	—	8,4	—	—
6	-12,2	4,965	0,591	3,065	—	—	0,745*	—	18,9	—	—
7	89,9	8,53	0,807	3,6443	2,09	1,792	0,360	1,42	9,4	2780	21
8	152	4,32	0,245	2,4787	0,240	0,621	1,47	—	15,8	—	—
9	151,99	3,796	0,225	2,705	0,2081	0,579	1,731	1,105	17,1	2540	25
10	146,4	3,926	0,233	2,582	0,255	0,596	1,59*	—	16	2870	25
11	162,4	4,21	0,239	2,582	0,18	0,623	1,41*	—	15,2	—	—
12	155,5	4,10	0,238	2,582	0,20	0,605	1,56*	—	15,1	—	—
13	144	7,70	0,573	3,214	0,673	1,409	0,473	1,35	8,8	—	—
14	215	—	—	—	0,133	1,186	0,724*	—	13,8	—	—
15	182,0	5,67	0,52	4,496	0,157	1,372	0,582*	—	9,5	—	—
16	153,7	5,8	0,548	3,57	0,15	1,825	0,695*	—	14	—	—
17	51,53	8,31	0,42	1,6422	4,26	0,836	0,82	1,39	16,9	3790	21
18	183,5	5,39	0,195	1,2245	0,08	0,686	1,33*	—	12	—	—
19	125,12	5,579	0,2585	1,88	0,64	0,610	1,33*	—	—	—	—
20	-234,8	1,665	0,0668	0,1796	—	—	7,25	1,40	138	251	20
21	16,6	4,053	0,16	1,259	—	—	2,04*	—	21,3	—	—
22	111,8	4,180	0,5574	5,562	0,559	1,331	0,613	1,143	10,0	3550	0
23	183,68	3,666	0,550	—	0,076	1,477	0,671*	—	—	—	—
24	178,5	5,17	0,522	—	0,153	1,381	0,618	1,18	9,0	—	—
25	176,3	4,378	0,479	—	0,16	1,236	0,611*	—	—	—	—
26	145,7	3,248	0,582	—	0,179	1,479	0,735	1,089	10,9	—	—
27	126,6	5,94	—	2,3492	0,48	0,877	1,09*	—	15,5	—	—
28	113,26	4,520	0,368	3,034	0,5146	0,912	1,046	1,154	14,2	—	—
29	29,69	4,463	0,414	—	3,611	0,670	0,942*	—	15	—	—
30	164,6	5,31	0,256	—	0,169	0,655	1,53	1,15	16	—	—
31	126,9	5,37	0,2714	2,1097	0,510	0,666	1,39	1,11	16,3	6020	25
32	125	—	—	2,73	0,38	0,584	—	—	—	—	—

## Fortsetzung T 8.03

Eigenschaften von Gasen – Various properties of gases (W. Bunte)

Lfd. Nr.	Gas Name	Formel oder Symbol	$M_B$ in kg/kmol	Tripel- oder Schmelzpunkt			normaler Siede- oder Sublimationspunkt		
				$t_{Tr}$ oder $t_F$ in °C	$p_{Tr}$ in kPa	$\Delta h_F$ in kJ/kg	$t_B$ in °C	$\rho'$ in kg/dm <sup>3</sup>	$\Delta h$ in kJ/kg
33	Distickstoffmonooxid (Stickoxydul)	N <sub>2</sub> O	44,013	-90,80	87,85	149	-88,46	1,223	376
34	Ethan	CH <sub>3</sub> CH <sub>3</sub>	30,070	-182,79	0,001	95,0	-88,67	0,54649	489
35	Ethylamin	C <sub>2</sub> H <sub>5</sub> NH <sub>2</sub>	45,084	-81,0	0,15		16,6	0,6874	603
36	Ethylchlorid R160	CH <sub>3</sub> CH <sub>2</sub> Cl	64,514	-138,3*		69,0	12,28	0,906	382
37	Ethylen (Ethen)	CH <sub>2</sub> =CH <sub>2</sub>	28,054	-169,17	0,12	119,5	-103,71	0,5679	483
38	Ethylenoxid		44,053	-112,54*		117,5	10,45	0,887	580
39	Fluor	F <sub>2</sub>	37,997	-219,67	0,25	13,4	-188,2	1,502	175
40	Fluorwasserstoff (Hydrogenfluorid)	HF	20,006	-83,36		196	19,51	0,969	375
41	Helium 4	<sup>4</sup> He	4,003	-270,9732	5,042		-268,9279	0,1250	20,6
42	Hexafluorpropylen	CF <sub>3</sub> CF=CF <sub>2</sub>	150,023	-156,5*			-29,6		
43	Isobutan (2-Methylpropan)	(CH <sub>3</sub> ) <sub>3</sub> CH	58,123	-159,41	0,005	78,2	-11,61	0,594	367
44	Isobutylen (2-Methylpropen)	(CH <sub>3</sub> ) <sub>2</sub> C=CH <sub>2</sub>	56,108	-140,34*		106	-7,12	0,6263	401
45	Kohlenstoffdioxid	CO <sub>2</sub>	44,010	-56,561	518,5	196,6	-78,465*	1,562	573*
46	Kohlenstoffmonooxid	CO	28,010	-205,00	15,35	29,9	-191,51	0,789	216
47	Krypton	Kr	83,800	-157,374	73,2	19,5	-153,34	2,413	108
48	Luft (trocken und CO <sub>2</sub> -frei)		28,95	-213,40	6,2		-194,48	0,8758	205
49	Methan	CH <sub>4</sub>	16,043	-182,458	11,7	58,7	-161,482	0,4225	510
50	Methylamin	CH <sub>3</sub> NH <sub>2</sub>	31,057	-93,45*		198	-6,33	0,694	831
51	Methylbromid R40B1	CH <sub>3</sub> Br	94,939	-93,65	0,2	63,0	3,56	1,721	252
52	Methylchlorid R40	CH <sub>3</sub> Cl	50,488	-97,70	0,87	127,4	-23,76	1,003	428
53	Methylfluorid R41	CH <sub>3</sub> F	34,033	-141,8	0,33		-78,40	0,877	516
54	Methylmercaptan	CH <sub>3</sub> SH	48,109	-123,0*		123	5,96	0,886	511
55	Methylsilan	CH <sub>4</sub> Si	46,144	-156,8			-57,5		398
56	Monobrommonochlordifluormethan R12B1	CF <sub>2</sub> ClBr	165,365	-159,5*			-3,3	1,895	135
57	Monobromtrifluormethan R13B1	CF <sub>3</sub> Br	148,910	-168,15			-58,70	1,990	112
58	Monochlordifluorethan R142b	CH <sub>3</sub> CF <sub>2</sub> Cl	100,496	-130,432	0,005	26,7	-9,103	1,193	220
59	Monochlordifluormethan R22	CHF <sub>2</sub> Cl	86,468	-157,385		47,6	-40,799	1,409	234
60	Monochlorpentafluorethan R115	CF <sub>2</sub> CICF <sub>3</sub>	154,467	-106,15	2,32	12,2	-38,98	1,558	123
61	Monochlortetrafluorethan R124	CHClF=CF <sub>3</sub>	136,476				-11,950	1,473	166
62	Monochlortrifluorethan R133a	CH <sub>2</sub> CICF <sub>3</sub>	118,486	-105,5*			6,93		206
63	Monochlortrifluorethylen R1113	CFCl=CF <sub>2</sub>	116,470	-158,1*		47,7	-28,35	1,46	178

## Fortsetzung T 8.03

Lfd. Nr.	kritischer Punkt				$p(20^\circ\text{C})$ in MPa	$\rho'(20^\circ\text{C})$ in kg/dm <sup>3</sup>	$c_p$ oder $c_p^0$ in kJ/(kgK)	$c_p/c_v$	$\lambda$ in mW/(K·m)	$\varepsilon_r$	
	$t_k$ in °C	$p_k$ in MPa	$\rho_k$ in kg/dm <sup>3</sup>	$\rho_n$ in kg/m <sup>3</sup>						$(\varepsilon_r - 1) \cdot 10^6$	bei $t$ in °C
33	36,40	7,245	0,452	1,9778	5,08	0,785	0,880*		17,3	1028	25
34	32,26	4,884	0,2056	1,3566	3,78	0,351	1,768	1,19	21,2	1380	25
35	183,4	5,63	0,2483	—	0,116	0,683	1,55	1,13	16,9		
36	187,2	5,27	0,331	—	0,133	0,893	1,15	1,19	10,9	12900	25
37	9,22	5,02	0,218	1,2611	—	—	1,54	1,25	20,1	1328	25
38	195,74	7,19	0,314	—	0,144	0,882	1,10*		12,4	10600	25
39	-128,84	5,215	0,574	1,696	—	—	0,825		27,8		
40	188	6,49	0,29	—	0,103	0,968	1,46*		25,8	750	31
41	-267,949	0,2275	0,06964	0,17847	—	—	5,20	1,66	152	66	25
42	86,2	3,0	0,56	—	0,64	1,34	0,490*				
43	134,95	3,65	0,221	2,689	0,302	0,557	1,70	1,11	17,0	2560	25
44	144,7	4,000	0,234	2,587	0,259	0,594	1,59*		16,4	3170	25
45	31,05	7,3825	0,4661	1,9769	5,722	0,7742	0,852	1,294	18,1	922	20
46	-140,23	3,499	0,301	1,2500	—	—	1,04	1,40	24,9	634	25
47	-63,74	5,502	0,919	3,744	—	—	0,248	1,69	9,5	768	25
48	Punkt des kritischen Kontakts -140,629	3,766	0,313	1,2923	—	—	1,007	1,402	26,2	536	20
49	-82,601	4,5950	0,16266	0,7174	—	—	2,231	1,307	34	704	25
50	156,9	7,41	0,216	1,396	0,300	0,662	1,74	1,20	16	5640	25
51	194	5,23	0,577	—	0,189	1,677	0,448*		8,0	10000	25
52	143	6,67	0,353	2,3075	0,490	0,921	0,808*		10,7	10400	25
53	44,54	5,87	0,300	1,5450	3,5	0,578	1,10*		18	9500	25
54	196,8	7,24	0,332	—	0,171	0,867	1,05*		13,3		
55	79,3	4,37	0,236	2,076	1,30	0,507					
56	153,69	4,254	0,6732	7,65	0,229	1,814	0,45*		7,8		
57	67,05	4,017	0,745	6,778	1,425	1,588	0,472	1,15	9,8		
58	137,07	4,246	0,435	4,667	0,2876	1,127	0,849	1,127	11,8		
59	96,13	4,989	0,520	3,935	0,910	1,210	0,661	1,18	11,4		
60	79,9	3,153	0,596	7,106	0,792	1,313	0,713	1,09	12,0		
61	122,47	3,6384	0,560	6,318	0,3272	1,373	0,781	1,10	12,1		
62	150			—	0,182	1,330					
63	105,8	4,06	0,55	5,34	0,562	1,31	0,722*		10,3	2729	28

## Fortsetzung T 8.03

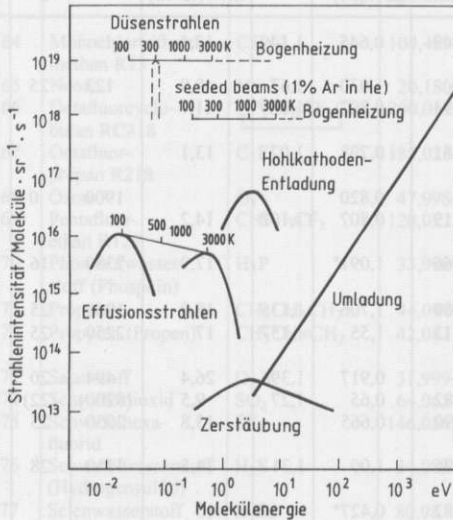
Lfd. Nr.	Gas Name	Formel oder Symbol	$M_B$ in kg/kmol	Tripel- oder Schmelzpunkt			normaler Siede- oder Sublimationspunkt		
				$t_{Tr}$ oder $t_F$ in °C	$p_{Tr}$ in kPa	$\Delta h_F$ in kJ/kg	$t_B$ in °C	$\rho'$ in kg/dm <sup>3</sup>	$\Delta h$ in kJ/kg
64	Monochlortrifluormethan R13	CF <sub>3</sub> Cl	104,459	-181,15			-81,23	1,524	146
65	Neon	Ne	20,180	-248,5939	43,394	16,6	-246,053	1,207	91,3
66	Octafluorocyclobutan RC318	CF <sub>2</sub> CF <sub>2</sub> CF <sub>2</sub> CF <sub>2</sub>	200,031	-40,2	19,0	13,8	-4,37	1,476	111
67	Octafluorpropan R218	C <sub>3</sub> F <sub>8</sub>	188,020	183*			-37,16	1,525	101
68	Ozon	O <sub>3</sub>	47,998	-192,5	0,0011	43,5	-111,3	1,352	316
69	Pentafluorethan R125	CHF <sub>2</sub> =CF <sub>3</sub>	120,022	-103,15			-48,14	1,515	164
70	Phosphorwasserstoff (Phosphin)	H <sub>3</sub> P	33,998	-133,79	3,64	33,3	-87,76	0,746	430
71	Propan	CH <sub>3</sub> CH <sub>2</sub> CH <sub>3</sub>	44,097	-187,7	3 · 10 <sup>-7</sup>	80,0	-42,1	0,581	426
72	Propylen (Propen)	CH <sub>3</sub> CH=CH <sub>2</sub>	42,081	-185,2	1 · 10 <sup>-6</sup>	71,4	-47,68	0,6091	439
73	Sauerstoff	O <sub>2</sub>	31,999	-218,7916	0,147	13,9	-182,954	1,1407	213
74	Schwefeldioxid	SO <sub>2</sub>	64,065	-75,5	1,67	116	-10,02	1,460	390
75	Schwefelhexafluorid	SF <sub>6</sub>	146,056	-49,596	231,82	40	-63,8*	-	162*
76	Schwefelwasserstoff (Hydrosulfid)	H <sub>2</sub> S	34,082	-85,7	22,7	69,8	-60,2	0,915	548
77	Selenwasserstoff (Hydroselenid)	H <sub>2</sub> Se	80,98	-65,7	27,4	31,1	-41,4	2,004	243
78	Siliciumwasserstoff (Monosilan)	H <sub>4</sub> Si	32,117	-186,4	<0,1	24,6	-111,4	0,556	363
79	Stickstoff	N <sub>2</sub>	28,013	-209,999	12,526	25,7	-195,798	0,8086	199
80	Stickstoffmonoxid	NO	30,006	-163,6	21,92	76,6	-151,74	1,269	461
81	Stickstofftetraoxid	N <sub>2</sub> O <sub>4</sub>	92,011	-11,20	18,64	159,5	21,10	1,443	414
82	Tetrafluorethan R134a	CF <sub>3</sub> =CH <sub>2</sub> F	102,031	-103,289	0,41	18,2	-26,083	1,377	216,4
83	Tetrafluorethylen R1114	CF <sub>2</sub> =CF <sub>2</sub>	100,016	-131	1,2	77	-75,62	1,515	168
84	Tetrafluormethan R14	CF <sub>4</sub>	88,005	-183,55		8,0	-127,88	1,611	130
85	Trichlormonofluormethan R11	CFCl <sub>3</sub>	137,368	-110,446		50,2	23,82	1,484	177
86	Trifluorethan, 1,1,1-R143a	CH <sub>3</sub> CF <sub>3</sub>	84,041	-111,33		73,7	-47,28	1,162	228
87	Trifluormethan R23	CHF <sub>3</sub>	70,014	-155,1		58,0	-82,06	1,441	240
88	Trimethylamin	(CH <sub>3</sub> ) <sub>3</sub> N	59,111	-117,1*		111	2,87	0,6534	388
89	Trimethylsilan	(CH <sub>3</sub> ) <sub>3</sub> SiH	74,198	-135,8			6,7		328
90	Vinylbromid R1140B1	CH <sub>2</sub> =CHBr	106,950	-138*		215	15,7	1,525	243
91	Vinylchlorid R1140	CH <sub>2</sub> =CHCl	62,499	-154*		75,9	-13,7	0,971	333
92	Vinylfluorid R1141	CH <sub>2</sub> =CHF	46,044	-160,5			-72,2	0,907	372
93	Vinylmethylether	CH <sub>3</sub> OCH=CH <sub>2</sub>	58,080	-122*			6,0	0,765	
94	Wasserstoff, Normal-	H <sub>2</sub>	2,016	259,198	7,193	58,2	-252,762	0,07098	454
95	Wasserstoff, Gleichgewichts-	H <sub>2</sub>	2,016	-259,3467	7,03	58,2	-252,8789	0,07078	446
96	Xenon	Xe	131,29	-111,746	81,6	17,5	-108,08	3,057	99,2

## Fortsetzung T 8.03

Lfd. Nr.	kritischer Punkt									$\varepsilon_r$	
	$t_k$ in °C	$p_k$ in MPa	$\rho_k$ in kg/dm <sup>3</sup>	$\rho_n$ in kg/m <sup>3</sup>	$p(20\text{ °C})$ in MPa	$\rho'(20\text{ °C})$ in kg/dm <sup>3</sup>	$c_p$ oder $c_p^0$ in kJ/(kgK)	$c_p/c_v$	$\lambda$ in mW/(K·m)	$(\varepsilon_r - 1) \cdot 10^6$	bei $t$ in °C
64	28,86	3,870	0,581	4,724	3,24	0,849	0,645	1,149	12,5		
65	-228,756	2,654	0,4835	0,9002	—	—	1,030	1,67	48,9	123	25
66	115,22	2,775	0,620	9,48	0,244	1,394	0,802	1,069	11,7		
67	71,95	2,68	0,268	8,694	0,761	1,281	0,798	1,07	13,1		
68	-12,1	5,53	0,537	2,142	—	—	0,820			1900	0
69	66,18	3,631	0,572	5,496	1,204	1,219	0,807	1,102	14,2		
70	51,3	6,53	0,30	1,531	3,46	0,566	1,091*		17,9	2380	16
71	96,8	4,26	0,226	2,011	0,836	0,500	1,706	1,135	18,9	1960	25
72	92,4	4,6646	0,2234	1,9149	1,021	0,513	1,55	1,157	17	2250	25
73	-118,560	5,043	0,4361	1,4290	—	—	0,917	1,396	26,4	494	20
74	157,5	7,88	0,525	2,9263	0,330	1,382	0,65	1,27	9,5	(8200)	(22)
75	45,567	3,745	0,7420	6,602	2,0977	1,390	0,665		13,8	2050	25
76	100,02	8,937	0,346	1,5362	1,81	0,796	1,00	1,31	14,5	3310	28
77	138	8,92	0,760	3,6643	0,95	0,182	0,427*		10		
78	-3,5	4,84	0,242	1,44	—	—	1,33*		21,9		
79	-146,94	3,400	0,3140	1,2504	—	—	1,041	1,401	25,9	547	20
80	-93,0	6,485	0,520	1,3402	—	—	0,996	1,39	25,7	593	25
81	157,9	10,132	0,550	—	0,097	1,441	0,858*				
82	101,03	4,056	0,517	4,684	0,5719	1,225	0,850	1,068	13,1	14000	25
83	33,3	4,05	0,588	—	≈3,0	0,97	0,804*		16		
84	-45,65	3,795	0,626	3,947	—	—	0,693	1,162	16,7		
85	198,05	4,467	0,554	—	0,088	1,493	0,597	1,143	8,4		
86	73,10	3,811	0,434	3,833	1,113	0,951	0,951	1,127	14,5		
87	25,95	4,900	0,526	3,156	4,19	0,836	0,736	1,201	14,6		
88	160,11	4,08	0,233	—	0,188	0,633	1,55*		15,1		
89	155	—	—	—	0,16	0,618	—		—		
90	198	5,54	—	—	0,121	1,515	0,561*		—	8200	18
91	156,5	5,59	0,37	—	0,34	0,911	0,858*		8,0		
92	54,72	5,112	0,3220	—	2,393	0,638	1,12*		14,1		
93	171,6	3,19	—	—	0,17	0,747	—		—		
94	-239,92	1,296	0,0301	0,08989	—	—	14,3	1,41	182	252	25
95	-240,18	1,293	0,0314	—	—	—	—	—	—	—	—
96	16,58	5,840	1,110	5,8971	—	—	0,160	1,68	5,55	1240	25

### 8.04 Abschätzung typischer Intensitäten von Molekularstrahlquellen in Strahlrichtung als Funktion der Molekülenergie – Estimate of typical intensities of molecular beam sources within the beam direction as a function of the energy of molecules (K.-H. Schartner)

Nach Pauly, H. (1988 b): High-Energy Beam Sources. In: Atomic and Molecular Beam Methods, Vol. 1, 124–152, Scoles, G. (ed.), New York, Oxford: Oxford Univ. Press.



Aufgetragen ist für Masse 40 die Intensität in Strahlrichtung; für Effusionsquelle, Sputterquelle und Hohlkathodenentladung integriert über ein Geschwindigkeitsintervall  $\Delta v/v = 7\%$  bei 40% Transmission des  $v$ -Selektors.

### 8.05 Die sieben Kristallsysteme (Spalten 1–3) und die vierzehn Bravais-Gitter (Spalten 4–7) – The seven crystal systems (column 1–3) and the fourteen Bravais lattices (column 4–7) (H. Bradaczek u. G. Hildebrandt)

1 Kristall-System	2 Achsen	3 Achsenwinkel	4 Zahl der Gitter im System	5 Gitter-Symbol	6 Gitter-Zentrierung	7 Gitterpunkte je Einh. Zelle
triklin	$a \neq b \neq c$	$\alpha \neq \beta \neq \gamma \neq 90^\circ$	1	P	unzentriert	8/8
monoklin	$a \neq b \neq c$	$\alpha = \gamma = 90^\circ \neq \beta$	2	P C	unzentriert basiszentriert	8/8 8/8 + 2/2
rhombisch	$a \neq b \neq c$	$\alpha = \beta = \gamma = 90^\circ$	4	P C I F	unzentriert basiszentriert innenzentriert flächenzentriert	8/8 8/8 + 2/2 8/8 + 1 8/8 + 6/2
tetragonal	$a = b \neq c$	$\alpha = \beta = \gamma = 90^\circ$	2	P I	unzentriert innenzentriert	8/8 8/8 + 1
kubisch	$a = b = c$	$\alpha = \beta = \gamma = 90^\circ$	3	P I F	unzentr. (sc) <sup>+</sup> innenzentr. (bcc) flächenzentr. (fcc)	8/8 8/8 + 1 8/8 + 6/2
rhomboedrisch oder trigonal)	$a = b = c$	$\alpha = \beta = \gamma \neq 90^\circ$ und $< 120^\circ$	1	R	unzentriert	8/8
hexagonal	$a = b \neq c$ oder $a_1 = a_2 = a_3 \neq c$	$\alpha = \beta = 90^\circ$ $\gamma = 120^\circ$	1	P	unzentr. (hcp) <sup>+</sup>	8/8

<sup>+</sup>) sc = simple cubic; bcc = body-centred cubic; fcc = face-centred cubic; hcp = hexagonal close-packed.

### 8.06 Kristallstruktur der wichtigsten Elemente und einfacher chemischer Verbindungen – Crystal structure of the most important elements and of simple chemical compounds (H. Bradaczek u. G. Hildebrandt)

Gittertyp	Gitterbau	Koordinaten der Atome	Gitterkonstanten in Å = 10 <sup>-10</sup> m = 10 <sup>-1</sup> nm*				
Kubische Gitter mit der Gitterkonstanten <i>a</i> Innenzentriert kubisches Gitter (bcc)	Koordinationszahl 8 2 einfach kubische Gitter	1 1 1 000, $\frac{2}{2} \frac{2}{2}$	Ba Cr Cs	5,024 2,884 6,05	α-Fe Mo Na	Nb Ta W	3,300 3,304 3,165
	Flächenzentriert kubisches Gitter (fcc)	Koordinationszahl 12 4 einfach kubische Gitter	000, 0 $\frac{1}{2} \frac{1}{2}$ <sup>1)</sup>	Ag Al Au	4,086 4,049 4,078	β-Co <sup>2)</sup> Cu Ni <sup>2)</sup>	Pb Pd Pt
Caesiumchloridtypus CsCl	Koordinationszahl 8 2 einfach kubische Gitter 2 Atome je Zelle	1 1 1 000, $\frac{2}{2} \frac{2}{2}$	AgCd <sup>4)</sup> β-AlNi <sup>2)</sup> AuCd <sup>6)</sup>	3,333 2,884 3,34	CsBr CsCl β-CuZn	TlBr TlI	3,975 4,205
	Zinkblendtypus ZnS und Diamanttyp	Koordinationszahl 4 2 flächenzentriert kubische Gitter 8 Atome je Zelle	000, 0 $\frac{1}{2} \frac{1}{2}$ <sup>5)</sup> 1 1 1 1 3 3 4 4 4 <sup>7)</sup> 4 4 4	C <sup>8)</sup> Ge <sup>9)</sup> Ag <sup>11)</sup>	3,563 5,65754 6,473	Si <sup>7)</sup> β-SiC <sup>6)</sup> Cu <sup>1)</sup>	5,43102032 α-Sn <sup>10)</sup> 6,043
Steinsalztypus NaCl	2 flächenzentriert kubische Gitter 8 Atome je Zelle	1 1 1 000, 0 $\frac{1}{2} \frac{1}{2}$ <sup>2)</sup> 1 1 1 1 3 3 $\frac{2}{2} \frac{2}{2} \frac{2}{2}$ , $\frac{2}{2}$	AIP AlAs AlSb	5,451 5,662 6,136	GaP GaAs GaSb	InP InAs InSb	5,8688 6,0584 6,4788
			CdS CdSe	5,582 6,05	HgS <sup>12)</sup> HgSe	ZnS ZnSe	5,409 5,667
Flußspattypus CaF <sub>2</sub>	3 flächenzentriert kubische Gitter 12 Atome je Zelle	Ca: 000, 0 $\frac{1}{2} \frac{1}{2}$ <sup>3)</sup> F: $\frac{1}{4} \frac{1}{4} \frac{1}{4}$ , $\frac{3}{4} \frac{3}{4} \frac{3}{4}$ <sup>4)</sup>	AgBr BaO CaO CoO CaF <sub>2</sub> CeO <sub>2</sub> <sup>13)</sup> Cu <sub>2</sub> S <sup>13)</sup>	5,775 5,549 4,811 4,695 4,260 5,463 5,411 5,57	FeO KBr KCl KF KJ LiF Cu <sub>2</sub> Se <sup>13)</sup> ThO <sub>2</sub> UO <sub>2</sub>	MgO NaCl NiO PbS PbSe TiN ZrO <sub>2</sub>	4,208 5,640 4,177 5,936 6,125 4,24 5,07
			F: $\frac{3}{4} \frac{3}{4} \frac{3}{4}$ , $\frac{1}{4} \frac{1}{4} \frac{1}{4}$ <sup>4)</sup>				
Cuprittypus Cu <sub>2</sub> O	6 Atome je Zelle; O-Atome bilden ein innenzentriertes, Cu-Atome ein flächen- zentriertes Gitter	O: 000, $\frac{2}{2} \frac{2}{2}$ <sup>5)</sup> Cu: $\frac{1}{4} \frac{1}{4} \frac{1}{4}$ , $\frac{3}{4} \frac{3}{4} \frac{3}{4}$ <sup>6)</sup>	Ag <sub>2</sub> O	4,72	Cu <sub>2</sub> O <sup>14)</sup>		4,270

## Fortsetzung T 8.06

Gittertyp	Gitterbau	Koordinaten der Atome	Gitterkonstanten in $\text{\AA} = 10^{-10} \text{ m} = 10^{-1} \text{ nm}^*$
Perowskittypus $\text{CaTiO}_3$	5 einfach kubische Gitter 5 Atome je Zelle	$\begin{matrix} 1 & 1 & 1 \\ 0 & 0 & 0 \\ 0 & 0 & 0 \end{matrix}$ Ca: $\begin{matrix} 1 & 1 & 1 \\ 0 & 0 & 0 \end{matrix}$ Ti: $\begin{matrix} 1 & 1 & 1 \\ 2 & 2 & 2 \end{matrix}$ O: $\begin{matrix} 1 & 1 \\ 0 & 0 \\ 2 & 2 \end{matrix}$	$\text{CaTiO}_3^{15)}$ 3,82 $\text{SrTiO}_3^{16)}$ 3,904
Spinelltypus $\text{Al}_2\text{MgO}_4$	Alle Teilgitter flächenzentriert. 8 Moleküle je Zelle. Sauerstoffionen in kubisch dichtester Kugelpackung, Kationen in deren Lücken 10,7 Moleküle je Zelle		$\text{FeAl}_2\text{O}_4$ 8,14 $\text{CoFe}_2\text{O}_4$ 8,36 $\text{MgAl}_2\text{O}_4$ 8,09 $\text{FeFe}_2\text{O}_4$ 8,393 $\text{ZnAl}_2\text{O}_4$ 8,084 $\text{MgFe}_2\text{O}_4$ 8,37 $\text{CdFe}_2\text{O}_4$ 8,73 $\text{MnFe}_2\text{O}_4$ 8,48 $\gamma\text{-Al}_2\text{O}_3$ 7,92 $\gamma\text{-Fe}_2\text{O}_3$ 8,33
Hiernit verwandt: $\gamma\text{-Al}_2\text{O}_3$ -Typus Alauntypus $\text{KAl}(\text{SO}_4)_2 \cdot 12\text{H}_2\text{O}$	4 Moleküle je Zelle, mindestens 8 Parameter. Statt K Al auch: KCr, $\text{NH}_4\text{Al}$ , $\text{NH}_4\text{Fe}$ , RbAl, CsAl usw.		
Eisenilzidtypus FeSi	4 Moleküle je Zelle 2 Parameter		FeSi 4,489
Sonstige kubische Gittertypen mit der Gitterkonstanten $a$			$12,1 \leq a \leq 12,5$ (gilt für die bisher untersuchten Alaune)
Tetragonale Gitter mit den Gitterkonstanten $a, c$			
Flächenzentriert tetragonales Gitter	4 einfach tetragonale Gitter 4 Atome je Zelle	$\begin{matrix} 1 & 1 \\ 0 & 0 \\ 2 & 2 \end{matrix}$	AuCu 3,99; 3,72 SnO 5,38; 4,84
Zinnoxydtypus SnO	4 Moleküle je Zelle 1 Parameter		MgF <sub>2</sub> 4,622; 3,051 SnO <sub>2</sub> 4,738; 3,188 TiO <sub>2</sub> 4,594; 2,962
Rutiltypus TiO <sub>2</sub>	2 Moleküle je Zelle 1 Parameter		CaWO <sub>4</sub> 5,242; 11,37
Scheelittypus CaWO <sub>4</sub>	Körperzentrierte Teilgitter 4 Moleküle je Zelle 3 Parameter		
Hexagonale und rhomboedrische Gitter mit den Gitterkonstanten $a, c$ bzw. dem Rhomboederwinkel $\alpha$			
Hexagonale dichteste Kugelpackung (hcp)	2 einfach hexagonale Gitter Im Idealfall ist $c/a = 1,633$	$\begin{matrix} 1 & 1 & 1 \\ 0 & 0 & 0 \\ 3 & 3 & 3 \end{matrix}$	Cd 2,979; 5,618    Ni 2,65; 4,33 Co 2,504; 4,067    Re 2,761; 4,458 Mg 3,209; 5,211    Zn 2,664; 4,946
Wolframkarbidtypus WC	2 Atome je Zelle Die Metallatome bilden ein einfach hexagonales Gitter		$\gamma\text{-MoC}$ 2,898; 2,808 WC 2,904; 2,834

## Fortsetzung T 8.06

Gittertyp	Gitterbau	Koordinaten der Atome	Gitterkonstanten in $\text{\AA} = 10^{-10} \text{ m} = 10^{-1} \text{ nm}^*$
Wurzittypus ZnS	2 Moleküle je Zelle 1 Parameter		BeO 2,698; 4,380 ZnO 3,250; 5,207 CdS 4,135; 6,749 ZnS 3,814; 6,258 CdSe 4,299; 7,010 ZnSe 3,996; 6,626 Cd <sub>2</sub> 4,24; 6,84
Cadmiumjodidtypus Cd <sub>2</sub>	1 Molekül je Zelle 1 Parameter (Schichtgitter)		
Korundtypus Al <sub>2</sub> O <sub>3</sub> (rhomboedr. Koord. <sup>2), 1))</sup>	2 Moleküle je Zelle 2 Parameter		$\alpha$ -Al <sub>2</sub> O <sub>3</sub> 5,13 ( $\alpha = 55^\circ 14'$ ) Cr <sub>2</sub> O <sub>3</sub> 5,34 ( $\alpha = 55^\circ 9'$ ) $\alpha$ -Fe <sub>2</sub> O <sub>3</sub> 5,42 ( $\alpha = 55^\circ 15'$ )
Phenakittypus Be <sub>2</sub> SiO <sub>4</sub> (rhomboedr. Koord. <sup>2), 1))</sup>	6 Moleküle je Zelle kein Parameter		Be <sub>2</sub> SiO <sub>4</sub> 7,70 ( $\alpha = 108^\circ 1'$ ) Zn <sub>2</sub> SiO <sub>4</sub> 8,68 ( $\alpha = 107^\circ 45'$ )
Sonstige hexagonale Gittertypen (hexag. Koord.; $a$ und $c$ ; rhomboedr. Koord. <sup>2), 1)</sup> $a$ und $\alpha$ )			$\beta$ -Al <sub>2</sub> O <sub>3</sub> 5,57; 22,6 CuS 3,792; 16,34 Hg 3,00 ( $\alpha = 70^\circ 32'$ ) bei 5 K HgS 4,149; 9,496 (Zinnober) MoS <sub>2</sub> 3,16; 12,3 Se 4,364; 4,959 $\alpha$ -SiO <sub>2</sub> <sup>2), 2)</sup> 4,91291; 5,40461
Rhombsiche Gitter mit den Gitterkonstanten $a$ ; $b$ ; $c$			
Aragonittypus CaCO <sub>3</sub>	4 Moleküle je Zelle 9 Parameter		BaCO <sub>3</sub> 8,904; 6,430; 5,314 CaCO <sub>3</sub> 7,968; 5,741; 4,959 SrCO <sub>3</sub> 8,414; 6,029; 5,107 Cu <sub>2</sub> S 11,91; 27,31; 13,43 Fe <sub>3</sub> C 4,52; 5,08; 6,75 U 2,853; 5,867; 4,950
Sonstige rhombische Gittertypen			

<sup>1)</sup> bedeutet zyklische Vertauschung; <sup>2)</sup> bei  $T > 450^\circ\text{C}$ , vgl. auch hcp-Gitter; <sup>3)</sup> vgl. auch hcp-Gitter; <sup>4)</sup> bei höheren Temperaturen; 50 at% Cd; <sup>5)</sup> 50 at% Ni; <sup>6)</sup> bei höheren Temperaturen; <sup>7)</sup>  $\pm 0,034$  fm; Vakuum;  $T = 22,5^\circ\text{C}$ ; <sup>8)</sup> Diamant; <sup>9)</sup> amorpher Carborand; <sup>10)</sup> graues Zinn,  $T < 18^\circ\text{C}$ ; <sup>11)</sup> vgl. auch Wurzittypus; <sup>12)</sup> Metacinnabarit; <sup>13)</sup>  $T = 170^\circ\text{C}$ ; <sup>14)</sup>  $T = 26^\circ\text{C}$ ; <sup>15)</sup> gilt nur näherungsweise; Würfel mit 8 Elementarzellen wiederholen sich jedoch exakt periodisch mit  $a = 2,3,82 = 7,64 \text{ \AA}$ ; <sup>16)</sup>  $T = 25^\circ\text{C}$ ; <sup>17)</sup>  $T > 180^\circ\text{C}$ ; <sup>18)</sup> fest;  $T = 20 \text{ K}$ ; <sup>19)</sup>  $T < 35,4 \text{ K}$ ; <sup>20)</sup>  $\beta$ -Cristobalit;  $T = 290^\circ\text{C}$ ; <sup>21)</sup> Umrechnung von hexagonalen in rhomboedrische Bestimmungsgrößen; <sup>22)</sup>  $T = 20^\circ\text{C}$

<sup>\*</sup>) In älteren Tabellen und Büchern findet sich häufig die Einheit kXU; die Umrechnung erfolgt über  $1 \text{ kXU} = 0,100202 \text{ nm}$ .

Literatur: Strukturbericht der Z. Kristallogr. I-VII, Leipzig 1931-1943; fortgesetzt in Structure Reports der Internat. Union of Crystallography, Utrecht ab 1956. Gmelin, alle Bände, Leipzig-Berlin-Weinheim ab 1926. Wyckoff (1963/64): Crystal Structures, 2. Aufl. New York-London-Sydney. CRC (1979): CRC Handbook of Chemistry and Physics, 60. Ausg. Boca Raton, Florida.

### 8.07 Relativistisch korrigierte de Broglie-Wellenlängen $\lambda$ des Elektrons im Energiebereich $E = 10^2$ bis $10^7$ eV – Relativistically corrected de Broglie wavelengths $\lambda$ for electrons of energies between $10^2$ and $10^7$ eV (R. Lauer)

Berechnet aus:  $\lambda = hc_0 / \sqrt{2EE_0(1 + E/2E_0)}$

Kinetische Energie in eV	Wellenlänge in pm	Kinetische Energie in eV	Wellenlänge in pm	Kinetische Energie in eV	Wellenlänge in pm
$1 \cdot 10^2$	122,63	$1 \cdot 10^4$	12,20	$1 \cdot 10^6$	0,8719
$2 \cdot 10^2$	86,71	$2 \cdot 10^4$	8,588	$2 \cdot 10^6$	0,5043
$5 \cdot 10^2$	54,83	$5 \cdot 10^4$	5,355	$5 \cdot 10^6$	0,2259
$1 \cdot 10^3$	38,76	$1 \cdot 10^5$	3,701	$1 \cdot 10^7$	0,1181
$2 \cdot 10^3$	27,40	$2 \cdot 10^5$	2,508		
$5 \cdot 10^3$	17,30	$5 \cdot 10^5$	1,421		

### 8.08 Neutronenstreuungen und Wirkungsquerschnitte – Neutron scattering lengths and cross sections (V.F. Sears u. R. Schemm)

$Z$  Kernladungszahl;  $E$  Element;  $A_r$  relative Massenzahl;  $\rho$  (in  $\text{g/cm}^3$ ) Dichte;  $I(p)$  Spin (Parität);  $c$  (in %) natürliche Häufigkeit der stabilen Isotope, bei instabilen Elementen ist stattdessen in ( ) die Halbwertszeit angegeben;  $b_c$  (in fm) gebundene kohärente Streulänge;  $b_i$  (in fm) gebundene inkohärente Streulänge;  $\sigma_c$  (in barn, 1 barn =  $100 \text{ fm}^2$ ) gebundener kohärenter Streuquerschnitt;  $\sigma_i$  (in barn) gebundener inkohärenter Streuquerschnitt;  $\sigma_s$  (in barn) totaler gebundener Streuquerschnitt;  $\sigma_a$  (in barn) Absorptionsquerschnitt von Neutronen mit  $v = 2200 \text{ m/s}$  Neutronen ( $E = 25,30 \text{ meV}$ ,  $k = 3,494 \text{ \AA}^{-1}$ ,  $\lambda = 1,798 \text{ \AA}$ ). # kennzeichnet Nuklide mit Resonanzen, deren  $\sigma_a$  vom  $1/v$ -Verlauf stark abweicht.

Literatur: Sears, V.F. (1992): Neutron Scattering Lengths and Cross Sections. In: Neutron News, Vol. 3, Nr. 3.

Fortsetzung T 8.08

Z	El	$A_r$	$\rho$ in g/cm <sup>3</sup>	$I(p)$	c in %	$b_c$ in fm	$b_l$ in fm	$\sigma_c$ in barn	$\sigma_l$ in barn	$\sigma_s$ in barn	$\sigma_a$ in barn
1	H	1,008	0,07(d)	1/2(+)	99,985	-3,7390(11)	25,274(9)	1,7568(10)	80,26(6)	82,02(6)	0,3326(7)
	<sup>2</sup> H	1,0078		1(+)	0,015	-3,7406(11)	4,04(3)	1,7583(10)	80,27(6)	82,03(6)	0,3326(7)
	<sup>3</sup> H	3,016		1/2(+)	(12,32a)	6,671(4)	-1,04(17)	5,592(7)	2,05(3)	7,64(3)	0,000519(7)
2	He	4,0026	0,12(d)	1/2(+)	0,00014	4,792(27)		2,89(3)	0,14(4)	3,03(5)	0
	<sup>3</sup> He	3,016		0(+)	99,99986	3,26(3)	-2,5(6)	1,34(2)	0	1,34(2)	0,00747(1)
	<sup>4</sup> He	4,0026		0(+)		5,74(7)	+2,568(3)i	4,42(10)	1,6(4)	6,0(4)	5333,(7)
3	Li	6,941	0,534	1(+)	7,5	3,26(3)		1,34(2)	0	1,34(2)	0
	<sup>6</sup> Li	6,0151		3/2(-)	92,5	-1,90(2)	-1,89(10)	0,454(10)	0,92(3)	1,37(3)	70,5(3)
	<sup>7</sup> Li	7,016		3/2(-)	92,5	2,00(11)	+0,26(1)i	0,51(5)	0,46(5)	0,97(7)	940,(4)
4	Be	9,0122	1,85	3/2(-)	100	-2,22(2)	-2,49(5)	0,619(11)	0,78(3)	1,40(3)	0,0454(3)
	B	10,81	2,34	3/2(-)	80,0	7,79(1)	0,12(3)	7,63(2)	0,0018(9)	7,63(2)	0,0076(8)
6	C	12,011	2,25	0(+)	98,90	5,30(4)	-4,7(3)	0,144(8)	3,0(4)	3,1(4)	3835,(9)
	<sup>13</sup> C	13,0034		1/2(-)	1,10	-0,213(2)i	+1,231(3)i	3,54(5)	1,70(12)	5,24(11)	767,(8)
	<sup>14</sup> C	14,0067	0,81(d)	1(+)	0,37	0,1(3)		0,144(8)	0,21(7)	5,77(10)	0,0055(33)
7	N	14,0031		1/2(-)	99,63	6,65(4)	-0,52(9)	5,56(7)	0,001(4)	5,551(3)	0,00350(7)
	<sup>14</sup> N	14,0031		1/2(-)	0,37	6,6511(16)		5,550(2)	0	5,559(3)	0,00353(7)
	<sup>15</sup> N	15,0001		1(+)	0,37	6,19(9)		4,81(14)	0,034(11)	4,84(14)	0,00137(4)
8	O	15,9994	1,13(d)	0(+)	99,762	9,36(2)	2,0(2)	11,01(5)	0,50(12)	11,51(11)	1,90(3)
	<sup>16</sup> O	15,9949		5/2(+)	0,038	9,37(2)	-0,02(2)	11,03(5)	0,5(1)	11,53(11)	1,91(3)
	<sup>17</sup> O	16,9991		0(+)	0,200	6,44(3)		5,21(5)	0,00005(10)	5,21(5)	0,000024(8)
9	F	18,9984	1,1(d)	1/2(+)	100	5,803(4)	-0,082(9)	4,232(6)	0,000(8)	4,232(6)	0,00019(2)
	<sup>18</sup> O	17,9992		0(+)	99,762	5,803(4)	0	4,232(6)	0	4,232(6)	0,00010(2)
	Ne	20,179	1,2(d)	3/2(+)	0,27	5,78(15)	0,18(6)	4,20(22)	0,004(3)	4,20(22)	0,236(10)
10	<sup>20</sup> Ne	19,992		0(+)	9,22	5,84(7)		4,29(10)	0	4,29(10)	0,00016(1)
	<sup>21</sup> Ne	20,994		0(+)	9,22	5,654(10)		4,017(14)	0,0008(2)	4,018(14)	0,0096(5)
11	Na	22,99	0,97	3/2(+)	100	4,566(6)	3,59(3)	4,017(14)	0,0008(2)	4,018(14)	0,0096(5)
	<sup>23</sup> Na	22,99		3/2(+)	90,51	4,631(6)		2,620(7)	0,0008(9)	2,628(6)	0,039(4)
	<sup>24</sup> Na	23,990		0(+)	0,27	6,66(19)	$\pm 0,6(1)$	2,695(7)	0	2,695(7)	0,036(4)

Fortsetzung T 8.08

Z	El	$A_r$	$\rho$ in g/cm <sup>3</sup>	$I(p)$	c in %	$b_c$ in fm	$b_i$ in fm	$\sigma_c$ in barn	$\sigma_i$ in barn	$\sigma_s$ in barn	$\sigma_n$ in barn
12	Mg <sup>24</sup> Mg <sup>25</sup> Mg <sup>26</sup> Mg	24,305 23,985 24,986 25,983	1,74	0(+) 5/2(+) 0(+)	78,99 10,00 11,01	5,375(4) 5,66(3) 3,62(14) 4,89(15)	0 1,48(10) 0	3,63(15) 4,03(4) 1,65(13) 3,00(18)	0,08(6) 0 0,28(4) 0	3,71(4) 4,03(4) 1,93(14) 3,00(18)	0,063(3) 0,050(5) 0,19(3) 0,0382(8)
13	Al	26,982	2,702	5/2(+)	100	3,449(5)	0,256(10)	1,495(4)	0,0082(6)	1,503(4)	0,231(3)
14	Si <sup>28</sup> Si <sup>29</sup> Si <sup>30</sup> Si	28,086 27,977 28,977 29,974	2,33	0(+) 1/2(+) 0(+)	92,23 4,67 3,10	4,1491(10) 4,107(6) 4,70(10) 4,58(8)	0 0,09(9) 0	2,1633(10) 2,120(6) 2,78(12) 2,64(9)	0,004(8) 0 0,001(2) 0	2,167(8) 2,120(6) 2,78(12) 2,64(9)	0,171(3) 0,177(3) 0,101(14) 0,107(2)
15	P	30,974	1,8	1/2(+)	100	5,13(1)	0,2(2)	3,307(13)	0,005(10)	3,312(16)	0,172(6)
16	S <sup>32</sup> S <sup>33</sup> S <sup>34</sup> S <sup>36</sup> S	32,06 31,972 32,972 33,968 33,967	1,96	0(+) 3/2(+) 0(+)	95,02 0,75 4,21 0,02	2,847(1) 2,804(2) 4,74(19) 3,48(3) 3,1(1,E)	0 1,5(1,5) 0 0	1,0186(7) 0,9880(14) 2,8(2) 1,52(3) 1,1(8)	0,007(5) 0,3(6) 0 0	1,026(5) 0,54(4) 3,1(6) 0,227(5) 1,1(8)	0,53(1) 0,54(4) 0,54(4) 0,227(5) 0,15(3)
17	Cl <sup>35</sup> Cl <sup>37</sup> Cl	35,453 34,689 36,966	1,6(d)	3/2(+) 3/2(+)	75,77 24,23	9,5770(8) 11,65(2) 3,08(6)	6,1(4) 0,1(1)	11,526(2) 17,06(6) 1,19(5)	5,3(5) 4,7(6) 0,001(3)	16,8(5) 21,8(6) 1,19(5)	33,5(3) 44,1(4) 0,433(6)
18	Ar <sup>36</sup> Ar <sup>38</sup> Ar <sup>40</sup> Ar	39,948 35,968 37,963 39,962	1,41(d)	0(+) 0(+) 0(+)	0,337 0,063 99,600	1,909(6) 24,90(7) 3,5(3,5) 1,830(6)	0 0 0	0,458(3) 77,9(4) 1,5(3,1) 0,421(3)	0,225(5) 0 0	0,683(4) 77,9(4) 1,5(3,1) 0,421(3)	0,675(9) 5,2(5) 0,8(2) 0,660(9)
19	K <sup>39</sup> K <sup>40</sup> K <sup>41</sup> K	39,098 38,964 39,964 40,962	0,86	3/2(+) 4(-) 3/2(+)	93,258 0,012 6,730	3,67(2) 3,74(2) 3,1(1,E) 2,69(8)	1,4(3)	1,69(2) 1,76(2) 1,1(8) 0,91(5)	0,27(11) 0,25(11) 0,5(5)E 0,3(6)	1,96(11) 2,01(11) 1,6(9) 1,2(6)	2,1(1) 2,1(1) 35,8(8) 1,46(3)
20	Ca <sup>40</sup> Ca <sup>42</sup> Ca <sup>43</sup> Ca <sup>44</sup> Ca <sup>46</sup> Ca <sup>48</sup> Ca	40,08 39,963 41,959 42,959 43,955 45,954 47,953	1,55	0(+) 0(+) 7/2(-) 0(+) 0(+) 0(+)	96,941 0,647 0,135 2,086 0,004 0,187	4,70(2) 4,80(2) 3,36(10) -1,56(9) 1,42(6) 3,6(2) 0,39(9)	0 0 0 0 0 0	2,78(2) 2,90(2) 1,42(8) 0,31(4) 0,25(2) 1,6(2) 0,019(9)	0,05(3) 0 0 0,5(5)E 0 0	2,83(2) 2,90(2) 1,42(8) 0,8(5) 0,25(2) 1,6(2) 0,019(9)	0,43(2) 0,41(2) 0,68(7) 6,2(6) 0,88(5) 0,74(7) 1,09(14)
21	Sc	44,956	2,99	7/2(-)	100	12,29(11)	-6,0(3)	19,0(3)	4,5(5)	23,5(6)	27,5(2)
22	Ti <sup>46</sup> Ti	47,88 45,953	4,51	0(+)	8,2	-3,370(13) 4,72(5)	0	1,427(11) 2,80(6)	2,63(3) 0	4,06(3) 2,80(6)	6,43(6) 0,59(18)

Fortsetzung T 8.08

Z	El	$A_r$	$\rho$ in g/cm <sup>3</sup>	$I(p)$	c in %	$b_c$ in fm	$b_i$ in fm	$\sigma_c$ in barn	$\sigma_i$ in barn	$\sigma_s$ in barn	$\sigma_a$ in barn	
23	<sup>47</sup> Ti	46,952	6,12	5/2(-)	7,4	3,53(7)	-3,5(2)	1,57(6)	1,5(2)	3,1(2)	1,7(2)	
	<sup>48</sup> Ti	47,948		0(+)	73,8	-5,86(2)	0	4,32(3)	0	0	4,32(3)	8,30(9)
	<sup>49</sup> Ti	48,948		7/2(-)	5,4	0,98(5)	5,1(2)	0,12(1)	0,12(1)	3,3(3)	3,4(3)	2,2(3)
	<sup>50</sup> Ti	49,945		0(+)	5,2	5,88(10)	0	4,34(15)	0	0	4,34(15)	0,179(3)
	V	50,942		6(+)	0,250	-0,3824(12)	0,01838(12)	5,08(6)	5,10(6)	5,08(6)	5,10(6)	5,08(4)
24	<sup>50</sup> V	49,947	6,93	7/2(-)	99,750	7,6(6)	6,35(4)	7,3(1,1)	0,5(5)E	7,8(1,0)	60,(40)	
	<sup>51</sup> V	50,944		-0,402(2)	5,07(6)	5,09(6)	4,9(1)					
	Cr	51,996		0(+)	4,35	3,635(7)	0	1,83(2)	0	3,49(2)	3,05(8)	
	<sup>52</sup> Cr	49,946		0(+)	83,79	-4,50(5)	2,54(6)	0	2,54(6)	0	15,8(2)	
	<sup>53</sup> Cr	51,941		3/2(-)	9,50	4,920(10)	0	3,042(12)	0	3,042(12)	0,76(6)	
25	<sup>54</sup> Cr	52,941	7,43	0(+)	2,36	-4,20(3)	6,87(10)	2,22(3)	5,93(17)	8,15(17)	18,1(1,5)	
	<sup>55</sup> Cr	53,939		0(+)	100	4,55(10)	0	2,60(11)	0	2,60(11)	0,36(4)	
	Mn	54,938		5/2(-)	100	-3,750(18)	1,79(4)	1,77(2)	0,40(2)	2,17(3)	13,3(2)	
	Fe	55,847		0(+)	7,87	9,45(2)	0	11,22(5)	0,40(11)	11,62(10)	2,56(3)	
	<sup>54</sup> Fe	53,94		0(+)	5,8	4,2(1)	0	2,2(1)	0	2,2(1)	2,25(18)	
26	<sup>56</sup> Fe	55,935	7,87	1/2(-)	91,7	9,94(3)	0	12,42(7)	0	12,42(7)	2,59(14)	
	<sup>57</sup> Fe	56,935		0(+)	2,2	2,3(1)	0,66(6)	1,0(3)	1,0(3)	2,48(30)		
	<sup>58</sup> Fe	57,933		0(+)	0,3	15,(7)	28,(26)	0	28,(26)	1,28(5)		
	Co	58,933		7/2(-)	100	2,49(2)	-6,2(2)	0,779(13)	4,8(3)	5,6(3)	37,18(6)	
	Ni	58,69		0(+)	8,91	10,3(1)	0	13,3(3)	5,2(4)	18,5(3)	4,49(16)	
27	<sup>58</sup> Ni	57,935	8,96	0(+)	68,27	14,4(1)	0	26,1(4)	0	26,1(4)	4,6(3)	
	<sup>60</sup> Ni	59,931		0(+)	26,10	2,8(1)	0,99(7)	0	0	2,9(2)	2,9(2)	
	<sup>61</sup> Ni	60,931		3/2(-)	1,13	7,60(6)	$\pm 3,9(3)$	7,26(11)	1,9(3)	9,2(3)	2,5(8)	
	<sup>62</sup> Ni	61,928		0(+)	3,59	-8,7(2)	0	9,5(4)	0	9,5(4)	14,5(3)	
	<sup>64</sup> Ni	63,928		0(+)	0,91	-0,37(7)	0	0,017(7)	0	0,017(7)	1,52(3)	
28	Cu	63,546	8,96	3/2(-)	69,17	7,718(4)	0,22(2)	7,485(8)	0,55(3)	8,03(3)	3,78(2)	
	<sup>63</sup> Cu	62,93		3/2(-)	30,83	6,43(15)	1,79(10)	5,2(2)	0,006(1)	5,2(2)	4,50(2)	
	<sup>65</sup> Cu	64,928		0(+)	0,6	10,61(19)	0	14,1(5)	0,40(4)	14,5(5)	2,17(3)	
	Zn	65,38		0(+)	7,13	5,680(5)	0	4,054(7)	0,077(7)	4,131(10)	1,11(2)	
	<sup>67</sup> Zn	63,929		0(+)	48,6	5,22(4)	0	3,42(5)	0	3,42(5)	0,93(9)	
29	<sup>68</sup> Zn	65,926	7,13	0(+)	27,9	5,97(5)	0	4,48(8)	0	4,48(8)	0,62(6)	
	<sup>69</sup> Zn	66,927		5/2(-)	4,1	7,56(8)	-1,50(7)	7,18(15)	0,28(3)	7,46(15)	6,8(8)	
	<sup>70</sup> Zn	67,925		0(+)	18,8	6,03(3)	0	4,57(5)	0	4,57(5)	1,1(1)	
	<sup>71</sup> Zn	69,925		0(+)	0,6	6,(1)E	0	4,5(1,5)	0	4,5(1,5)	0,092(5)	
	Ga	69,72		3/2(-)	5,91	7,288(2)	-0,85(5)	6,675(4)	0,16(3)	6,83(3)	2,75(3)	
30	<sup>69</sup> Ga	68,926	5,91	3/2(-)	60,1	7,88(2)	-0,82(4)	7,80(4)	0,091(11)	7,89(4)	2,18(5)	
	<sup>71</sup> Ga	70,925		3/2(-)	39,9	6,40(3)	5,15(5)	0,084(8)	5,23(5)	3,61(10)		

Fortsetzung T 8.08

Z	El	$A_r$	$\rho$ in g/cm <sup>3</sup>	$I(p)$	c in %	$b_c$ in fm	$b_l$ in fm	$\sigma_c$ in barn	$\sigma_l$ in barn	$\sigma_s$ in barn	$\sigma_a$ in barn	
32	Ge	72,59	5,33	0(+)	20,5	8,185(20)	0	8,42(4)	0,18(7)	8,60(6)	2,20(4)	
	<sup>70</sup> Ge	69,924		10,0(1)		0		12,6(3)				3,0(2)
	<sup>72</sup> Ge	71,922		8,51(10)		0		9,1(2)				0,8(2)
	<sup>73</sup> Ge	72,923		5,02(4)		3,4(3)		3,17(5)				15,1(4)
	<sup>74</sup> Ge	73,921		7,58(10)		0		7,2(2)				0,4(2)
33	As	75,924	5,73	0(+)	7,8	8,2(1,5)	0	8,3(3)	0	8,3(2)	0,16(2)	
	<sup>74</sup> As	74,922		6,58(1)		-0,69(6)		5,44(2)				4,5(1)
	<sup>76</sup> As	78,96		7,970(9)		0		7,98(2)				11,7(2)
34	Se	73,922	4,79	0(+)	0,9	0,8(3,0)	0	0,1(6)	0,32(6)	8,30(6)	51,8(1,2)	
	<sup>74</sup> Se	75,919		12,2(1)		0		18,7(3)				85,7(7)
	<sup>76</sup> Se	76,92		8,25(8)		±0,6(1,6)		8,6(2)				8,65(16)
	<sup>77</sup> Se	77,917		8,24(9)		0		8,5(2)				0,43(2)
	<sup>78</sup> Se	79,917		7,48(3)		0		7,03(6)				0,61(5)
	<sup>80</sup> Se	79,917		6,34(8)		0		5,05(13)				0,044(3)
	<sup>82</sup> Se	81,917		6,795(15)		0		5,80(3)				5,90(9)
35	Br	79,904	3,12	3/2(-)	50,69	6,80(7)	-1,1(2)	5,81(12)	0,10(9)	5,96(13)	6,9(2)	
	<sup>79</sup> Br	78,918		6,79(7)		0,6(1)		5,79(12)				2,7(2)
36	Kr	80,916	2,16(d)	3/2(-)	49,31	7,81(2)	0	7,67(4)	0,01(14)	7,68(13)	25,1(1)	
	<sup>78</sup> Kr	77,92		0,35		0		6,4(9)				
	<sup>80</sup> Kr	79,916		2,25		0		11,8(5)				
	<sup>81</sup> Kr	81,913		11,6		0		29,2(0,1)				
	<sup>82</sup> Kr	82,914		11,5		0		185,3(0,1)				
37	Kr	83,912	1,53	0(+)	57,0	8,1(2)	0	8,2(4)	0	8,2(4)	0,113(15)	
	<sup>84</sup> Kr	85,911		17,3		0		0,003(2)				
	<sup>85</sup> Kr	85,468		7,09(2)		0		6,32(4)				0,38(1)
	<sup>85</sup> Rb	84,912		7,03(10)		5/2(-)		6,2(2)				0,48(1)
	<sup>87</sup> Rb	86,908		7,23(12)		3/2(-)		6,6(2)				0,12(3)
38	Sr	87,62	2,67	0(+)	0,56	7,02(2)	0	6,19(4)	0,06(11)	6,25(10)	1,28(6)	
	<sup>84</sup> Sr	83,913		7,1(1,1)		0		6,2(2)				0,87(7)
	<sup>86</sup> Sr	85,909		5,67(5)		0		4,04(7)				6,2(2)
	<sup>87</sup> Sr	86,909		7,40(7)		9/2(+)		6,88(13)				4,04(7)
	<sup>88</sup> Sr	87,906		7,15(6)		0(+)		82,58				7,4(5)
39	Y	88,906	4,47	1/2(-)	100	7,75(2)	1,1(3)	7,55(4)	0,15(8)	7,70(9)	1,28(2)	
	<sup>89</sup> Y	91,22		7,16(3)		0		6,44(5)				0,185(3)
40	Zr	89,905	6,5	0(+)	51,45	6,4(1)	0	5,1(2)	0,02(15)	6,46(14)	0,11(5)	
	<sup>90</sup> Zr	90,906		8,7(1)		0		9,5(2)				5,1(2)
	<sup>91</sup> Zr	91,905		17,19		-1,08(15)		6,9(4)				1,17(10)
	<sup>92</sup> Zr	93,906		17,28		0		8,4(4)				0,22(6)
	<sup>94</sup> Zr	93,906		2,76		0		3,8(1)				0,0499(24)
41	Nb	95,908	5,5(1)	0(+)	2,76	5,5(1)	0	3,8(1)	0	3,8(1)	0,0229(10)	
	<sup>95</sup> Nb	95,908		5,5(1)		0		3,8(1)				0,0229(10)

Fortsetzung T 8.08

Z	El	$A_r$	$\rho$ in g/cm <sup>3</sup>	$I(p)$	c in %	$b_c$ in fm	$b_l$ in fm	$\sigma_c$ in barn	$\sigma_l$ in barn	$\sigma_s$ in barn	$\sigma_a$ in barn
41	Nb	92,906	8,55	9/2(+)	100	7,054(3)	-0,139(10)	6,253(5)	0,0024(3)	6,255(5)	1,15(5)
42	Mo	95,94	10,22	0(+)		6,715(20)		5,67(3)	0,04(5)	5,71(4)	2,48(4)
	<sup>92</sup> Mo	91,907		0(+)	14,84	6,91(8)		6,00(14)	0	6,00(14)	0,019(2)
	<sup>94</sup> Mo	93,905		0(+)	9,25	6,80(7)		5,81(12)	0	5,81(12)	0,015(2)
	<sup>95</sup> Mo	94,906		5/2(+)	15,92	6,91(6)		6,00(10)	0	6,5(5)E	13,1(3)
	<sup>96</sup> Mo	95,905		0(+)	16,68	6,20(6)		4,83(9)	0	6,5(5)	0,5(2)
	<sup>97</sup> Mo	96,906		5/2(+)	9,55	7,24(8)		6,59(15)	0	7,1(5)	2,5(2)
	<sup>98</sup> Mo	97,905		0(+)	24,13	6,58(7)		5,44(12)	0	5,44(12)	0,127(6)
	<sup>100</sup> Mo	99,907		0(+)	9,63	6,73(7)		5,69(12)	0	5,69(12)	0,4(2)
43	Tc	98,906		9/2(+)	(2,13·10 <sup>5</sup> )a	6,8(3)		5,8(5)	0,5(5)E	6,3(7)	20(1,)
44	Ru	101,07	12,3	0(+)		7,03(3)		6,21(5)	0,4(1)	6,6(1)	2,56(13)
	<sup>96</sup> Ru	95,908		0(+)	5,5				0		0,28(2)
	<sup>98</sup> Ru	97,905		0(+)	1,9				0		18,
	<sup>99</sup> Ru	98,906		5/2(+)	12,7				0		6,9(1,0)
	<sup>100</sup> Ru	99,904		0(+)	12,6				0		4,8(6)
	<sup>101</sup> Ru	100,906		5/2(+)	17,0				0		3,3(9)
	<sup>102</sup> Ru	101,904		0(+)	31,6				0		1,17(7)
	<sup>104</sup> Ru	103,905		0(+)	18,7				0		0,3(2)
45	Rh	102,906	12,5	1/2(-)	100	5,88(4)		4,34(6)	0,3(3)E	4,6(3)	144,8(7)
46	Pd	106,42		0(+)		5,91(6)		4,39(9)	0,093(9)	4,48(9)	6,9(4)
	<sup>102</sup> Pd	101,906		0(+)	1,02	7,7(7)E		7,5(1,4)	0	7,5(1,4)	3,4(3)
	<sup>104</sup> Pd	103,904		0(+)	11,14	7,7(7)E		7,5(1,4)	0	7,5(1,4)	0,6(3)
	<sup>105</sup> Pd	104,905		5/2(+)	22,33	5,5(3)	-2,6(1,6)	3,8(4)	0,8(1,0)	4,6(1,1)	20(3,)
	<sup>106</sup> Pd	105,903		0(+)	27,33	6,4(4)		5,1(6)	0	5,1(6)	0,304(29)
	<sup>108</sup> Pd	107,904		0(+)	26,46	4,1(3)		2,1(3)	0	2,1(3)	8,5(5)
	<sup>110</sup> Pd	109,905		0(+)	11,72	7,7(7)E		7,5(1,4)	0	7,5(1,4)	0,226(31)
47	Ag	107,868	10,5	1/2(-)		5,922(7)		4,407(10)	0,58(3)	4,99(3)	63,3(4)
	<sup>107</sup> Ag	106,905		1/2(-)	51,83	7,555(11)	1,00(13)	7,17(2)	0,13(3)	7,30(4)	37,6(1,2)
	<sup>109</sup> Ag	108,905		1/2(-)	48,17	4,165(11)	-1,60(13)	2,18(1)	0,32(5)	2,50(5)	91,0(1,0)
48	Cd	112,41	8,65	0(+)		4,87(5)		3,04(6)	3,46(13)	6,50(12)	2520(50,)
	<sup>106</sup> Cd	105,906		0(+)	1,25	-0,70(1)j			0		1,
	<sup>108</sup> Cd	107,904		0(+)	0,89	5,(2)E		3,1(2,5)	0	3,1(2,5)	1,1(3)
	<sup>110</sup> Cd	109,903		0(+)	12,51	5,4(1)		3,7(1)	0	3,7(1)	11(1,)
	<sup>111</sup> Cd	110,904		1/2(+)	12,81	5,9(1)		4,4(1)	0	4,4(1)	24(3,)
	<sup>112</sup> Cd	111,903		0(+)	24,13	6,5(1)		5,3(2)	0,3(3)E	5,6(4)	5,1(2)
	<sup>113</sup> Cd	112,904		1/2(+)	12,22	6,4(1)		5,1(2)	0	5,1(2)	2,2(5)
#						-8,0(2)		12,1(4)	0,3(3)E	12,4(5)	20600(400,)
						-5,73(11)j					

Fortsetzung T 8.08

Z	El	$A_r$	$\rho$ in g/cm <sup>3</sup>	$f(p)$	c in %	$b_c$ in fm	$b_i$ in fm	$\sigma_c$ in barn	$\sigma_i$ in barn	$\sigma_s$ in barn	$\sigma_a$ in barn	
49	<sup>114</sup> Cd	113,903	28,72	0(+)	28,72	7,5(1)	0	7,1(2)	0	7,1(2)	0,34(2)	
	<sup>116</sup> Cd	115,905	7,47	0(+)	7,47	6,3(1)	0	5,0(2)	0	5,0(2)	0,075(13)	
49	In	114,82	7,36	9/2(+)	4,3	4,065(20)	$\pm 0,017(1)$	2,08(2)	0,54(11)	2,62(11)	193,8(1,5)	
	<sup>113</sup> In	112,904	95,7	9/2(+)	95,7	5,39(6)	-2,1(2)	3,65(8)	0,000037(5)	3,65(8)	12,0(1,1)	
50	<sup>115</sup> In	114,904	7,28	9/2(+)	7,28	4,01(2)		2,02(2)	0,55(11)	2,57(11)	202(2)	
	<sup>117</sup> In	116,903	1,0	0(+)	1,0	-0,0562(6)i		4,870(3)	0,022(5)	4,892(6)	0,626(9)	
50	<sup>112</sup> Sn	111,905	0,7	0(+)	0,7	6,225(2)	0	4,5(1,5)	0	4,5(1,5)	1,00(11)	
	<sup>114</sup> Sn	113,903	0,4	0(+)	0,4	6,1(1)E	0	4,8(5)	0	4,8(5)	0,114(30)	
	<sup>115</sup> Sn	114,903	14,7	1/2(+)	14,7	6,1(1)E	0	4,5(1,5)	0,3(3)E	4,8(1,5)	30(7)	
	<sup>116</sup> Sn	115,902	7,7	0(+)	7,7	5,93(5)	0	4,42(7)	0	4,42(7)	0,14(3)	
	<sup>117</sup> Sn	116,903	24,3	1/2(+)	24,3	6,48(5)	0	5,28(8)	0,3(3)E	5,6(3)	2,3(5)	
	<sup>118</sup> Sn	117,902	8,6	0(+)	8,6	6,07(5)	0	4,63(8)	0	4,63(8)	0,22(5)	
	<sup>119</sup> Sn	118,903	32,4	1/2(+)	32,4	6,12(5)	0	4,71(8)	0,3(3)E	5,0(3)	2,2(5)	
	<sup>120</sup> Sn	119,902	4,6	0(+)	4,6	6,49(5)	0	5,29(8)	0	5,29(8)	0,14(3)	
	<sup>122</sup> Sn	121,903	5,6	0(+)	5,6	5,74(5)	0	4,14(7)	0	4,14(7)	0,18(2)	
	<sup>124</sup> Sn	123,905	6,69	0(+)	6,69	5,97(5)	0	4,48(8)	0	4,48(8)	0,133(5)	
	51	<sup>121</sup> Sb	121,75	57,3	5/2(+)	57,3	5,57(3)	-0,05(15)	3,90(4)	0,00(7)	3,90(6)	4,91(5)
		<sup>123</sup> Sb	122,904	42,7	7/2(+)	42,7	5,71(6)	-0,10(15)	4,10(9)	0,0003(19)	4,10(9)	5,75(12)
52	Te	127,6	6,00	0(+)	6,00	5,38(7)		3,64(9)	0,001(4)	3,64(9)	3,8(2)	
	<sup>120</sup> Te	119,904	0,096	0(+)	0,096	5,80(3)	0	4,23(4)	0,09(6)	4,32(5)	4,7(1)	
	<sup>122</sup> Te	121,903	2,60	0(+)	2,60	5,3(5)	0	3,5(7)	0	3,5(7)	2,3(3)	
	<sup>123</sup> Te	122,904	0,908	1/2(+)	0,908	3,8(2)	0	1,8(2)	0	1,8(2)	3,4(5)	
	<sup>124</sup> Te	123,903	4,816	0(+)	4,816	-0,05(25)	-2,04(9)	0,002(3)	0,52(5)	0,52(5)	418(30)	
53	<sup>125</sup> Te	124,904	7,14	1/2(+)	7,14	-0,116(8)i	0	8,0(2)	0	8,0(2)	6,8(1,3)	
	<sup>126</sup> Te	125,903	18,95	0(+)	18,95	7,96(10)	-0,26(13)	3,17(10)	0,0008(8)	3,18(10)	1,55(16)	
	<sup>127</sup> Te	127,904	31,69	0(+)	31,69	5,02(8)	0	3,88(10)	0	3,88(10)	1,04(15)	
	<sup>128</sup> Te	128,905	33,80	0(+)	33,80	5,56(7)	0	4,36(10)	0	4,36(10)	0,215(8)	
	<sup>130</sup> Te	129,906	100	0(+)	100	5,89(7)	0	4,55(11)	0	4,55(11)	0,29(6)	
	J	126,905	4,93	5/2(+)	4,93	6,02(7)	1,58(15)	3,50(3)	0,31(6)	3,81(7)	6,15(6)	
54	Xe	131,29	3,5(d)	0(+)	3,5(d)	5,28(2)	0	3,04(4)	0	3,04(4)	23,9(1,2)	
	<sup>124</sup> Xe	123,906	0,10	0(+)	0,10	4,92(3)	0		0		165(20)	
54	<sup>126</sup> Xe	125,904	0,09	0(+)	0,09		0		0		3,5(8)	
	<sup>128</sup> Xe	127,904	1,91	0(+)	1,91		0		0		18,	
	<sup>129</sup> Xe	128,905	26,4	1/2(+)	26,4		0		0		21,(5)	
	<sup>130</sup> Xe	129,904	4,1	0(+)	4,1		0		0		126,	
	<sup>131</sup> Xe	130,905	21,2	3/2(+)	21,2		0		0		85,(10)	

Fortsetzung T 8.08

Z	El	$A_r$	$\rho$ in g/cm <sup>3</sup>	$f(p)$	c in %	$b_c$ in fm	$b_i$ in fm	$\sigma_c$ in barn	$\sigma_i$ in barn	$\sigma_s$ in barn	$\sigma_a$ in barn
	<sup>132</sup> Xe	131,904		0(+)	26,9		0		0		0,45(6)
	<sup>134</sup> Xe	133,905		0(+)	10,4		0		0		0,265(20)
	<sup>136</sup> Xe	135,907		0(+)	8,9		0		0		0,26(2)
55	Cs	132,905	1,873	7/2(+)	100	5,42(2)	1,29(15)	3,69(3)	0,21(5)	3,90(6)	29,0(1,5)
	<sup>137</sup> Ba	137,33	3,51	0(+)	0,11	5,07(3)		3,23(4)	0,15(11)	3,38(10)	1,1(1)
	<sup>130</sup> Ba	129,906		0(+)	0,10	-3,6(6)		1,6(5)	0	1,6(5)	30,5(5)
	<sup>132</sup> Ba	131,905		0(+)	0,10	7,8(3)		7,6(6)	0	7,6(6)	7,0(8)
	<sup>134</sup> Ba	133,905		0(+)	2,42	5,7(1)		4,08(14)	0	4,08(14)	2,0(1,6)
	<sup>135</sup> Ba	134,906		3/2(+)	6,59	4,67(10)		2,74(12)	0,5(5)E	3,2(5)	5,8(9)
	<sup>136</sup> Ba	135,904		0(+)	7,85	4,91(8)		3,03(10)	0	3,03(10)	0,68(17)
	<sup>137</sup> Ba	136,905		3/2(+)	11,23	6,83(10)		5,86(17)	0,5(5)E	6,4(5)	3,6(2)
	<sup>138</sup> Ba	137,905		0(+)	71,70	4,84(8)		2,94(10)	0	2,94(10)	0,27(14)
57	La	138,906	6,16	5(+)	0,09	8,24(4)		8,53(8)	1,13(19)	9,66(17)	8,97(4)
	<sup>131</sup> La	137,907		7/2(+)	99,91	8,2(4)E		8(4)	0,5(5)E	8,5(4,0)	57(6)
	<sup>139</sup> La	138,906		7/2(+)		8,24(4)	3,0(2)	8,53(8)	1,13(15)	9,66(17)	8,93(4)
	<sup>140</sup> Ce	140,12	6,77	0(+)	0,19	4,84(2)		2,94(2)	0,00(10)	2,94(10)	0,63(4)
	<sup>136</sup> Ce	135,907		0(+)	0,25	5,80(9)		4,23(13)	0	4,23(13)	7,3(1,5)
	<sup>138</sup> Ce	137,906		0(+)	88,48	6,70(9)		5,64(15)	0	5,64(15)	1,1(3)
	<sup>140</sup> Ce	139,905		0(+)	11,08	4,84(9)		2,94(11)	0	2,94(11)	0,57(4)
	<sup>142</sup> Ce	141,909		0(+)		4,75(9)		2,84(11)	0	2,84(11)	0,95(5)
59	Pr	140,908	6,8	5/2(+)	100	4,58(5)	-0,35(3)	2,64(6)	0,015(3)	2,66(6)	11,5(3)
	<sup>142</sup> Nd	144,24	7,01	0(+)	27,16	7,69(5)		7,43(10)	9,2(8)	16,6(8)	50,5(1,2)
	<sup>143</sup> Nd	141,908		0(+)	12,18	7(3)		7,5(6)	0	7,5(6)	18,7(7)
	<sup>145</sup> Nd	142,91		7/2(-)	23,80	14,(2)E	$\pm 21,(1)$	25,(7)	55,(7)	80,(2)	334,(10)
	<sup>144</sup> Nd	143,91		0(+)	8,29	2,8(3)	0	1,0(2)	0	1,0(2)	3,6(3)
	<sup>145</sup> Nd	144,913		7/2(-)	17,19	14,(2)E	0	25,(7)	5,(5)E	30,(9)	42,(2)
	<sup>146</sup> Nd	145,913		0(+)	5,75	8,7(2)	0	9,5(4)	0	9,5(4)	1,4(1)
	<sup>148</sup> Nd	147,917		0(+)	5,63	5,7(3)	0	4,1(4)	0	4,1(4)	2,5(2)
	<sup>150</sup> Nd	149,921		0(+)	(2,62a)	5,3(2)	0	3,5(3)	0	3,5(3)	1,2(2)
61	Pm	146,915	7,5	7/2(+)		12,6(4)	$\pm 3,2(2,5)$	20,0(1,3)	1,3(2,0)	21,3(1,5)	168,4(3,5)
62	Sm	150,36		0(+)	3,1	0,80(2)		0,422(9)	39,(3)	39,(3)	5922,(56)
	<sup>144</sup> Sm	143,912		7/2(-)	15,1	-3,(4)E	0	1,(3)	0	1,(3)	0,7(3)
	<sup>147</sup> Sm	146,915		0(+)	11,3	14,(3)	$\pm 11,(7)$	25,(11)	14,(19)	39,(16)	57,(3)
	<sup>148</sup> Sm	147,915		7/2(-)	13,9	-3,(4)E	0	1,(3)	0	1,(3)	2,4(6)
	<sup>149</sup> Sm	148,917		0(+)		-19,(1)	$\pm 31,4(6)$	63,5(6)	137,(5)	200,(5)	42080,(400)
	<sup>150</sup> Sm	149,917		0(+)	7,4	-11,(7)E	-10,3(1)E	25,(11)	0	25,(11)	104,(4)

Fortsetzung T 8.08

Z	El	$A_r$	$\rho$ in g/cm <sup>3</sup>	$I(p)$	$c$ in %	$b_c$ in fm	$b_h$ in fm	$\sigma_c$ in barn	$\sigma_i$ in barn	$\sigma_s$ in barn	$\sigma_n$ in barn
	<sup>152</sup> Sm	151,92	26,6	0(+)	26,6	-5,0(6)	0	3,1(8)	0	3,1(8)	206,(6)
	<sup>154</sup> Sm	153,922	22,6	0(+)	22,6	9,3(1,0)	0	11,(2)	0	11,(2)	8,4(5)
63	Eu	151,96				7,22(2)		6,75(4)	2,5(4)	9,2(4)	4530,(40)
#	<sup>151</sup> Eu	150,92	47,8	5/2(+)	47,8	-1,26(1)i	±4,5(4)	5,5(2)	3,1(4)	8,6(4)	9100,(100)
	<sup>153</sup> Eu	152,921	52,2	5/2(+)	52,2	6,13(14)	-2,14(2)i	8,5(2)	1,3(7)	9,8(7)	312,(7)
64	Gd	157,25	7,9			-2,53(3)i	±3,2(9)	29,3(8)	151,(2)	180,(2)	49700,(125)
	<sup>152</sup> Gd	151,92	0,2	0(+)	0,2	8,22(12)		13,8(2)	0	13,(8)	735,(20)
	<sup>154</sup> Gd	153,921	2,1	0(+)	2,1	10,3(3E)	0	13,(8)	0	13,(8)	85,(12)
#	<sup>155</sup> Gd	154,923	14,8	3/2(-)	14,8	6,0(1)	±5,(5)E	40,8(4)	25,(6)	66,(6)	61100,(400)
	<sup>156</sup> Gd	155,922	20,6	0(+)	20,6	-17,0(1)i	-13,16(9)i	5,0(6)	0	5,0(6)	1,5(1,2)
#	<sup>157</sup> Gd	156,924	15,7	3/2(-)	15,7	6,3(4)	±5,(5)E	650,(4)	394,(7)	1044,(8)	259000,(700)
	<sup>158</sup> Gd	157,924	24,8	0(+)	24,8	-1,14(2)	±5,(5)E	10,(5)	0	10,(5)	2,2(2)
	<sup>160</sup> Gd	159,927	21,8	0(+)	21,8	9,(2)	-55,8(2)i	10,52(11)	0	10,52(11)	0,77(2)
65	Tb	158,925	8,3	3/2(+)	100	7,38(3)	-0,17(7)	6,84(6)	0,004(3)	6,84(6)	23,4(4)
66	Dy	162,5	8,5			16,9(2)		35,9(8)	54,4(1,2)	90,3(9)	994,(13)
	<sup>156</sup> Dy	155,924	0,06	0(+)	0,06	-0,276(4)i		4,7(8)	0	4,7(8)	33,(3)
	<sup>158</sup> Dy	157,924	0,10	0(+)	0,10	6,(4)E	0	5,(6)	0	5,(6)	43,(6)
	<sup>160</sup> Dy	159,925	2,34	0(+)	2,34	6,7(4)	0	5,6(7)	0	5,6(7)	56,(5)
	<sup>161</sup> Dy	160,927	19,0	5/2(+)	19,0	10,3(4)	±4,9(8)	13,3(1,0)	3,(1)	16,(1)	600,(25)
	<sup>162</sup> Dy	161,927	25,5	0(+)	25,5	-1,4(5)	0	0,25(18)	0	0,25(18)	194,(10)
	<sup>163</sup> Dy	162,929	24,9	5/2(-)	24,9	5,0(4)	1,3(3)	3,1(5)	0,21(10)	3,3(5)	124,(7)
	<sup>164</sup> Dy	163,929	28,1	0(+)	28,1	49,4(2)	0	307,(3)	0	307,(3)	2840,(40)
						-0,79(1)i		8,06(16)	0,36(3)	8,42(16)	64,7(1,2)
67	Ho	164,93	100	7/2(-)	100	8,01(8)	-1,70(8)	7,63(4)	1,1(3)	8,7(3)	159,(4)
	<sup>162</sup> Er	167,26	0,14	0(+)	0,14	7,79(2)	0	9,7(4)	0	9,7(4)	19,(2)
	<sup>164</sup> Er	169,29	1,56	0(+)	1,56	8,2(2)	0	8,4(4)	0	8,4(4)	13,(2)
	<sup>166</sup> Er	165,93	33,4	0(+)	33,4	10,6(2)	0	14,1(5)	0	14,1(5)	19,6(1,5)
	<sup>167</sup> Er	166,932	22,9	7/2(+)	22,9	3,0(3)	1,0(3)	1,1(2)	0	1,1(2)	659,(16)
	<sup>168</sup> Er	167,932	27,1	0(+)	27,1	7,4(4)	0	6,9(7)	0	6,9(7)	2,74(8)
	<sup>170</sup> Er	169,936	14,9	0(+)	14,9	9,6(5)	0	11,6(1,2)	0	11,6(1,2)	5,8(3)
69	Tm	168,934	9,3	1/2(+)	100	7,07(3)	0,9(3)	6,28(5)	0,10(7)	6,38(9)	100,(2)

## Fortsetzung T 8.08

Z	El	$A_r$	$\rho$ in g/cm <sup>3</sup>	$f(p)$	c in %	$b_c$ in fm	$b_i$ in fm	$\sigma_c$ in barn	$\sigma_i$ in barn	$\sigma_s$ in barn	$\sigma_a$ in barn
70	Yb 168Yb	174,04 167,934	7,0	0(+)	0,14	12,43(3) -4,07(2)	0	19,42(9) 2,13(2)	4,0(2) 0	23,4(2) 2,13(2)	34,8(8) 2230,(40)
	170Yb	169,935		0(+)	3,06	-0,62(1)i	0	5,8(2)	0	5,8(2)	11,4(1,0)
	171Yb	170,936		1/2(-)	14,3	6,77(10)	-5,59(17)	11,7(2)	3,9(2)	15,6(3)	48,6(2,5)
	172Yb	171,936		0(+)	21,9	9,43(10)	0	11,2(2)	0	11,2(2)	0,8(4)
	173Yb	172,938		5/2(-)	16,1	9,56(7)	-5,3(2)	11,5(2)	3,5(3)	15,0(4)	17,1(1,3)
	174Yb	173,939		0(+)	31,8	19,3(1)	0	46,8(5)	0	46,8(5)	69,4(5,0)
	176Yb	175,943		0(+)	12,7	8,72(10)	0	9,6(2)	0	9,6(2)	2,85(5)
71	Lu	174,967	9,84	7/2(+)	97,39	7,21(3)	$\pm 2,2(7)$	6,53(5)	0,7(4)	7,2(4)	74,(2)
	175Lu	174,941		7(-)	2,61	7,24(3)	$\pm 3,0(4)$	6,59(5)	0,6(4)	7,2(4)	21,(3)
	176Lu	175,943				6,1(1)	$+0,61(1)i$	4,7(2)	1,2(3)	5,9(4)	2065,(35)
72	Hf	178,49	13,36	0(+)	0,2	7,77(14)	0	7,6(3)	2,6(5)	10,2(4)	104,(15)
	174Hf	173,94		0(+)	5,2	10,9(1,1)	0	15(3)	0	15(3)	561,(35)
	176Hf	175,942		0(+)	18,6	6,61(18)	$\pm 0,9(1,3)$	5,5(3)	0	5,5(3)	23,5(3,1)
	177Hf	176,943		7/2(-)	27,1	0,8(1,0)E	0	0,2(2)	0,1(3)	0,2(2)	373,(10)
	178Hf	177,944		0(+)	13,7	5,9(2)	$\pm 1,06(8)$	4,4(3)	0	4,4(3)	84,(4)
	179Hf	178,946		9/2(+)	35,2	7,46(16)	0	7,0(3)	0,14(2)	7,1(3)	41,(3)
	180Hf	179,947		0(+)		13,2(3)	0	21,9(1,0)	0	21,9(1,0)	13,04(7)
73	Ta	180,945	16,6	9(-)	0,012	6,91(7)		6,00(12)	0,01(17)	6,01(12)	20,6(5)
	180Ta	179,948		7/2(+)	99,988	7,(2)E	-0,29(3)	6,2(3,5)	0,5(5)E	7,(4)	563,(60)
	181Ta	180,948				6,91(7)		6,00(12)	0,01(12)	6,01(12)	20,5(5)
74	W	183,85	19,27	0(+)	0,1	4,86(2)	0	2,97(2)	1,63(6)	4,60(6)	18,3(2)
	180W	179,947		0(+)	26,3	5,(3)E	0	3,(4)	0	3,(4)	30,(20)
	182W	181,948		0(+)	14,3	6,97(4)	0	6,10(7)	0	6,10(7)	20,7(5)
	183W	182,95		1/2(-)	30,7	6,53(4)	0	5,36(7)	0,3(3)E	5,7(3)	10,1(3)
	184W	183,95		0(+)	28,6	7,48(6)	0	7,03(11)	0	7,03(11)	1,7(1)
	186W	185,954		0(+)		-0,72(4)	0	0,065(7)	0	0,065(7)	37,9(6)
75	Re	186,207	21,04	5/2(+)	37,40	9,2(2)	$\pm 2,0(1,8)$	10,6(5)	0,9(6)	11,5(3)	89,7(1,0)
	185Re	184,953		5/2(+)	62,60	9,0(3)	$\pm 2,8(1,1)$	10,7(6)	0,5(9)	10,7(6)	112,(2)
	187Re	186,956				9,3(3)		10,9(7)	1,0(8)	11,9(4)	76,4(1,0)
76	Os	190,2	22,48	0(+)	0,02	10,7(2)	0	14,4(5)	0,3(8)	14,7(6)	16,0(4)
	184Os	183,953		0(+)	1,58	10,(2)E	0	13,(5)	0	13,(5)	3000,(150)
	186Os	185,954		1/2(-)	1,6	11,6(1,7)	0	17,(5)	0	17,(5)	80,(13,)
	187Os	186,956		0(+)	13,3	10,(2)E	0	13,(5)	0,3(3)E	13,(5)	320,(10)
	188Os	187,956		0(+)	16,1	7,6(3)	0	7,3(6)	0	7,3(6)	4,7(5)
	189Os	188,958		3/2(-)	26,4	10,7(3)	0	14,4(8)	0,5(5)E	14,4(8)	25,(4)
	190Os	189,959		0(+)		11,0(3)	0	15,2(8)	0	15,2(8)	13,(13)

Fortsetzung T 8.08

Z	El	$A_r$	$\rho$ in g/cm <sup>3</sup>	$I(p)$	c in %	$b_c$ in fm	$b_t$ in fm	$\sigma_c$ in barn	$\sigma_t$ in barn	$\sigma_s$ in barn	$\sigma_e$ in barn
77	<sup>192</sup> Os Ir <sup>191</sup> Ir <sup>193</sup> Ir	191,961 192,22 190,961 192,963	22,42	0(+) 3/2(+) 3/2(+)	41,0 37,3 62,7	11,5(4) 10,6(3)	0	16,6(1,2) 14,1(8)	0 0,(3,)	16,6(1,2) 14,(3,)	2,0(1) 425,(2,) 954,(10,) 111,(5,)
78	Pt <sup>190</sup> Pt <sup>189</sup> Pt <sup>191</sup> Pt <sup>193</sup> Pt <sup>194</sup> Pt <sup>195</sup> Pt <sup>196</sup> Pt <sup>198</sup> Pt	195,08 195,08 189,96 191,961 193,963 194,965 195,965 197,968	21,45	0(+) 0(+) 0(+) 0(+) 1/2(-) 0(+) 0(+) 0(+)	0,01 0,79 32,9 33,8 25,3 7,2	9,60(1) 9,0(1,0) 9,9(5) 10,53(8) 8,83(11) 9,89(8) 7,8(1)	0 0 0 -1,00(17) 0 0	11,58(2) 10,(2,) 12,3(1,2) 14,0(2) 9,8(2) 12,3(2) 7,6(2)	0,13(11) 0 0 0 0,13(4) 0 0	11,71(11) 10,(2,) 12,3(1,2) 14,0(2,5) 27,5(1,2) 12,3(2) 7,6(2)	10,3(3) 152,(4,) 10,0(2,5) 1,44(19) 27,5(1,2) 0,72(4) 3,66(19)
79	Au	196,967	19,29	3/2(+)	100	7,63(6)	-1,84(10)	7,32(12)	0,43(5)	7,75(13)	98,65(9)
80	Hg <sup>196</sup> Hg <sup>195</sup> Hg <sup>198</sup> Hg <sup>199</sup> Hg <sup>200</sup> Hg <sup>200</sup> Hg <sup>201</sup> Hg <sup>202</sup> Hg <sup>204</sup> Hg	200,59 195,966 197,967 198,968 199,968 200,97 201,971 203,973	13,55	0(+) 0(+) 1/2(-) 0(+) 3/2(-) 0(+) 0(+)	0,2 10,1 17,0 23,1 13,2 29,6 6,8	12,692(15) 30,3(1,0) 16,9(4)	0 ±15,5(8) 0	20,24(5) 115,(8,) 36,(2,)	6,6(1) 0 30,(3,) 0	26,8(1) 115,(8,) 66,(2,)	372,3(4,0) 3080,(180,) 2,0(3) (48)
81	Tl <sup>203</sup> Tl <sup>205</sup> Tl	204,383 202,973 204,974	11,85	1/2(+) 1/2(+)	29,524 70,476	8,776(5) 6,99(16) 9,52(7)	1,06(14) -0,242(17)	9,678(11) 6,14(28) 11,39(17)	0,21(15) 0,14(4) 0,007(1)	9,89(15) 6,28(28) 11,4(2) 11,40(17)	3,43(6) 11,4(2) 0,104(17)
82	Pb <sup>204</sup> Pb <sup>203</sup> Pb <sup>206</sup> Pb <sup>205</sup> Pb <sup>207</sup> Pb <sup>208</sup> Pb	207,2 203,97 205,974 206,976 207,977	11,34	0(+) 0(+) 1/2(-) 0(+)	1,4 24,1 22,1 52,4	9,405(3) 9,90(10) 9,22(5) 9,28(4) 9,50(2)	0 0 0,14(6) 0	11,115(7) 12,3(2) 10,68(12) 10,82(9) 11,34(5)	0,0030(7) 0 0 0,002(2) 0	11,118(7) 12,3(2) 10,68(12) 10,82(9) 11,34(5)	0,171(2) 0,65(7) 0,0300(8) 0,699(10) 0,00048(3)
83	Bi	208,98	9,80	9/2(-)	100	8,532(2)	0,259(15)	9,148(4)	0,0084(10)	9,156(4)	0,0338(7)
84	Po										
85	At										
86	Rn										
87	Fr										
88	<sup>226</sup> Ra	226,025		0(+)	(1,60·10 <sup>3</sup> )a	10,0(1,0)	0	13,(3,)	0	13,(3,)	12,8(1,5)
89	Ac										
90	Th	232,038	11,7	0(+)	100	10,31(3)	0	13,36(8)	0	13,36(8)	7,37(6)

## 8.09 Teilchenausbeuten beim Ionenbeschuß von Festkörpern – Particle yields from ion-bombarded solids (H. Oechsner)

### 8.09a Gesamtausbeuten $Y_{\text{tot}}$ (Atome/Ion) bei der Festkörperzerstäubung durch Ionenbeschuß (Sputtering) – Total sputtering yields $Y_{\text{tot}}$ of solids (atoms/ion)

$Y_{\text{tot}}$  für elementare polykristalline Targets

Senkrechter Beschuß mit Edelgasionen von 1 keV

Target	He <sup>+</sup>	Ne <sup>+</sup>	Ar <sup>+</sup>	Kr <sup>+</sup>	Xe <sup>+</sup>	Target	He <sup>+</sup>	Ne <sup>+</sup>	Ar <sup>+</sup>	Kr <sup>+</sup>	Xe <sup>+</sup>
Be	0,35	0,8	1,1	0,8	0,7	Nb			1,0	1,3	1,8
C (Graphit)	0,08		0,6			Mo	0,05	0,5	1,2	1,4	1,6
Mg			3,3			Pd			3,0		
Al		1,1	1,9	1,5	1,2	Ag	1,8	2,4	4,7	4,7	5,5
Si	0,1		0,7		1,0	Cd			11,2		
Ti	0,06		1,1			In			5,0		
V	0,06		0,9			Ta	0,015	0,4	0,9		
Cr			1,7			W	0,02	0,5	1,1	1,3	1,8
Fe	0,1	0,8	1,5	1,6	1,8	Pt	0,08	0,9	2,0	2,3	2,5
Ni	0,2	1,3	2,1	1,9	2,2	Au	0,15	1,5	4,0	3,8	4,2
Cu	0,7	2,7	3,6	3,6	3,4	Pb	1,5		4,2		
Ge			1,5			U	0,02		1,1		
Zr	0,04		1,0								

Literatur: Andersen, H.H.; Bay, H.L. (1981): Sputtering Yield Measurements. In: Behrisch, R. (ed.): Sputtering by Particle Bombardment I. Topics in Applied Physics vol. 47. Berlin, Heidelberg, New York: Springer. Matsunami, N. u.a. (1983): Energy Dependence of the Yields of Ion-induced Sputtering of Monoatomic Solids. IPPJ AM-32, Inst. Plasma Physics, Nagoya

$Y_{\text{tot}}$  für Oxide

Senkrechter Beschuß mit Ar<sup>+</sup>-Ionen von 1 keV

Senkrechter Beschuß mit Kr<sup>+</sup>-Ionen von 10 keV (nach Kelly u. Lam)<sup>1)</sup>

Oxid	$Y_{\text{tot}}$ (Atome/Ion)
Al <sub>2</sub> O <sub>3</sub>	0,2
SiO <sub>2</sub>	1,1
Nb <sub>2</sub> O <sub>5</sub>	1,4
Ta <sub>2</sub> O <sub>5</sub>	1,7

Oxid	$Y_{\text{tot}}$ (Atome/Ion)	Oxid	$Y_{\text{tot}}$ (Atome/Ion)	Oxid	$Y_{\text{tot}}$ (Atome/Ion)
MgO	1,8	V <sub>2</sub> O <sub>5</sub>	12,7	SnO <sub>2</sub>	15,3
Al <sub>2</sub> O <sub>3</sub>	1,6	ZrO <sub>2</sub>	2,8	Ta <sub>2</sub> O <sub>5</sub>	2,5
SiO <sub>2</sub>	4,2	Nb <sub>2</sub> O <sub>5</sub>	3,4	WO <sub>3</sub>	9,2
TiO <sub>2</sub>	1,9	MoO <sub>3</sub>	9,6	UO <sub>2</sub>	3,8

<sup>1)</sup> Kelly, R; Lam, N.Q. (1973): The Sputtering of Oxides Part I: A Survey of the Experimental Results. Radiation Effects 19, 39–47.

Literatur: Betz, G.; Wehner, G.K. (1983): Sputtering of Multicomponent Materials. In: Behrisch, R. (ed.): Sputtering by Particle Bombardment II. Topics in Applied Physics vol. 52. Berlin, Heidelberg, New York, Tokyo: Springer.

### 8.09b Sekundärionenausbeuten $Y_{\text{Me}^+}$ (Me<sup>+</sup>-Ionen/Primärion) an reinen und oxidierten Metalloberflächen beim Beschuß mit Ar<sup>+</sup>-Ionen von 2,5 keV unter 70° gegen die Flächennormale (nach Benninghoven)<sup>1)</sup> – Secondary ion yields $Y_{\text{Me}^+}$ (Me<sup>+</sup> ions/primary ion) at clean and at oxidized metal surfaces under bombardment with 2,5 keV Ar<sup>+</sup>-ions under 70° with respect to the normal (of the surface) (H. Oechsner)

<sup>1)</sup> Benninghoven, A. (1975): Developments in Secondary Ion Mass Spectroscopy and Applications to Surface Studies. Surface Sci. 53, 596–625.



### 8.12 Elektronenaustrittsarbeiten $\Phi_{hkl}$ in eV aus bestimmten niedrig indizierten Netzebenen von Einkristallen ausgewählter Metalle – *Electronic work function $\Phi_{hkl}$ in eV of single-crystalline metals measured in the direction of low-index planes* (H. Jahrreiss)

Element	Netzebene (hkl)				Element	Netzebene (hkl)				Element	Netzebene (hkl)			
	(100)	(110)	(111)	(112)		(100)	(110)	(111)	(112)		(100)	(110)	(111)	(112)
Ag	4,64	4,52	4,74		K	2,30				Pt			5,7	
Al	4,41	4,06	4,24		Li	2,9				Sb	4,7			
Au	5,47	5,37	5,31		Mo	4,53	4,95	4,55	4,36	Ta	4,15	4,80	4,00	
Cs	2,14				Na	2,75				U	3,73	3,90		
Cu	4,59	4,48	4,98	4,53	Nb	4,02	4,87	4,36	4,63	W	4,63	5,25	4,47	
Fe	4,67		4,81		Ni	5,22	5,04	5,35						
Ir	5,67	5,42	5,76		Pd			5,6						

Literatur s. Tab. T 8.11

### 8.13 Elektronenaustrittsarbeiten fremdstoffbedeckter und oxidierter Metalle in eV (nach Herrmann u. Wagner<sup>1)</sup> und Kluge<sup>2)</sup>) – *Electronic work function of impurity-covered and of oxidized metals in eV* (H. Jahrreiss)

W – Ba	1,56 bis 2,07	W – Th	2,86	SrO	1,4
W – O – Ba	1,34	Mo – Th	2,58	Ni – SrO	2,0
W – Cs	1,38 bis 1,70	Ta – Th	2,52	W – SrO	1,1
W – O – Cs	1,44	Pt – H <sub>2</sub>	4,21	BaO + SrO	0,93
W – O	6,42	BaO	1,1	ThO <sub>2</sub>	2,5
Pt – O	6,55	Ni – BaO	1,27	W – ThO <sub>2</sub>	1,6
Ni – O	4,34	W – BaO	1,34		

<sup>1)</sup> Herrmann, G.; Wagner, S. (1948): Die Oxydkathode, Bd. I. Leipzig: Barth, p. 88 f.

<sup>2)</sup> Kluge, W. (1959): Glühemission und Austrittsarbeit. In: Landolt-Börnstein: Zahlenwerte und Funktionen, Band II/6, 909–928. Berlin, Göttingen, Heidelberg: Springer p. 920 f.

Die angegebenen Werte gelten für optimale Bedingungen hinsichtlich Bedeckungsgrad sowie Herstellung und Formierung für die jeweilige Kombination von Unterlage und Bedeckung. Zu den davon abweichenden Austrittsarbeiten, die sich insbesondere bei dünnsten Bedeckungen im Bereich weniger Monolagen und bei verschiedenen Temperaturen ergeben, muß auf die umfangreiche Spezialliteratur verwiesen werden.

### 8.14 Kernmagnetische Momente und Spinresonanzdaten – *Nuclear magnetic moments and spin resonance data* (A. Hofstaetter)

$\mu$  magnetisches Kerndipolmoment;  $\mu_N$  Kernmagneton;  $Q$  elektrisches Kernquadrupolmoment;  $\nu_0$  magnetische Kernresonanzfrequenz in einem Magnetfeld der Flußdichte 1 T;  $(S/S_{1H})_{H_0=\text{const}}$  bzw.  $(S/S_{1H})_{\nu_0=\text{const}}$  Kernresonanzabsorption relativ zur Protonenresonanzabsorption im gleichen Magnetfeld bzw. bei gleicher Resonanzfrequenz (bei gleichen Kernanzahlen, gleicher Linienform, gleichen Relaxationszeiten, bei langsamem, adiabatischem Resonanzdurchgang und optimaler Wechselfeldstärke).

Elementsymbol mit r: radioaktiver Kern, Symbol mit \*: isomerer Kern, gekennzeichnet durch Anregungsenergie (in Klammern; Angabe (0)<sub>r</sub>: relative Lage der Isomere unbekannt). Alle magnetischen Dipolmomente ohne Index a sind an den angegebenen Wert für <sup>1</sup>H angeschlossen und nach Feiöck u. Johnson (1969): Phys. Rev. **187**, 39, diamagnetisch korrigiert (siehe auch Lederer u. Shirley (1978): Table of Isotopes, 7<sup>th</sup> ed. New York: Wiley Interscience). Werte mit Index a und Quadrupolmomente ohne Index sind angegeben wie von den Autoren veröffentlicht, im allgemeinen, weil deren Verfahrensweise bei der Analyse nicht erkennbar ist. Quadrupolmomente mit Index s sind Sternheimerkorrigiert, solche mit Index u unkorrigiert; Werte mit Index t sind wahre Quadrupolmomente, da sie aus Messung direkter Kernwechselwirkung stammen.

In den Fällen, in denen mehrere, über die angegebenen Fehlergrenzen hinaus verschiedene Momente in der Literatur angegeben sind, ist meist der neueste Wert, in besonderen Fällen der am genauesten gemessene Wert angegeben.

Nicht sicher bekannte Vorzeichen und Werte sind in Klammern gesetzt.

Nicht aufgenommen wurden gg-Kerne, Kerne mit Lebensdauern unter 1 s und magnetische Oktupolmomente.

## Fortsetzung T 8.14

Kern	Kernspin	$\mu/\mu_N$	$Q \cdot 10^{24}$ cm <sup>2</sup>	$\nu_0$ MHz	$(S/S_H)_{H_0=\text{const}}$	$(S/S_H)_{\nu_0=\text{const}}$
0 n r	1/2	-1,91304211a		29,1644551	0,321	0,685
1 H	1/2	+2,7928456		42,577118	1,000	1,000
2 H	1	+0,8574376	+0,002875s	6,5358468	0,00965	0,409
3 H r	1/2	+2,978960		45,414445	1,214	1,067
3 He	1/2	-2,127624a		32,43577	0,442	0,762
6 Li	1	-0,8220467	-0,000644s	6,2660785	0,00850	0,392
7 Li	3/2	+3,256424	-0,041s	16,54813	0,294	1,943
9 Be	3/2	-1,17749	+0,053s	5,98364	0,0139	0,703
10 B	3	+1,80065	+0,08472s	4,57517	0,0199	1,719
11 B	3/2	+2,688637	+0,04065s	13,66282	0,165	1,604
11 C r	3/2	-0,964	0,03426s	4,899	0,00762	0,575
13 C	1/2	+0,702411		10,70830	0,0159	0,252
13 N r	1/2	0,32224		4,91257	0,00154	0,115
14 N	1	+0,4037607	+0,0156	3,0776795	0,00101	0,193
15 N	1/2	-0,2831892		4,3172383	0,00104	0,101
15 O r	1/2	0,7189		10,960	0,0171	0,257
17 O	5/2	-1,89379	-0,02578s	5,77419	0,0291	1,582
17 F r	5/2	+4,7223	0,10s	14,398	0,451	3,945
19 F	1/2	+2,628866		40,07724	0,834	0,941
20 F r	2	+2,0935	0,070s	7,9789	0,0527	1,499
19 Ne r	1/2	-1,887		28,77	0,308	0,676
21 Ne	3/2	-0,661796	+0,1029s	3,363041	0,00246	0,395
23 Ne r	5/2	-1,08		3,29	0,00540	0,902
21 Na r	3/2	+2,38629	-0,060s	12,1264	0,116	1,424
22 Na r	3	+1,746		4,436	0,0181	1,667
23 Na	3/2	+2,217654	+0,101s	11,26943	0,0927	1,323
24 Na r	4	+1,6903		3,2211	0,0115	2,017
25 Na r	5/2	+3,683	+0,23s	11,23	0,214	3,077
25 Mg	5/2	-0,85545	+0,22	2,60828	0,00268	0,715
25 Al r	5/2	3,6455		11,115	0,208	3,046
27 Al	5/2	+3,641504	+0,140s	11,10299	0,207	3,042
28 Al r	3	+2,791	0,17	7,091	0,0739	2,665
29 Si	1/2	-0,55529		8,46543	0,00786	0,199
29 P r	1/2	1,2349		18,826	0,0865	0,442
31 P	1/2	+1,13160		17,25132	0,0665	0,405
32 P r	1	-0,2524		1,9239	2,46 · 10 <sup>-4</sup>	0,120
31 S r	1/2	0,48793		7,43853	0,00533	0,175
33 S	3/2	+0,643821	-0,11	3,271698	0,00227	0,384
35 S r	3/2	(+),1,00	+0,045s	5,082	0,00850	0,597
35 Cl	3/2	+0,8218736	-0,08249s	4,1765060	0,00472	0,490
36 Cl r	2	+1,28547	-0,0180s	4,89927	0,0122	0,921
37 Cl	3/2	+0,6841230	-0,06493s	3,47650032	0,00272	0,408
38 Cl r	2	2,05		7,81	0,0494	1,468
35 Ar r	3/2	+0,633		3,217	0,00216	0,378
37 Ar r	3/2	+0,95		4,83	0,00729	0,567
39 Ar r	7/2	-1,3		2,8	0,00617	1,396
37 K r	3/2	+0,20321		1,03265	7,13 · 10 <sup>-5</sup>	0,121
38 K r	3	+1,3737		3,4904	0,00882	1,312
39 K	3/2	+0,3914658	+0,049s	1,9893074	5,10 · 10 <sup>-4</sup>	0,234
40 K r	4	-1,298099	-0,061s	2,473701	0,00523	1,549
41 K	3/2	+0,2148699	+0,060s	1,0919020	8,43 · 10 <sup>-5</sup>	0,128
42 K r	2	-1,1425		4,3544	0,00856	0,818
43 K r	3/2	0,163		0,828	3,68 · 10 <sup>-5</sup>	0,0973
45 K r	3/2	0,1734		0,8812	4,43 · 10 <sup>-5</sup>	0,103
41 Ca r	7/2	-1,594780		3,4732183	0,0114	1,713

## Fortsetzung T 8.14

Kern	Kern- spin	$\mu/\mu_N$	$Q \cdot 10^{24}$ cm <sup>2</sup>	$\nu_0$ MHz	$(S/S_H)_{H_0=\text{const}}$	$(S/S_H)_{\nu_0=\text{const}}$
43 Ca	7/2	-1,317642	-0,06u	2,869649	0,00643	1,415
45 Ca r	7/2	-1,3282	+0,05u	2,8926	0,00659	1,427
43 Sc r	7/2	+4,62	-0,26u	10,1	0,277	4,963
44 Sc r	2	+2,56	+0,10u	9,76	0,0963	1,833
44 Sc *	6	+3,88	-0,19u	4,93	0,0869	6,483
(271 keV)						
45 Sc	7/2	+4,756483	-0,22u	10,35899	0,302	5,109
46 Sc r	4	+3,03	+0,119u	5,77	0,0665	3,616
47 Sc r	7/2	+5,34	-0,22u	11,6	0,428	5,736
45 Ti r	7/2	0,095	0,015u	0,207	$2,41 \cdot 10^{-6}$	0,102
47 Ti	5/2	-0,78848	+0,29u	2,40409	0,00210	0,659
49 Ti	7/2	-1,10417	+0,24u	2,40474	0,00378	1,186
48 V r	4	1,63		3,11	0,0104	1,945
49 V r	7/2	4,47		9,74	0,251	4,802
50 V	6	+3,34745	0,07u	4,25267	0,0558	5,593
51 V	7/2	+5,1514	-0,052u	11,219	0,384	5,533
49 Cr r	5/2	0,476		1,451	$4,62 \cdot 10^{-4}$	0,398
51 Cr r	7/2	(-)0,934		2,034	0,00229	1,003
53 Cr	3/2	-0,47454	-0,0285s	2,41146	$9,08 \cdot 10^{-4}$	0,283
51 Mn r	5/2	3,568	0,50	10,88	0,195	2,981
52 Mn r	6	+3,0631	+0,60	3,8914	0,0428	5,118
52 Mn *	2	0,0076		0,0290	$2,52 \cdot 10^{-9}$	0,00544
(378 keV)						
53 Mn r	7/2	5,024		10,94	0,356	5,397
54 Mn r	3	+3,2818	+0,40	8,3385	0,120	3,134
55 Mn	5/2	+3,468716	+0,40	10,57616	0,179	2,898
56 Mn r	3	+3,2266		8,1983	0,114	3,081
57 Fe	1/2	+0,09062293		1,38155264	$3,42 \cdot 10^{-5}$	0,0324
59 Fe r	3/2	0,29		1,47	$2,07 \cdot 10^{-4}$	0,173
55 Co r	7/2	+4,822		10,50	0,315	5,180
56 Co r	4	3,830		7,2986	0,134	4,571
57 Co r	7/2	+4,719	+0,52u	10,28	0,295	5,069
58 Co r	2	+4,044	+0,22u	15,41	0,380	2,896
59 Co	7/2	+4,627	+0,42s	10,08	0,278	4,970
60 Co r	5	+3,799	+0,44u	5,792	0,101	5,441
60 Co *	2	+4,40	+0,3	16,77	0,489	3,151
(59 keV)						
57 Ni r	3/2	0,88		4,47	0,00579	0,525
61 Ni	3/2	-0,75002	+0,162s	3,81137	0,00359	0,448
65 Ni r	5/2	0,69		2,10	0,00141	0,576
60 Cu r	2	+1,219		4,646	0,0104	0,873
61 Cu r	3/2	+2,14		10,9	0,0833	1,277
62 Cu r	1	-0,380		2,8966	$8,40 \cdot 10^{-4}$	0,181
63 Cu	3/2	+2,2264	-0,209s	11,314	0,0938	1,329
64 Cu r	1	-0,217		1,654	$1,56 \cdot 10^{-4}$	0,104
65 Cu	3/2	+2,3853	-0,195s	12,121	0,115	1,423
66 Cu r	1	-0,282		2,150	$3,43 \cdot 10^{-4}$	0,135
63 Zn r	3/2	-0,28164	+0,29u	1,43121	$1,90 \cdot 10^{-4}$	0,168
65 Zn r	5/2	+0,7690	-0,023u	2,34469	0,00195	0,642
67 Zn	5/2	+0,8760822	+0,150u	2,6711864	0,00288	0,732
67 Ga r	3/2	+1,8507	+0,195s	9,4047	0,0539	1,104
68 Ga r	1	0,01175	0,0277s	0,08956	$2,48 \cdot 10^{-8}$	0,00561
69 Ga	3/2	+2,01659	+0,168s	10,2477	0,0697	1,203
71 Ga	3/2	+2,56227	+0,106s	13,0207	0,143	1,529
72 Ga r	3	-0,13224	+0,52s	0,33600	$7,86 \cdot 10^{-6}$	0,126

## Fortsetzung T 8.14

Kern	Kern- spin	$\mu/\mu_N$	$Q \cdot 10^{24}$ cm <sup>2</sup>	$\nu_0$ MHz	$(S/S_H)_{H_0=\text{const}}$	$(S/S_H)_{\nu_0=\text{const}}$
69 Ge r	5/2	0,735	0,024s	2,241	0,00170	0,614
71 Ge r	1/2	+0,547		8,339	0,00751	0,196
73 Ge	9/2	-0,8794669	-0,173u	1,4897258	0,00141	1,155
75 Ge r	1/2	+0,510		7,7750	0,00609	0,183
70 As r	4	2,1		4,0	0,0221	2,506
71 As r	5/2	(+)1,6735		5,1025	0,0201	1,398
72 As r	2	(-)2,1578		8,2240	0,0577	1,545
74 As r	2	-1,597		6,087	0,0234	1,144
75 As	3/2	+1,43947	+0,29u	7,31494	0,0254	0,859
76 As r	2	-0,906	7	3,453	0,00427	0,649
75 Se r	5/2	0,67	+1,0u	2,04	0,00129	0,560
77 Se	1/2	+0,534270		8,1449819	0,00700	0,191
79 Se r	7/2	-1,018	+0,8u	2,217	0,00297	1,094
76 Br r	1	0,5482	0,27s	4,1787	0,00252	0,262
79 Br	3/2	+2,106399	+0,293u	10,70406	0,0795	1,257
80 Br r	1	0,5140	0,199s	3,91798	0,00208	0,245
80 Br *	5	+1,3177	+0,76s	2,0088	0,00420	1,887
(86 keV)						
81 Br	3/2	+2,270560	+0,27s	11,538280	0,0995	1,355
82 Br r	5	+1,6270	+0,76s	2,48037	0,00791	2,330
83 Kr	9/2	-0,970669	+0,270u	1,644213	0,00190	1,274
85 Kr r	9/2	1,005	+0,45u	1,702	0,00211	1,319
77 Rb r	3/2	0,652		3,313	0,00236	0,389
78 Rb *	4	2,56		4,88	0,0401	3,055
(103 keV)						
79 Rb r	5/2	3,36		10,2	0,163	2,807
80 Rb r	1	-0,0834a		0,6357	$8,88 \cdot 10^{-6}$	0,0398
81 Rb r	3/2	+2,05		10,4	0,0732	1,223
82 Rb r	1	+0,554a		4,223	0,00260	0,264
82 Rb *	5	+1,6434		2,5054	0,00815	2,354
( $\approx 100$ keV)						
83 Rb r	5/2	+1,43	+0,27s	4,36	0,0125	1,195
84 Rb r	2	-1,297	+0,005s	4,943	0,0125	0,929
85 Rb	5/2	+1,3533505	+0,274s	4,1263838	0,0106	1,131
86 Rb r	2	-1,6920	+0,20s	6,44866	0,0278	1,212
87 Rb r	3/2	+2,751816	+0,130s	13,98387	0,177	1,642
88 Rb r	2	0,508		1,936	$7,52 \cdot 10^{-4}$	0,364
89 Rb r	3/2	2,377	0,16s	12,08	0,114	1,419
91 Rb r	3/2	2,177	0,14s	11,06	0,0877	1,299
93 Rb r	5/2	1,400	0,27s	4,2686	0,0118	1,170
87 Sr	9/2	-1,093602	+0,36u	1,852448	0,00272	1,436
87 Y *	9/2	6,10a		10,33	0,472	8,009
(381 keV)						
89 Y	1/2	-0,1374153		2,0949055	$1,19 \cdot 10^{-4}$	0,0492
90 Y r	2	-1,630	-0,155u	6,2124	0,0249	1,167
91 Y r	1/2	0,1641		2,5017	$2,03 \cdot 10^{-4}$	0,0588
91 Zr	5/2	-1,30362		3,97475	0,00949	1,089
90 Nb r	8	4,941		4,708	0,130	10,615
92 Nb *	2	6,114a		23,30	1,311	4,378
(135 keV)						
93 Nb	9/2	+6,1705	-0,36u	10,452	0,488	8,101
95 Nb r	9/2	6,123		10,37	0,477	8,039
97 Nb r	9/2	7,3		12	0,808	9,584
93 Mo *	21/2	(+)9,21		6,69	0,623	25,282
(2245 keV)						

## Fortsetzung T 8.14

Kern	Kern- spin	$\mu/\mu_N$	$Q \cdot 10^{24}$ cm <sup>2</sup>	$\nu_0$ MHz	$(S/S_H)_{H_0=\text{const}}$	$(S/S_H)_{\nu_0=\text{const}}$
95 Mo	5/2	-0,9142	-0,019u	2,7874	0,00327	0,764
97 Mo	5/2	-0,9335	-0,102u	2,8463	0,00349	0,780
93 Tc r	9/2	6,15		10,4	0,483	8,074
94 Tc r	7	5,20		5,662	0,176	9,930
95 Tc r	9/2	9,058		15,34	1,544	11,892
96 Tc r	7	+5,37		5,85	0,193	10,255
99 Tc r	9/2	+5,6847	(+),0,34	9,6293	0,382	7,463
97 Ru r	5/2	0,687		2,095	0,00139	0,574
99 Ru	5/2	-0,6413	+0,076u	1,9553	0,00113	0,536
101 Ru	5/2	-0,7188	+0,44u	2,1916	0,00159	0,601
103 Ru r	5/2	0,67		2,04	0,00129	0,560
101 Rh *	9/2	+5,51		9,33	0,348	7,234
(157 keV)						
102 Rh r	(6)	4,11		(5,22)	(0,103)	(6,868)
102 Rh *	(2)	0,45		(1,72)	(5,23 · 10 <sup>-4</sup> )	(0,322)
(<70 keV)						
103 Rh	1/2	-0,08840		1,347664	3,17 · 10 <sup>-5</sup>	0,0317
103 Rh *	7/2	+4,78		10,4	0,307	5,135
(40 keV)						
105 Rh r	7/2	+4,428		9,644	0,244	4,756
106 Rh r	1	(+),3,07		23,4	0,443	1,466
105 Pd	5/2	-0,642	+0,8u	1,957	0,00113	0,536
102 Ag *	2	+4,14		15,8	0,407	2,965
(9 keV)						
103 Ag r	7/2	+4,47		9,74	0,251	4,802
104 Ag r	5	+4,0		6,10	0,118	5,729
104 Ag *	2	+3,7		14	0,291	2,650
(<15 keV)						
105 Ag r	1/2	0,1014		1,5458	4,79 · 10 <sup>-5</sup>	0,0363
106 Ag r	1	+2,85		21,7	0,354	1,361
106 Ag *	6	3,71		4,71	0,0760	6,199
(88 keV)						
107 Ag	1/2	-0,1136796		1,7330531	6,74 · 10 <sup>-5</sup>	0,0407
108 Ag r	1	+2,6884		20,492	0,297	1,283
108 Ag *	6	3,580	1,52u	4,5481	0,0683	5,982
(110 keV)						
109 Ag	1/2	-0,1306905		1,9923854	1,02 · 10 <sup>-4</sup>	0,0468
109 Ag *	7/2	+4,27		9,30	0,219	4,587
(88 keV)						
110 Ag r	1	+2,7271		20,787	0,310	1,302
110 Ag *	6	+3,607	1,65u	4,582	0,0698	6,027
(118 keV)						
111 Ag r	1/2	-0,146		2,226	1,43 · 10 <sup>-4</sup>	0,0523
112 Ag r	2	0,0547		0,2085	9,39 · 10 <sup>-7</sup>	0,0392
113 Ag r	1/2	0,159		2,424	1,85 · 10 <sup>-4</sup>	0,0569
105 Cd r	5/2	-0,7393	+0,43u	2,2541	0,00173	0,618
107 Cd r	5/2	-0,615055	+0,68u	1,875311	9,97 · 10 <sup>-4</sup>	0,514
109 Cd r	5/2	-0,827846	+0,69u	2,524114	0,00243	0,692
111 Cd	1/2	-0,595542		9,079078	0,00970	0,213
111 Cd *	11/2	-1,1051	-0,85u	1,5316	0,00222	1,715
(396 keV)						
113 Cd r	1/2	-0,6223005		9,4870128	0,0111	0,223
113 Cd *	11/2	-1,087783	-0,71u	1,507575	0,00212	1,688
(264 keV)						
115 Cd r	1/2	-0,648425		9,885283	0,0125	0,232

Fortsetzung T 8.14

Kern	Kernspin	$\mu/\mu_N$	$Q \cdot 10^{24}$ cm <sup>2</sup>	$\nu_0$ MHz	$(S/S_H)_{H_0=\text{const}}$	$(S/S_H)_{\nu_0=\text{const}}$
115 Cd *	11/2	-1,041034	-0,54u	1,442785	0,00185	1,615
(173 keV)						
109 In r	9/2	+5,53	+0,89s	9,37	0,351	7,260
110 In *	2	+4,365	+0,37s	16,64	0,477	3,126
((0)x)						
110 In *	7	5,2	(-)0,215s	5,7	0,176	9,930
((0)x)						
111 In r	9/2	+5,53	+0,87s	9,37	0,351	7,260
112 In r	1	+2,82	+0,093s	21,5	0,343	1,346
113 In	9/2	+5,5289	+0,777u	9,3654	0,351	7,259
113 In *	1/2	-0,21074		3,21275	$4,30 \cdot 10^{-4}$	0,0755
(392 keV)						
114 In r	1	+1,7		13	0,0752	0,812
114 In *	5	+4,7		7,2	0,191	6,731
(190 keV)						
115 In r	9/2	+5,5408	+0,861s	9,3855	0,353	7,274
115 In *	1/2	-0,24398		3,71949	$6,67 \cdot 10^{-4}$	0,0874
(336 keV)						
116 In r	1	2,7867	0,09	21,242	0,331	1,330
116 In *	5	+4,4		6,7	0,156	6,302
(127 keV)						
117 In r	1/2	-0,25174		3,83779	$7,32 \cdot 10^{-4}$	0,0901
113 Sn r	1/2	0,880		13,416	0,0313	0,315
115 Sn	1/2	-0,91883		14,0076	0,0356	0,329
117 Sn	1/2	-1,00104		15,2609	0,0461	0,358
119 Sn	1/2	-1,04728		15,9659	0,0527	0,375
119 Sn *	11/2	-1,40	0,21	1,940	0,00451	2,172
(90 keV)						
121 Sn r	3/2	0,699	0,08u	3,552	0,00290	0,417
115 Sb r	5/2	+3,46	-0,20u	10,5	0,177	2,891
117 Sb r	5/2	+3,43	-0,30u	10,5	0,173	2,866
118 Sb r	1	2,47		18,8	0,231	1,179
118 Sb *	8	2,32		2,21	0,0134	4,984
(220 keV)						
119 Sb r	5/2	+3,45	-0,21u	10,5	0,176	2,882
120 Sb *	1	2,34		17,8	0,196	1,117
((0)x)						
120 Sb *	8	2,34		2,23	0,0138	5,027
((0)x)						
121 Sb	5/2	+3,3634	-0,020u	10,255	0,163	2,810
122 Sb r	2	-1,905	+0,47u	7,260	0,0397	1,364
123 Sb	7/2	+2,5498	-0,26u	5,5531	0,0466	2,739
124 Sb r	3	1,20		3,049	0,00588	1,146
125 Sb r	7/2	+2,630		5,7278	0,0511	2,825
126 Sb r	(8)	1,28		(1,22)	(0,00226)	(2,750)
127 Sb r	7/2	2,59		5,64	0,0488	2,782
128 Sb r	8	1,31		1,25	0,00242	2,814
119 Te r	1/2	0,25		3,81	$7,17 \cdot 10^{-4}$	0,0895
119 Te *	11/2	0,95		1,32	0,00141	1,474
(300 keV)						
123 Te	1/2	-0,73679		11,2324	0,0184	0,264
123 Te *	11/2	-1,00		1,386	0,00164	1,552
(248 keV)						
125 Te	1/2	-0,88828		13,5419	0,0322	0,318

## Fortsetzung T 8.14

Kern	Kernspin	$\mu/\mu_N$	$Q \cdot 10^{24}$ cm <sup>2</sup>	$\nu_0$ MHz	$(S/S_H)_{M_0=\text{const}}$	$(S/S_H)_{\nu_0=\text{const}}$
125 Te *	11/2	-0,93		1,29	0,00132	1,443
(145 keV)						
127 Te r	3/2	0,635a		3,227	0,00218	0,379
127 Te *	11/2	-0,91		1,26	0,00124	1,412
(88 keV)						
129 Te r	3/2	0,702a		3,567	0,00294	0,419
129 Te *	11/2	-1,15		1,59	0,00250	1,784
(106 keV)						
131 Te r	3/2	0,696a		3,537	0,00287	0,415
131 Te *	11/2	-1,04		1,44	0,00185	1,614
(182 keV)						
123 Ir	5/2	2,818a		8,592	0,0959	2,354
125 Ir	5/2	2,821a	-0,889	8,601	0,0962	2,357
127 Ir	5/2	+2,81327	-0,789	8,57770	0,0954	2,350
129 Ir r	7/2	+2,6210	-0,553	5,70819	0,0506	2,815
131 Ir r	7/2	+2,742	-0,40	5,972	0,0579	2,945
132 Ir	4	3,088	0,09	5,885	0,0704	3,686
133 Ir	7/2	+2,856	-0,27	6,220	0,0655	3,068
129 Xe	1/2	-0,777976		11,86030	0,0216	0,279
129 Xe *	11/2	-0,847		1,174	$9,99 \cdot 10^{-4}$	1,314
(236 keV)						
131 Xe	3/2	+0,691861	-0,120u	3,515822	0,00282	0,413
131 Xe *	11/2	-0,80		1,109	$8,42 \cdot 10^{-4}$	1,241
(164 keV)						
133 Xe *	11/2	-0,87		1,21	0,00108	1,350
(233 keV)						
121 Cs r	3/2	0,785a		3,989	0,00411	0,468
122 Cs r	1	0,133a		1,014	$3,60 \cdot 10^{-5}$	0,0635
123 Cs r	1/2	1,389a		21,18	0,123	0,497
124 Cs r	1	0,674a		5,138	0,00469	0,322
125 Cs r	1/2	+1,41		21,5	0,129	0,505
126 Cs r	1	0,779a		5,938	0,00723	0,372
127 Cs r	1/2	+1,46		22,3	0,143	0,523
128 Cs r	1	0,977a		7,447	0,0143	0,466
129 Cs r	1/2	+1,482		22,59	0,149	0,531
130 Cs r	1	1,466a		11,17	0,0482	0,700
131 Cs r	5/2	+3,543	-0,620s	10,80	0,191	2,960
132 Cs r	2	+2,222	+0,508s	8,469	0,0630	1,591
133 Cs	7/2	+2,582023	-0,003s	5,623302	0,0484	2,774
134 Cs r	4	+2,9937	+0,389s	5,7049	0,0642	3,573
134 Cs *	8	+1,0978		1,0460	0,00142	2,358
(139 keV)						
135 Cs r	7/2	+2,7324	+0,050s	5,9508	0,0573	2,935
136 Cs r	5	+3,711	+0,225s	5,657	0,0938	5,315
137 Cs r	7/2	+2,8413	+0,051s	6,1880	0,0645	3,052
138 Cs r	3	0,701	0,125s	1,781	0,00117	0,669
139 Cs r	7/2	2,969	-0,075s	6,466	0,0736	3,189
140 Cs r	1	0,134	-0,112s	1,021	$3,68 \cdot 10^{-5}$	0,0640
141 Cs r	7/2	2,438	-0,36s	5,310	0,0407	2,619
129 Ba r	1/2	-0,398		6,068	0,00289	0,143
129 Ba *	11/2	+0,930	1,94u	1,2889	0,00132	1,443
(277 keV)						
131 Ba r	1/2	-0,708		10,79	0,0163	0,254
133 Ba r	1/2	-0,777		11,85	0,0215	0,278

## Fortsetzung T 8.14

H.8 T gaussiano T

Kern	Kern- spin	$\mu/\mu_N$	$Q \cdot 10^{24}$ cm <sup>2</sup>	$\nu_0$ MHz	$(S/S_H)_{H_0=\text{const}}$	$(S/S_H)_{\nu_0=\text{const}}$
133 Ba *	11/2	-0,912	1,08u	1,264	0,00125	1,415
(288 keV)						
135 Ba	3/2	+0,837943	+0,18u	4,258166	0,00500	0,500
135 Ba *	11/2	-1,001	1,16u	1,387	0,00165	1,553
(268 keV)						
137 Ba	3/2	+0,937365	+0,28u	4,763397	0,00700	0,559
137 La r	7/2	+2,695	+0,26s	5,869	0,0550	2,895
138 La r	5	+3,7139	+0,51s	5,6619	0,0941	5,319
139 La	7/2	+2,7832	+0,22s	6,0614	0,0606	2,990
140 La r	3	+0,730	+0,103s	1,8548	0,00132	0,697
137 Ce r	3/2	0,91		4,62	0,00641	0,543
137 Ce *	11/2	0,70		0,970	$5,64 \cdot 10^{-4}$	1,086
(254 keV)						
139 Ce r	3/2	0,96		4,88	0,00752	0,573
141 Ce r	7/2	0,970		2,1125	0,00257	1,042
143 Ce r	3/2	$\approx 1$		$\approx 5$	$\approx 0,00850$	$\approx 0,597$
141 Pr	5/2	+4,136a	-0,024u	12,61	0,303	3,455
142 Pr r	2	+0,234a	+0,0297u	0,892	$7,35 \cdot 10^{-5}$	0,168
142 Pr *	5	2,2		3,4	0,0196	3,151
(4 keV)						
143 Nd	7/2	-1,065	-0,56s	2,319	0,00340	1,144
145 Nd	7/2	-0,656	-0,29s	1,429	$7,93 \cdot 10^{-4}$	0,705
147 Nd r	5/2	0,554	0,9	1,689	$7,29 \cdot 10^{-4}$	0,463
149 Nd r	5/2	0,351	1,3	1,070	$1,85 \cdot 10^{-4}$	0,293
143 Pm r	5/2	3,78		11,5	0,231	3,158
144 Pm r	5	1,69		2,58	0,00886	2,420
147 Pm r	7/2	+2,58	+0,74u	5,62	0,0483	2,771
148 Pm r	1	+2,08	+0,2u	15,9	0,138	0,993
148 Pm *	6	1,82		2,31	0,00897	3,041
(137 keV)						
149 Pm r	7/2	3,3		7,2	0,101	3,545
151 Pm r	5/2	1,8	1,9u	5,5	0,0250	1,504
145 Sm r	7/2	0,92		2,00	0,00219	0,988
147 Sm r	7/2	-0,8109	-0,18u	1,7660	0,00150	0,871
149 Sm	7/2	-0,6692	+0,060u	1,4574	$8,42 \cdot 10^{-4}$	0,719
151 Sm r	5/2	0,355		1,082	$1,92 \cdot 10^{-4}$	0,297
153 Sm r	3/2	-0,0216	+1,0u	0,1098	$8,57 \cdot 10^{-8}$	0,0129
151 Eu	5/2	+3,4717	+1,12	10,585	0,179	2,900
152 Eu r	3	-1,9414	+3,16u	4,9328	0,0249	1,854
153 Eu	5/2	+1,5330	+2,85	4,67414	0,0154	1,281
154 Eu r	3	2,005	+3,9u	5,094	0,0274	1,914
155 Eu r	5/2	1,93		5,88	0,0308	1,612
155 Gd	3/2	-0,2591	+1,59u	1,3167	$1,48 \cdot 10^{-4}$	0,155
157 Gd	3/2	-0,3398	+1,69u	1,7268	$3,34 \cdot 10^{-4}$	0,203
159 Gd r	3/2	-0,44		2,24	$7,24 \cdot 10^{-4}$	0,263
155 Tb r	3/2	2,0		10,2	0,0680	1,194
156 Tb r	3	1,41	+1,40u	3,58	0,00953	1,346
157 Tb r	3/2	2,0		10,2	0,0680	1,194
158 Tb r	3	+1,785	+2,7s	4,467	0,0185	1,679
159 Tb	3/2	+2,014	+1,34s	10,23	0,0694	1,202
160 Tb r	3	+1,702	+3,0s	4,325	0,0168	1,625
153 Dy r	7/2	-0,72	-0,15s	1,57	0,00105	0,773
155 Dy r	3/2	-0,34	+0,94s	1,73	$3,34 \cdot 10^{-4}$	0,203
157 Dy r	3/2	-0,30	+1,27s	1,525	$2,30 \cdot 10^{-4}$	0,179
161 Dy	5/2	-0,4805	+2,33s	1,4651	$4,75 \cdot 10^{-4}$	0,401

## Fortsetzung T 8.14

Kern	Kernspin	$\mu/\mu_N$	$Q \cdot 10^{24}$ cm <sup>2</sup>	$\nu_0$ MHz	$(S/S_H)_{H_0=\text{const}}$	$(S/S_H)_{I_0=\text{const}}$
163 Dy	5/2	+0,6726	+2,46s	2,0508	0,00130	0,562
165 Dy r	7/2	0,51	2,8u	1,11	$3,73 \cdot 10^{-4}$	0,548
165 Ho	7/2	+4,173	+3,49t	9,088	0,204	4,483
166 Ho *	(7)	4,1		(4,5)	(0,0861)	(7,830)
(5 keV)						
161 Er r	3/2	-0,370	+1,20s	1,8802	$4,31 \cdot 10^{-4}$	0,221
163 Er r	5/2	+0,57	+2,2s	1,74	$7,93 \cdot 10^{-4}$	0,476
165 Er r	5/2	0,66	2,2u	2,01	0,00123	0,551
167 Er	7/2	-0,5665	+2,827u	1,2338	$5,11 \cdot 10^{-4}$	0,609
169 Er r	1/2	+0,515		7,851	0,00627	0,184
171 Er r	5/2	0,70	2,4u	2,134	0,00147	0,585
163 Tm r	1/2	0,081		1,235	$2,44 \cdot 10^{-5}$	0,0290
165 Tm r	1/2	0,139		2,119	$1,23 \cdot 10^{-4}$	0,0498
166 Tm r	2	0,092	1,85s	0,351	$4,47 \cdot 10^{-6}$	0,0659
167 Tm r	1/2	-0,197		3,003	$3,51 \cdot 10^{-4}$	0,0705
169 Tm	1/2	-0,2316		3,5308	$5,70 \cdot 10^{-4}$	0,0829
170 Tm r	1	0,2476	0,574u	1,8873	$2,32 \cdot 10^{-4}$	0,118
171 Tm r	1/2	0,2303		3,5109	$5,61 \cdot 10^{-4}$	0,0825
169 Yb r	7/2	-0,63	+4,10u	1,37	$7,03 \cdot 10^{-4}$	0,677
171 Yb	1/2	+0,49367		7,52603	0,00552	0,177
173 Yb	5/2	-0,67989	+2,80t	2,07299	0,00135	0,568
175 Yb r	7/2	0,58		1,26	$5,48 \cdot 10^{-4}$	0,623
171 Lu r	7/2	2,03		4,42	0,0235	2,181
172 Lu r	4	2,25		4,29	0,0272	2,685
173 Lu r	7/2	2,34		5,10	0,0360	2,514
174 Lu r	(1)	1,94		(14,8)	(0,112)	(0,926)
174 Lu *	(6)	2,34		(2,97)	(0,0191)	(3,910)
(171 keV)						
175 Lu	7/2	+2,23799	+3,46t	4,87404	0,0315	2,404
176 Lu r	7	+3,19	+8,0u	3,47	0,0406	6,092
176 Lu *	1	+0,318	-2,39u	2,424	$4,92 \cdot 10^{-4}$	0,152
(127 keV)						
177 Lu r	7/2	+2,239	+5,51u	4,876	0,0315	2,405
177 Lu *	23/2	3,3		2,2	0,0260	9,847
(970 keV)						
175 Hf r	5/2	0,70	+2,7	2,134	0,00147	0,585
177 Hf	7/2	+0,7935	+4,5s	1,7281	0,00140	0,852
179 Hf	9/2	-0,6409	+5,1s	1,0856	$5,47 \cdot 10^{-4}$	0,841
179 Hf *	25/2	7,43		4,53	0,271	23,943
(1106 keV)						
180 Hf *	8	+9,0	+4,4	8,58	0,784	19,335
(1142 keV)						
178 Ta r	1	+2,89		22,0	0,369	1,380
180 Ta	(9)	4,77a		(4,04)	(0,103)	(11,386)
181 Ta	7/2	+2,371	+3,9u	5,164	0,0375	2,547
182 Ta r	3	(+)2,98a		7,57	0,0900	2,845
183 W	1/2	+0,1177847		1,7956356	$7,50 \cdot 10^{-5}$	0,0422
187 W r	3/2	0,688		3,496	0,00277	0,411
181 Re r	5/2	3,242		9,885	0,146	2,709
182 Re *	7	2,79a		3,04	0,0271	5,328
((0)x)						
182 Re *	2	3,11a		11,9	0,173	2,227
((0)x)						
183 Re r	(5/2)	(+)3,19		(9,73)	(0,139)	(2,665)
184 Re r	3	(+)2,499		6,350	0,0531	2,386

## Fortsetzung T 8.14

Kern	Kern- spin	$\mu/\mu_N$	$Q \cdot 10^{24}$ cm <sup>2</sup>	$\nu_0$ MHz	$(S/S_H)_{H_0=\text{const}}$	$(S/S_H)_{\nu_0=\text{const}}$
184 Re *	8	(+),2,90		2,763	0,0262	6,230
(188 keV)						
185 Re	5/2	+3,1871	+2,36u	9,7175	0,139	2,663
186 Re r	1	+1,739	≈0,4	13,26	0,0805	0,830
187 Re r	5/2	+3,2197	+2,24u	9,8169	0,143	2,690
188 Re r	1	+1,788	≈0,4	13,63	0,0875	0,854
183 Os r	9/2	(-),0,794a		1,345	0,00104	1,042
187 Os	1/2	+0,06465184		0,98562163	$1,24 \cdot 10^{-5}$	0,0231
189 Os	3/2	+0,659933	+0,86	3,353574	0,00244	0,394
193 Os r	3/2	1,30	+0,87	6,606	0,0187	0,776
191 Ir	3/2	+0,1461	+0,86t	0,7424	$2,65 \cdot 10^{-5}$	0,0872
191 Ir *	11/2	6,026		8,352	0,360	9,350
(171 keV)						
192 Ir r	4	+1,880		3,5826	0,0159	2,244
193 Ir	3/2	+0,1591	+0,78t	0,8085	$3,42 \cdot 10^{-5}$	0,0949
194 Ir r	1	0,37		2,82	$7,75 \cdot 10^{-4}$	0,177
189 Pt r	3/2	0,41a		2,08	$5,86 \cdot 10^{-4}$	0,245
191 Pt r	3/2	0,45a		2,29	$7,75 \cdot 10^{-4}$	0,269
195 Pt	1/2	+0,60949		9,29172	0,0104	0,218
195 Pt *	13/2	0,597		0,700	$2,89 \cdot 10^{-4}$	1,069
(259 keV)						
197 Pt r	1/2	0,51		7,77	0,00609	0,183
188 Au r	1	0,064a		0,488	$4,01 \cdot 10^{-6}$	0,0306
190 Au r	1	0,066		0,503	$4,40 \cdot 10^{-6}$	0,0315
191 Au r	3/2	0,138		0,701	$2,23 \cdot 10^{-5}$	0,0824
192 Au r	1	0,0079		0,0602	$7,54 \cdot 10^{-9}$	0,00377
193 Au r	3/2	0,140		0,7114	$2,33 \cdot 10^{-5}$	0,0835
194 Au r	1	0,074		0,564	$6,20 \cdot 10^{-6}$	0,0353
195 Au r	3/2	0,148		0,752	$2,76 \cdot 10^{-5}$	0,0883
195 Au *	11/2	6,268a		8,687	0,405	9,725
(319 keV)						
196 Au r	2	+0,5914		2,2540	0,00119	0,424
196 Au *	12	5,35		3,40	0,106	16,602
(595 keV)						
197 Au	3/2	+0,148158	+0,547t	0,752893	$2,76 \cdot 10^{-5}$	0,0884
198 Au r	2	+0,5934		2,2616	0,00120	0,425
198 Au *	(12)	5,55		3,53	0,118	17,223
(812 keV)						
199 Au r	3/2	+0,2715		1,3797	$1,70 \cdot 10^{-4}$	0,162
200 Au *	12	6,10		3,875	0,157	18,929
(≈1000 keV)						
181 Hg r	1/2	+0,5071		7,7308	0,00599	0,182
183 Hg r	1/2	+0,524		7,988	0,00661	0,188
185 Hg r	1/2	+0,507		7,729	0,00598	0,182
187 Hg r	3/2	-0,593	-0,50s	3,013	0,00177	0,354
189 Hg *	3/2	-0,6086	-1,15s	3,0927	0,00192	0,363
((0)x)						
193 Hg r	3/2	-0,62757	-0,86s	3,18912	0,00210	0,375
193 Hg *	13/2	-1,058429	+1,08s	1,241217	0,00161	1,895
(141 keV)						
195 Hg r	1/2	+0,541475		8,254823	0,00729	0,194
195 Hg *	13/2	-1,044647	+1,27s	1,225055	0,00155	1,870
(176 keV)						
197 Hg r	1/2	+0,5273741		8,0398535	0,00673	0,189

## Fortsetzung T 8.14

Kern	Kernspin	$\mu/\mu_N$	$Q \cdot 10^{24}$ cm <sup>2</sup>	$\nu_0$ MHz	$(S/S_H)_{H_0=\text{const}}$	$(S/S_H)_{\nu_0=\text{const}}$
197 Hg *	13/2	-1,027684	+1,47s	1,205162	0,00147	1,840
(299 keV)						
199 Hg	1/2	+0,5058851		7,7122522	0,00594	0,181
199 Hg *	13/2	-1,014702	+1,40s	1,189938	0,00142	1,817
(532 keV)						
201 Hg	3/2	-0,560225	+0,39s	2,846889	0,00149	0,334
203 Hg r	5/2	+0,84895	+0,40s	2,58846	0,00262	0,709
205 Hg r	1/2	+0,6010		9,16229	0,00997	0,215
194 Tl r	2	0,14		0,53	$1,57 \cdot 10^{-5}$	0,100
195 Tl r	1/2	+1,66		25,3	0,210	0,594
196 Tl r	2	0,07		0,27	$1,97 \cdot 10^{-6}$	0,0501
197 Tl r	1/2	+1,66		25,3	0,210	0,594
198 Tl r	2	0,00		0,000	0,00	
198 Tl *	7	0,64		0,70	$3,27 \cdot 10^{-4}$	1,222
(544 keV)						
199 Tl r	1/2	+1,64		25,0	0,202	0,587
200 Tl r	2	0,04		0,15	$3,67 \cdot 10^{-7}$	0,0286
201 Tl r	1/2	+1,66		25,3	0,210	0,594
202 Tl r	2	0,06		0,23	$1,24 \cdot 10^{-6}$	0,0430
203 Tl	1/2	+1,622257		24,73142	0,196	0,581
204 Tl r	2	0,0908		0,3461	$4,30 \cdot 10^{-6}$	0,0650
205 Tl	1/2	+1,6382134		24,974673	0,202	0,587
207 Pb	1/2	+0,592582		9,033952	0,00955	0,212
203 Bi r	9/2	+4,62	-0,64u	7,83	0,205	6,065
204 Bi r	6	+4,28	-0,41u	5,44	0,117	7,152
205 Bi r	9/2	(+4,16		7,05	0,150	5,462
206 Bi r	6	+4,59	-0,19u	5,83	0,144	7,670
207 Bi r	9/2	4,63	-0,50	7,84	0,206	6,079
209 Bi	9/2	+4,1106	-0,37t	6,9629	0,144	5,397
210 Bi r	1	-0,0446	+0,13u	0,3400	$1,36 \cdot 10^{-6}$	0,0213
205 Po r	5/2	$\approx 0,26$	+0,17u	$\approx 0,79$	$\approx 7,53 \cdot 10^{-5}$	$\approx 0,217$
207 Po r	5/2	$\approx 0,27$	+0,28u	$\approx 0,82$	$\approx 8,43 \cdot 10^{-5}$	$\approx 0,226$
209 Po r	1/2	$\approx 0,77$		$\approx 11,7$	$\approx 0,0210$	$\approx 0,276$
227 Ac r	3/2	+1,1	+1,7	5,6	0,0113	0,656
229 Th r	5/2	+0,46	+4,3	1,40	$4,17 \cdot 10^{-4}$	0,384
231 Pa r	3/2	2,01		10,2	0,0690	1,199
233 Pa r	3/2	+3,5	-3,0	18	0,364	2,089
233 U r	5/2	+0,55	+3,5	1,68	$7,13 \cdot 10^{-4}$	0,460
235 U r	7/2	-0,35	+4,55t	0,76	$1,21 \cdot 10^{-4}$	0,376
237 Np r	5/2	+3,14	+4,1u	9,57	0,133	2,623
239 Pu r	1/2	+0,203		3,095	$3,84 \cdot 10^{-4}$	0,0727
241 Pu r	5/2	-0,714	+5,6u	2,177	0,00156	0,597
241 Am r	5/2	+1,61	+4,9u	4,91	0,0179	1,345
242 Am r	1	+0,3878	-2,76u	2,9560	$8,92 \cdot 10^{-4}$	0,185
243 Am r	5/2	+1,61	+4,9u	4,91	0,0179	1,345
243 Cm r	5/2	0,41		1,25	$2,95 \cdot 10^{-4}$	0,343
245 Cm r	7/2	0,5		1,1	$3,51 \cdot 10^{-4}$	0,537
247 Cm r	9/2	0,37		0,63	$1,05 \cdot 10^{-4}$	0,486
249 Bk r	7/2	2,0	+5,79	4,36	0,0225	2,148
253 Es r	7/2	+4,10a	6,7s	8,929	0,194	4,404
254 Es *	2	2,90a	3,7s	11,05	0,140	2,077
(78 keV)						
freies		-1838,281		28024,71	$2,852 \cdot 10^8$	658,2
Elektron		$g_c = 2,0023193134$				
Charred Dextrose		$g = 2,0025917 \pm 2,5 \cdot 10^{-6}$ (Kalibrierungsstandard)				

### 8.15 Ionenleitfähigkeiten $\Lambda_{\infty}^+$ , $\Lambda_{\infty}^-$ in wässriger Lösung – Ionic conductivities $\Lambda_{\infty}^+$ , $\Lambda_{\infty}^-$ in aqueous solutions (W. Seidel)

$\Lambda$  in  $10^{-4} \text{ m}^2 \Omega^{-1} \text{ mol}^{-1}$ ;  $T$  in K.

$$278 \text{ K} \leq T \leq 328 \text{ K}: \Lambda_{\infty}(T) = \Lambda_{\infty}(298) + a \cdot (T - 298) + b \cdot (T - 298)^2 + c \cdot (T - 298)^3$$

	$\Lambda_{\infty}(298)$	$a$ in $10^{-4} \text{ m}^2 \Omega^{-1} \text{ mol}^{-1} \text{ K}^{-1}$	$b$ in $10^{-6} \text{ m}^2 \Omega^{-1} \text{ mol}^{-1} \text{ K}^{-2}$	$c$ in $10^{-8} \text{ m}^2 \Omega^{-1} \text{ mol}^{-1} \text{ K}^{-3}$			
H <sup>+</sup>	349,85	4,81595	-1,03125		-0,7670		
Li <sup>+</sup>	38,64	0,88986	0,44075		-0,2042		
Na <sup>+</sup>	50,15	1,09160	0,47150		-0,1150		
K <sup>+</sup>	73,50	1,43262	0,40563		-0,3183		
Cl <sup>-</sup>	76,35	1,54037	0,4650		-0,1285		
Br <sup>-</sup>	78,17	1,54370	0,4470		-0,230		
J <sup>-</sup>	76,85	1,50893	0,4375		-0,2170		
		273 K	291 K	298 K	323 K	348 K	373 K
Ag <sup>+</sup>		33	53,86	62,2	101	143	180
NH <sub>4</sub> <sup>+</sup>		40,3	64,67	73,7	115	159	207
N(CH <sub>3</sub> ) <sub>4</sub> <sup>+</sup>		23,0	39,72	44,82		363K: 121,0	
Mg <sup>2+</sup>		31	46,0	53,06			170
Ca <sup>2+</sup>		30,5	51,41	59,06	98	142	187
Cu <sup>2+</sup>		28,0	45,7	55,5			
Zn <sup>2+</sup>		27,0	47,0	54	93,2		
OH <sup>-</sup>		105	174	197	284	360	449
NO <sub>3</sub> <sup>-</sup>		40,2	62,04	71,42	106,7		189
ClO <sub>4</sub> <sup>-</sup>		36,5	59,1	67,94			183
SO <sub>4</sub> <sup>2-</sup>		40,7	68,3	80,8	125	177	256

Literatur: Falkenhagen, H.; Kelbg, G.; Schmutzer, E. (1960): In: Landolt-Börnstein, Zahlenwerte u. Funktionen, 6. Aufl. 2. Bd., Teil 7, S.257–268; Berlin, Göttingen, Heidelberg: Springer. Weitere Daten: ELDAR, Detherm-Datenbank, Frankfurt: Dechema.

### 8.16 Leitfähigkeit von Salzschnmelzen – Conductivity of molten salts (W. Seidel)

Temperaturen  $T$  in K; spez. Leitfähigkeit  $\sigma$  in  $\Omega^{-1} \text{ m}^{-1}$ .

$T$	NaCl	Na <sub>2</sub> SO <sub>4</sub>	NaNO <sub>3</sub>	Na <sub>3</sub> PO <sub>4</sub>	KCl	KNO <sub>3</sub>	MgCl <sub>2</sub>	CaCl <sub>2</sub>	AgNO <sub>3</sub>	AgCl	ZnCl <sub>2</sub>	LaCl <sub>3</sub>
523									85			
573									106			
623			115			66			127			
673			135			81					1,48	
723			156			97					4,48	
773			176			112					8,38	
823										419	15,6	
873										429	23,6	
923										439	31,2	
973										450		
1023				55			109			480		
1073	358						119	221		490		
1123	375				80	225	129	238				
1173	391	223			247	256	137	256				
1223	405	237			256	265	144	271				130
1273	417	250			265	273	155					140
1323	429	264			273							160
1373	439	277			280							170

Literatur: Drossbach, P. (1960): In: Landolt-Börnstein: Zahlenwerte u. Funktionen, 6. Aufl. 2. Bd., Teil 7, S.1–5. Berlin, Göttingen, Heidelberg: Springer.

### 8.17 Überführungszahlen $t_i$ der Ionen in festen Leitern – Transference numbers $t_i$ of ions in solid conductors (W. Seidel)

Temperaturen  $T$  in K;  $\sigma = \sigma_0 \cdot \exp(-E^*/RT)$  in  $\Omega^{-1}\text{m}^{-1}$  (vgl. Gl. (8.147)); relative Aktivierungsenergie  $E^*/R$  in K.  
 Probenart: E = Einkristall; S = erstarrte Schmelze; P = Preßkörper.

Leitungsart: EL = Eigenleitung; ST = Störleitung.

Substanz	$T$	Überführungszahl	Spezifische Leitfähigkeit nach Gl. (8.147)			
			$\sigma_0$	$E^*/R$	$T$	P-, L-Art
LiCl	500 < $T$ < 1100	$t_{\text{Li}^+} \approx 1$	$5 \cdot 10^9$ $1,15 \cdot 10^2$	19 100 6 850	< 879 $303 \leq T \leq 623$	E, EL S, ST
NaCl	698	$t_{\text{Na}^+} = 1 - t_{\text{Cl}^-}$ 1,0	$1 \cdot 10^8$	21 900	< 1073	E, EL
	773	0,98				
	823	0,94	$3,6 \cdot 10^2$	10 200	$643 \leq T \leq 833$	P, ST
	853	0,92				
	873	0,91				
KCl	723	$t_{\text{K}^+} = 1 - t_{\text{Cl}^-}$ 0,96	$2 \cdot 10^8$	23 700	< 1041	E, EL
	773	0,93				
	823	0,91	$2 \cdot 10^2$	11 500	$523 \leq T \leq 723$	P, ST
	873	0,88				
	923	0,85				
	973	0,83				
KBr	878	$t_{\text{K}^+} = 1 - t_{\text{Br}^-}$ 0,5	$1,5 \cdot 10^8$ $9,5 \cdot 10^2$	22 700 9 900	1001 $493 \leq T \leq 673$	E, EL P, ST
		PbJ <sub>2</sub>	$t_{\text{Pb}^{2+}} = 1 - t_{\text{J}^-}$ $4 \cdot 10^{-3}$	$\left. \begin{array}{l} \text{J}^-: \\ 9,79 \cdot 10^{-2} \\ \text{Pb}^{2+}: \\ 1,15 \cdot 10^7 \end{array} \right\}$	4 710 15 100	$423 \leq T \leq 648$
$3 \cdot 10^{-2}$						
0,12						
0,33						
0,45						
0,6						
0,82						
0,97						
CuCl	313 451 470 498 505 517 527 573	$t_{\text{Cu}^+} = 1 - t_{\text{e}^-}$ 0,02				
		0,05				
		0,12				
		0,39				
		0,50				
		0,78				
		0,90				
		0,99				
Cu <sub>2</sub> O	1073 1173 1273 1273	$t_{\text{Cu}^+} = 1 - t_{\text{e}^-}$ $2,2 \cdot 10^{-4}$				
		$3,5 \cdot 10^{-4}$				
		$5 \cdot 10^{-4}$				
		$5 \cdot 10^{-4}$				
		bei 0,7 mbar O <sub>2</sub> bei 5,2 mbar O <sub>2</sub> bei 0,85 mbar O <sub>2</sub> bei 56 mbar O <sub>2</sub>				
FeO	1273	$t_{\text{Fe}^{2+}} = 1 - t_{\text{e}^-}$ $1,1 \cdot 10^{-3}$				bei Fe <sub>2</sub> O <sub>3</sub> -Zersetzungsdruck

## Fortsetzung T 8.17

Substanz	T	Überföhrungs- zahl	Spezifische Leitfähigkeit nach Gl. (8.147)			P-, L-Art
			$\sigma_0$	$E^*/R$	T	
FeS	943	$t_{\text{Fe}^{2+}} = 1 - t_{e^-}$ $1 \cdot 10^{-3}$	133 mbar $\lesssim p_{\text{S}_2} \leq 1013$ mbar			
TiO <sub>2</sub>	1123	$t_{\text{Ti}^{4+}} = 10^{-5}$ $t_{\text{O}^{2-}} = 10^{-3}$				
$\gamma$ -CuJ	528 573 598 623 648 673	$t_{\text{Cu}^+} = 1 - t_{J^-}$ 0,01 0,25 0,5 0,75 0,98 1,0		17 500	<637	S, Ionenleitungs- komponente

Literatur: Jost, W.; Weiss, K.; Wagner, H.G. (1959): in Landolt-Börnstein: Zahlenwerte und Funktionen, 6. Aufl. 2. Bd., Teil 6, S. 223–248. Berlin, Göttingen, Heidelberg: Springer

### 8.18 Spezifische Leitfähigkeit wässriger KCl-Lösungen – Specific conductivities of aqueous KCl-solutions (W. Seidel)

Eichlösungen g KCl in 1 kg Lösung	$\sigma$ in $\Omega^{-1}\text{m}^{-1}$ T = 291 K			T = 293 K			T = 298 K		
	71,3828 g	9,8200	$\pm 0,00009$	10,2024	$\pm 0,00007$	11,1733	$\pm 0,0011$		
7,43344 g	1,11919	$\pm 0,00011$	1,16676	$\pm 0,00007$	1,2886	$\pm 0,0001$			
0,746558 g	0,122269	$\pm 0,0000016$	0,12757	$\pm 0,00002$	0,141145	$\pm 0,00002$			

Konzentration in mol dm <sup>-3</sup>	Temperatur 298 K									
	$1 \cdot 10^{-3}$	$5 \cdot 10^{-3}$	$1 \cdot 10^{-2}$	$5 \cdot 10^{-2}$	0,1	0,5	1,0	2,005	3,0	3,959
$\Omega^{-1}\text{m}^{-1}$	0,014695	0,071795	0,1413	0,66685	1,2896	5,860	11,19	21,215	30,114	37,448

Literatur: Falkenhagen, H.; Kelbg, G.; Schmutzer, E. (1960): In: Landolt-Börnstein: Zahlenwerte u. Funktionen, 6. Aufl. 2. Bd., Teil 7, S. 27–89. Berlin, Göttingen, Heidelberg: Springer.

### 8.19 Standard-Redoxpotentiale in wässrigem Elektrolyten in V (bezogen auf die Standard-Wasserstoffelektrode) – Standard potentials in aqueous solution in V (vs. the standard hydrogen electrode) (B. Kastening)

T = 298 K. Aktivitäten  $a_i = 1$  (siehe 8.6.2.7). Bei Formulierung der Redoxsysteme ist H<sub>2</sub>O weggelassen.

Li/Li <sup>+</sup>	-3,045	Pb/Pb <sup>2+</sup>	-0,126
Na/Na <sup>+</sup>	-2,714	H <sub>2</sub> /2H <sup>+</sup>	0,000
Mg/Mg <sup>2+</sup>	-2,356	CH <sub>3</sub> OH/HCOOH+4H <sup>+</sup> 2)	+0,100
Al+4OH <sup>-</sup> /Al(OH) <sub>4</sub> <sup>-</sup>	-2,310	Cu/Cu <sup>2+</sup>	+0,340
Al/Al <sup>3+</sup>	-1,676	Fe(CN) <sub>6</sub> <sup>4-</sup> /Fe(CN) <sub>6</sub> <sup>3-</sup>	+0,361
H <sub>2</sub> +2OH <sup>-</sup> /2H <sub>2</sub> O	-0,828	4OH <sup>-</sup> /O <sub>2</sub>	+0,401
Zn/Zn <sup>2+</sup>	-0,763	2I <sup>-</sup> /I <sub>2</sub>	+0,536
(COOH) <sub>2</sub> /2CO <sub>2</sub> +2H <sup>+</sup> 2)	-0,481	Br <sup>-</sup> +6OH <sup>-</sup> /BrO <sub>3</sub> <sup>-</sup>	+0,584
Fe/Fe <sup>2+</sup>	-0,44	MnO <sub>2</sub> +4OH <sup>-</sup> /MnO <sub>4</sub> <sup>-</sup>	+0,62
Cd/Cd <sup>2+</sup>	-0,403	H <sub>2</sub> Q/Q+2H <sup>+</sup> 1)	+0,700

## Fortsetzung T 8.19

$\text{Fe}^{2+}/\text{Fe}^{3+}$	+0,771	$2\text{Cr}^{3+}/\text{Cr}_2\text{O}_7^{2-}+14\text{H}^+$	+1,36
$\text{Ag}/\text{Ag}^+$	+0,799	$\text{Mn}^{2+}/\text{MnO}_4^-+8\text{H}^+$	+1,51
$2\text{Br}^-/\text{Br}_2$	+1,065	$\text{Ce}^{3+}/\text{Ce}^{4+}$	+1,72
$2\text{H}_2\text{O}/\text{O}_2+4\text{H}^+$	+1,229	$2\text{SO}_4^{2-}/\text{S}_2\text{O}_8^{2-}$	+1,96
$2\text{Cl}^-/\text{Cl}_2$	+1,358	$2\text{F}^-/\text{F}_2$	+2,87

<sup>1)</sup>  $\text{H}_2\text{Q}$ : p-Benzohydrochinon; Q: p-Benzochinon.

<sup>2)</sup> Beispiele organisch-chemischer Redox-Reaktionen, zumeist irreversibel.

Literatur: Bard, A.J.; Parsons, R.; Jordan, J.(1985): Standard Potentials in Aqueous Solution. New York, Basel: Marcel Dekker. Weast, R. (ed.) (1979): CRC Handbook of Chemistry and Physics. 59th edition, D-196. Boca Raton, FL: CRC Press.

## 8.20 Nullladungspotentiale in V (gegen die Standard-Wasserstoffelektrode) – Potentials of zero charge in V (vs. the standard hydrogen electrode) (B. Kastening)

Ag	0,01 M $\text{Na}_2\text{SO}_4$	-0,7
Al	0,01 M KCl	-0,52
Au	0,01 M $\text{Na}_2\text{SO}_4$	+0,23
	1 M $\text{NaClO}_4$ + 0,005 M $\text{HClO}_4$	+0,3
Bi	0,01 M KCl	-0,36
C (akt)	0,5 M $\text{Na}_2\text{SO}_4$ + 0,005 M $\text{H}_2\text{SO}_4$	+0,07
Cd	0,001 M KCl	-0,9
Co	0,01 M $\text{Na}_2\text{SO}_4$	-0,32
Cu	0,01 M $\text{Na}_2\text{SO}_4$	+0,03
	0,1 M NaOH	+0,05
Fe	0,005 M $\text{H}_2\text{SO}_4$	-0,37
Ga	1 M $\text{NaClO}_4$ + 0,1 M $\text{HClO}_4$	-0,61
Hg	0,01 M NaF	-0,19
In <sup>1)</sup>	0,5 M $\text{Na}_2\text{SO}_4$ + 0,005 M $\text{H}_2\text{SO}_4$	-0,65
Na <sup>1)</sup>	0,05 M $\text{N}(\text{CH}_3)_4\text{I}$ + 0,1 M NaOH	-1,85
Pb	0,0005 M $\text{K}_2\text{SO}_4$	-0,64
$\text{PbO}_2$	0,005 M $\text{H}_2\text{SO}_4$	+1,8
Pt	0,025 M $\text{H}_2\text{SO}_4$	+0,12
	0,003 M $\text{HClO}_4$	+0,41
Sb	0,1 M HCl	-0,19
Sn	0,001 M $\text{KClO}_4$	-0,46
Tl	0,001 M KCl	-0,82
Tl <sup>1)</sup>	0,5 M $\text{Na}_2\text{SO}_4$	-0,65

<sup>1)</sup> als Amalgam (41,5% Tl bzw. 0,3% Na)

Literatur: Koryta, J.; Dvořák, J.; Boháčková, V. (1975): Lehrbuch der Elektrochemie. Wien, New York: Springer-Verlag. Bockris, J.O'M.; Reddy, A.K.N. (1974): Modern Electrochemistry. Vol.2. New York: Plenum Press.

### 8.21 Kinetische Daten ausgewählter Redox-Reaktionen an verschiedenen Metallen in wäßriger Lösung<sup>1)</sup> – Kinetic data of selected redox reactions at various metals in aqueous solutions<sup>1)</sup> (B. Kastening)

$J^0$ : Austauschstromdichte in A/m<sup>2</sup>.  $\alpha$ : Durchtrittsfaktor.

Redox-Reaktion	Temp. °C	Elektrode	Elektrolyt	$J^0$	$\alpha$
Ag/Ag <sup>+</sup>	20	Ag	1 M HClO <sub>4</sub>	$1,34 \cdot 10^5$	0,65
Cd/Cd <sup>2+</sup>	20	Cd	0,4 M K <sub>2</sub> SO <sub>4</sub>	$1,9 \cdot 10^2$	0,55
Ce <sup>3+</sup> /Ce <sup>4+</sup>	25	Pt	H <sub>2</sub> SO <sub>4</sub>	$4,0 \cdot 10^{-1}$	
Cr <sup>2+</sup> /Cr <sup>3+</sup>	25	Hg	KCl	$1,0 \cdot 10^{-2}$	
Cu/Cu <sup>2+</sup>	20	Cu	1 M CuSO <sub>4</sub>	$2,0 \cdot 10^{-1}$	0,5
Fe/Fe <sup>2+</sup>	20	Fe	1 M FeSO <sub>4</sub>	$1,0 \cdot 10^{-4}$	0,5
Fe <sup>2+</sup> /Fe <sup>3+</sup>	25	Pt	1 M HClO <sub>4</sub>	$4,0 \cdot 10^3$	0,58
Fe(CN) <sub>6</sub> <sup>4-</sup> / Fe(CN) <sub>6</sub> <sup>3-</sup>	25	Pt	0,5 M K <sub>2</sub> SO <sub>4</sub>	5	0,49
½H <sub>2</sub> /H <sup>+</sup>	20	Ag	1 M HCl	2	0,45
½H <sub>2</sub> /H <sup>+</sup>	25	Al	1 M H <sub>2</sub> SO <sub>4</sub>	$1 \cdot 10^{-6}$	0,59
½H <sub>2</sub> /H <sup>+</sup>	25	Au	H <sub>2</sub> SO <sub>4</sub>	2,5	
½H <sub>2</sub> /H <sup>+</sup>	20	Cu	1 M HCl	$1,7 \cdot 10^{-3}$	0,5
½H <sub>2</sub> /H <sup>+</sup>	20	Fe	1 M HCl	$1 \cdot 10^{-2}$	0,4
½H <sub>2</sub> /H <sup>+</sup>	20	Hg	1 M HCl	$2 \cdot 10^{-8}$	0,5
½H <sub>2</sub> +OH <sup>-</sup> /H <sub>2</sub> O	20	Hg	0,1 M NaOH	$2,5 \cdot 10^{-11}$	0,59
½H <sub>2</sub> /H <sup>+</sup>	20	Ni	1 M HCl	$4 \cdot 10^{-2}$	0,5
½H <sub>2</sub> /H <sup>+</sup>	20	Pd	1 M HCl	2	2,0 <sup>2)</sup>
½H <sub>2</sub> /H <sup>+</sup>	25	Pt	1 M H <sub>2</sub> SO <sub>4</sub>	$1,0 \cdot 10^1$	0,5
½H <sub>2</sub> +OH <sup>-</sup> /H <sub>2</sub> O	25	Pt	1 M KOH	$1,0 \cdot 10^1$	0,5
½H <sub>2</sub> /H <sup>+</sup>	20	Sn	1 M HCl	$1 \cdot 10^{-4}$	0,4
½H <sub>2</sub> /H <sup>+</sup>	20	W	1 M HCl	$1 \cdot 10^{-2}$	1,5 <sup>2)</sup>
Ni/Ni <sup>2+</sup>	20	Ni	1 M NiSO <sub>4</sub>	$2 \cdot 10^{-5}$	0,5
2H <sub>2</sub> O/O <sub>2</sub> +4H <sup>+</sup>	25	Pt	1 M H <sub>2</sub> SO <sub>4</sub>	$1 \cdot 10^{-2}$	0,25
4OH <sup>-</sup> /O <sub>2</sub>	25	Pt	1 M KOH	$1 \cdot 10^{-2}$	0,3
Ti <sup>3+</sup> /Ti <sup>4+</sup>	25	Pt	1 M Weinsäure	$9 \cdot 10^3$	0,55
Zn/Zn <sup>2+</sup>	20	Zn	1 M ZnSO <sub>4</sub>	$2 \cdot 10^{-1}$	0,5

<sup>1)</sup> Die kinetischen Parameter hängen stark von der Oberflächenbeschaffenheit des Metalls ab.

<sup>2)</sup> Werte  $\alpha > 1$  weisen auf ein dem geschwindigkeitsbestimmenden Schritt vorgelagertes, potentialabhängiges Gleichgewicht hin.

Literatur: Parsons, R. (1959): Handbook of Electrochemical Constants. London: Butterworths. Bockris, J.O'M.; Reddy, A.K.N. (1974): Modern Electrochemistry. Vol. 2. New York: Plenum Press. Hamann, C.H.; Vielstich, W. (1981): Elektrochemie II. Weinheim: Verlag Chemie. Rieger, P.H. (1987): Electrochemistry. Englewood Cliffs, NJ: Prentice-Hall.

## 8.22 Permittivitätszahlen und Verlustfaktoren wichtiger Isolierstoffe bei Raumtemperatur, falls nicht anders angegeben – *Permittivities and loss factors of important insulating materials at room temperature* (P. Thoma)

Die Zahl hinter dem Buchstaben E ist der Exponent zur Basis 10.

Material bzw. Handelsname	Permittivitätszahl $\epsilon_r$	Verlustfaktoren $\tan \delta$		
		50 Hz	1 MHz	10 GHz
<b>a) Technische Isolierstoffe</b>				
Bernstein	2,2 bis 2,9	0,05		
Quarzgit (aus Quarzsand erschmolzen)	3,5 bis 3,7	0,002 bis 0,0006	0,0015 bis 0,0005	0,0012 bis 0,0004
Quarzglas (aus ein kristallinem SiO <sub>2</sub> erschmolzen) (50 °C)	3,70 bis 3,83	2,8E-4 bis 8,2E-5	1,4E-4 bis 8,8E-5	3,5E-4 bis E-4
Ultrasil (DR)	3,7 bis 3,8	1,2E-4 bis 9,8E-5	1,32E-4 bis 8,8E-5	2,4E-4 bis 6E-5
Acrylgläser (Plexiglas, Plexidur)	2,54 bis 5,2	0,06	0,032 bis 0,012	8E-3 bis 3E-3
Glimmer (Mineral)	5 bis 9	5E-4 bis 2E-5	5E-4 bis 2E-5	
Hartgummi	3 bis 4	0,005 bis 0,003	0,009 bis 0,005	
Hartporzellan	5 bis 6,5	0,003 bis 0,002	0,001 bis 0,0005	
<b>b) Glaskeramiken</b>				
Zerodur	7,6	0,013	0,015	
Mexim (Alsthom-Glaskeramik) (DR)	4,32 bis 5,72	4E-4 bis E-4	4E-4 bis E-4	4E-4 bis E-4
SrTiO <sub>3</sub> (Glaskeramik)	61 bis 68	0,003	0,0154	0,015
Alkali-Calciumsilikat	5 bis 7	0,02 bis 0,015	0,015	
Aluminium-Calciumsilikat	6 bis 7	0,002 bis 0,0016	0,003 bis 0,002	
Blei-Alkalisilikat	6 bis 8,5	0,003 bis 0,002	0,012 bis 0,008	
Borsilikat	5	0,02 bis 0,015	0,01 bis 0,005	
<b>c) Isolierkeramiken</b>				
BeO	3,3 bis 6,4	0,017 bis 3E-4	0,0038 bis 4E-4	1,5E-3 bis 5E-4
AlN	9,8 bis 10,7	0,054 bis 5E-4	0,002 bis 2E-4	0,0039
Al <sub>2</sub> O <sub>3</sub>	8,4 bis 9,7	2E-3 bis 4E-4	3E-4 bis E-4	6E-4 bis 3E-4
<b>d) Ferroelektrische Keramiken und Einkristalle für Speicherzellen und Kondensatoren</b>				
BaTiO <sub>3</sub> (220 bis 373 K)	1150 bis 8100	0,008 bis 0,02	0,002 bis 0,01	0,4 bis 0,5
Ba(Pb, Bi)O <sub>3</sub> (Mischeinkristall) (4,2 bis 700 K)	120 bis 2,2E+5	0,008 bis 0,12	0,007 bis 0,09	
TiO <sub>2</sub> Rutil (Einkristall)	25 bis 87	0,01 bis 0,007	0,0004 bis 0,0001	
TiO <sub>2</sub> (Keramik Dupont R200) (DR) (273 bis 351 K)	103 bis 97	0,0023 bis 0,013	3E-4 bis 4,5E-4	2E-4 bis 2E-3

## Fortsetzung T 8.22

Material bzw. Handelsname	Permittivitätszahl $\epsilon_r$	Verlustfaktoren $\tan \delta$		
		50 Hz	1 MHz	10 GHz
Pb(Mg, Nb)O <sub>3</sub> (PMN) (223 K) (300 K)	3200 bis 1800 1,4E+4 bis 1,8E+4 9000	0,06 bis 0,05 0,07 bis 0,06	0,1 bis 0,08 0,12 bis 0,11	
(335 K) Mg <sub>2</sub> SiO <sub>4</sub> (Steatit 410) (DR) (273 bis 345 K) andere Typen (Pb, Zr)TiO <sub>4</sub> (PZT) (0 bis 20 kV/cm) MgTiO <sub>3</sub> (DR) (15 bis 25 °C)	5,77 bis 5,70 5,1 bis 7,0 130 bis 3400 13,7 bis 13,9	0,0055 bis 0,0050 0,01 bis 0,005 0,02 bis 0,004 4E-4	0,0006 0,0012 bis 0,0006 0,03 bis 0,02 4E-4	0,0022 bis 0,00089 0,0031 bis 0,00089
CaTiO <sub>3</sub> (82 °C) (Mg, Ca)TiO <sub>3</sub> (233 bis 373 K) (Zr, Sn)TiO <sub>4</sub> (233 bis 373 K)	167 157 22 bis 25 39	0,0021 bis 0,0013 0,04 0,005 bis 0,0016 3E-4 bis 9E-5	0,0002 0,0006 0,005 bis 0,0016 5E-5	0,0085 bis 0,0028 0,0007 bis 0,0003 3E-5 bis 4E-5
LiNbO <sub>3</sub> (Einkristallscheiben) (600 K)	27,9 bis 85,2 5,2E+3 bis 5,4E+3	0,001 bis 0,003	0,006 bis 0,23	0,07 bis 0,09
LiTaO <sub>3</sub> (Einkristallscheiben) (630 bis 930 °C)	38 bis 54 E+4 bis 2E+7	0,001 0,5 bis 0,1	0,004 0,5 bis 0,1	0,001 bis 0,008
KSbSiO <sub>4</sub> (273 bis 565 K) (632 bis 730 K) (Sr, Ba)Nb <sub>2</sub> O <sub>6</sub> (273 bis 393 K) (Pb, Mg) <sub>2</sub> Nb <sub>2</sub> O <sub>7</sub> (0 bis 3 kV/cm)	15 260 bis 130 500 bis 7,8E+4 21000 bis 80	0,32 0,08 bis 0,018 0,02 bis 0,8 0,06 bis 0,1	0,02 0,01 bis 0,0046 0,03 bis 0,8 0,06 bis 0,1	0,01 bis 0,7
Bi <sub>4</sub> V <sub>2</sub> O <sub>11</sub> (300 bis 900 K)	33 bis 79	0,04 bis 0,1	0,04 bis 0,175	0,05 bis 0,01
BaFe <sub>12</sub> O <sub>19</sub> Ferrit (4,2 bis 293 K) BaTiFe <sub>4</sub> O <sub>11</sub> Ferrit (4,2 bis 293 K)	320 bis E+5 50 bis 900	0,1 0,08	0,1 0,08	
Bi <sub>2</sub> WO <sub>6</sub> (4,2 bis 350 K) (Ni, Zn)Fe <sub>2</sub> O <sub>5</sub> Ferrit	64 bis 140 450 bis 200	0,3 bis 0,4 0,5 bis 0,3	0,3 bis 0,5 0,4 bis 0,3	
NbSe <sub>3</sub> (60 bis 110 K) (E > 0,1 V/cm)	2E+8			
K <sub>0,3</sub> MoO <sub>3</sub> (60 bis 110 K) Sn <sub>2</sub> P <sub>2</sub> S <sub>6</sub> (60 K) (340 bis 400 K)	3,46E+7 bis 3,89E+6 100 2,4E+4 bis 500			
		0,065 0,17 bis 0,08	0,065 0,17 bis 0,08	0,07 0,18 bis 0,08

## Fortsetzung T 8.22

Material bzw. Handelsname	Permittivitätszahl $\epsilon_r$	Verlustfaktoren $\tan \delta$		
		50 Hz	1 MHz	10 GHz
<b>e) Ferroelektrische Gläser</b>				
V <sub>2</sub> O <sub>5</sub> -TeO <sub>2</sub> (Mischglas)	80 bis 180	0,1 bis 0,08	0,008	
LiTaO <sub>3</sub> (273 bis 300 K) (600 K)	41 bis 49 32000	0,001 0,6	0,001 0,6	
(K, Li)TaO <sub>3</sub> (0,1 bis 1 kV/mm)	1,5E+4 bis 2E+3	0,16	0,15	
<b>f) Pyroelektrische Gläser</b>				
BaAl <sub>2</sub> O <sub>4</sub> (123 bis 593 K)	7,2 bis 16,9	0,001 bis 0,02	0,0008 bis 0,008	
LiNbO <sub>3</sub> (273 bis 300 K) (600 K)	32 bis 65 51000	0,001 bis 0,006	0,004 bis 0,008	0,08 bis 0,1
<b>g) Substrate und Wafer für die Halbleitertechnik</b>				
Al <sub>2</sub> O <sub>3</sub> Sinterpresslinge	8,4 bis 9,5	5E-3 bis 4E-4	E-3 bis 4E-4	3,5E-4 bis 6E-5
Al <sub>2</sub> O <sub>3</sub> Einkristallscheiben (4,2 bis 300 K)	8,8 bis 9,4	1,8E-3 bis E-4	8E-5 bis 3E-4	6E-5 bis 8E-6
GeO <sub>2</sub>	8,0 bis 11,58	2E-6 bis 1,6E-3	2E-6 bis 1,8E-4	2E-6 bis 6E-5
Ge (100 bis 473 K)	39,8 11,4 bis 16,0	0,53	0,66 0,005 bis 0,9	0,0018 bis 0,76
NdPO <sub>4</sub> (Keramik)	7	4E-3 bis 6E-4	4E-3 bis 6E-4	
MgO, Einkristallscheiben (300 K) (77 K) (4,2 K)	8,8 bis 10,8 9,6 9,6	0,016 bis 0,0002 2,5E-4 bis 6E-5 < 2E-5	0,008 bis 0,0005 2,5E-4 bis 4E-5 < 2E-5	0,0025 bis 0,0009 9E-5 bis 4E-5 < 2E-5
Si (DR) (100 bis 473 K)	11,8 bis 13		5E-4 bis 0,02	0,0016 bis 0,039
SiC	6,53 bis 6,7	0,032	0,036	
MgAl <sub>2</sub> O <sub>4</sub> (Isometrischer Spinelkristall) (DR)	8,17 bis 8,57	0,0009 bis 0,0006	0,0011 bis 0,0008	
GaAs (100 bis 473 K)	11,2 bis 13,5 10,6 bis 13,5	2E-3 bis 8E-4 7E-5 bis 2E-3	0,02 bis 0,008 2E-4 bis 0,07	0,007 bis 0,0006 0,0001 bis 0,03
<b>h) Stark wärmeleitende, dünne Isolierfilme und Scheiben für die Halbleitertechnik</b>				
Diamant, polykrist. (Quasidiamant)	7,5 bis 9,5	< 0,0001	< 0,00001	< 0,0001
Diamant (Einkristallscheiben, isometrisch)	5,5 bis 5,7	< 0,0001	< 0,00001	< 0,0001
B <sub>4</sub> C (4,8 bis 46 K)	12 bis 3200	0,004 bis 0,15	0,002 bis 0,08	
BN	3,5	5E-4 bis 0,002	6E-5 bis 3E-4	
Al <sub>2</sub> O <sub>3</sub> polykrist.	9,3 bis 11,7	0,005 bis 0,0004	5E-4 bis 3E-4	E-4 bis 3E-4
SiO <sub>2</sub> polykrist.	3,75 bis 6,0	0,02 bis 0,0006	0,02 bis 0,0002	8,5E-3 bis E-4
SiO <sub>0,25</sub> N <sub>1,5</sub>	2,18 bis 2,5	0,032	0,036	0,02
GaN polykrist.	12,4 bis 18	0,0097	0,0066	0,005
AlN polykrist.	6,2 bis 9,6	0,0003 bis 0,002	0,0005 bis 0,003	3,2E-4
Si <sub>3</sub> N <sub>4</sub> polykrist.	5,5 bis 8,9	0,29 bis 0,08	0,085 bis 0,007	0,015

## Fortsetzung T 8.22

Material bzw. Handelsname	Permittivitätszahl $\epsilon_r$	Verlustfaktoren $\tan \delta$		
		50 Hz	1 MHz	10 GHz
<i>i) Substrate für Hochtemperatursupraleiter</i>				
YZrO <sub>3</sub> (Ceraflex)	30 bis 23	0,0037	0,0037	
SrTiO <sub>3</sub> (Einkristallscheiben) (300 K) (77 K) (4,2 K)	140 bis 310 1900 2E+4	0,12 bis 0,02 0,02 bis 0,004 0,006 bis 0,0003	0,008 bis 0,0003 0,02 bis 0,003 0,0008 bis 8E-5	0,03 bis 0,0003 0,002 bis 6E-5
ZrO <sub>2</sub> (Einkristallscheiben) (300 K) (77 K) (4,2 K)	38 bis 40 28 25	0,03 0,016 2E-4	0,016 0,002 2E-4	0,004 8E-4 4E-4
LaAlO <sub>3</sub> (Einkristallscheiben) (273 bis 300 K) (4,2 bis 90 K)	15,2 26,3 bis 22	0,00052 bis 0,0007 8E-6 bis 2E-5	0,00056 bis 0,00065 8E-6 bis 2E-5	0,00058 bis 0,0007 2,5E-6 bis 4E-5
NdGaO <sub>3</sub> (Einkristallscheiben)	20 bis 25			
LaGaO <sub>3</sub> (Einkristallscheiben) (4,2 bis 300 K)	25	8E-5 bis 2E-3	E-5 bis 1,8E-3	3E-6 bis 8E-4
<i>k) Platinenmaterial</i>				
Cufflon Streifenleitersubstrat (DR) (Teflon)	2,1	1E-4	1E-4	6,6E-4 bis 4,5E-4
Diaclad Glasfaserteflon	2,3 bis 2,6	0,001	0,001	0,0008 bis 0,0025
Diaclad Teflonkeramik	10,2 bis 10,5	0,0025	0,0025	0,0025 bis 0,001
Duroid Streifenleitersubstrate (mit Teflon)	2,2 2,5 2,94	8E-4 bis 5E-4 8E-4 bis 5E-4 8E-4 bis 5E-4	8E-4 bis 4E-4 8E-4 bis 4E-4 8E-4 bis 4E-4	9E-4 2,2E-3 2,3E-3
(mit Korundpulver)	10,2	7E-4 bis 5E-4	7E-4 bis 5E-4	1,2E-3
<i>l) Dielektrika für Hoch-C Kondensatoren bzw. Ladungssammler</i>				
Ta <sub>2</sub> O <sub>5</sub> (-55 bis 100 °C)	5 bis 25	0,15 bis 0,02	0,08 bis 0,006	
SrTiO <sub>3</sub> polykrist. (20 bis 1000 °C)	140 bis 210	0,08 bis 0,001	0,01 bis 0,006	0,008 bis 0,004
Cd <sub>2</sub> Nb <sub>2</sub> O <sub>7</sub> (pyroel. Keramik) (290 bis 470 K)	800 bis 360	0,0022 bis 0,004	0,008 bis 0,017	
<i>m) Plastomere Isolierstoffe</i>				
Celluloseacetat	3,4 bis 5,5	0,01 bis 0,005	0,021 bis 0,064	
Polyäthylen	2,15 bis 2,32	0,0002	2E-5	6E-6 bis 4E-5
Polyäthylenterephthalat	4	0,02		
Polymethylpenten	2,1	0,0004	0,0005	
Polypropylen	2,2	0,0004	0,0005	
Polystyrol	2,5 bis 3,1	4E-4 bis E-4	4E-4 bis 5E-5	

## Fortsetzung T 8.22

Material bzw. Handelsname	Permittivitätszahl $\epsilon_r$	Verlustfaktoren $\tan \delta$		
		50 Hz	1 MHz	10 GHz
Polytetrafluor- äthylen (Teflon)	2,1 bis 2,2	0,0005	0,0005	7,1E-5 bis 4E-4
Teflon AF (DR)	1,89 bis 1,93	7,3E-5	8,4E-5	0,00035
n) Duromere Isolierstoffe				
Epoxidharze	4 bis 4,5	0,01	0,01 bis 0,04	
Polyesterharze	4 bis 4,5	0,02	0,01 bis 0,03	
Silikonharze	2,8 bis 3,5	0,02	0,015	
Polystone	2,2 bis 2,3	0,0002	0,0004	0,0005
o) Elastomere Isolierstoffe				
Äthylen-Propylen Misch-polymerisat	2,3 bis 3,3	0,005		
Polymethan- elastomere	6,3 bis 8,5	0,01 bis 0,36	0,05 bis 0,1	
Silikonkautschuk	2,8 bis 3,6	0,01 bis 0,03	0,004 bis 0,005	

Bemerkung: Bei den Werten handelt es sich um Richtwerte, die besonders vom Elektrodenmaterial, von Verunreinigungen und Zusätzen im Isolator, aber auch von Fremdstoffeinschlüssen im Übergangsbereich Elektrode-Isolator abhängen. Bei Keramiken ist die Abhängigkeit von d. Zusammensetzung besonders stark. Die mit DR bezeichneten Materialien können als dielektrische Referenzmaterialien bei  $T \leq 300$  K dienen. Ihre Struktureigenschaften vergleichen die Abhängigkeit der Verlustfaktoren vom Elektrodenmaterial. Sie dürfen nicht mit ladungsinjizierenden Medien bei  $T > 300$  K in Berührung kommen.

### 8.23 Permittivitätszahlen der wichtigsten Ionenkristalle – Permittivities of the most important ionic crystals (P. Thoma)

Kristall	$\epsilon_r$	$\epsilon_{r,\infty} = n^2$	Kristall	$\epsilon_r$	$\epsilon_{r,\infty} = n^2$	Kristall	$\epsilon_r$	$\epsilon_{r,\infty} = n^2$
AgBr	13,1	4,62	KCl	4,68	2,13	NaI	6,60	2,91
AgCl	12,3	4,01	KF	6,05	1,85	NH <sub>4</sub> Cl	6,96	2,62
BaF <sub>2</sub>	7,33	2,09	KI	4,94	2,69	RbBr	5,0	2,33
BeO	7,35	2,95	LiBr	12,1	3,16	RbCl	5,0	2,19
CaF <sub>2</sub>	8,43	1,99	LiCl	11,05	2,75	RbF	5,91	1,93
CaO	11,8	3,28	LiF	9,27	1,92	RbI	5,0	2,63
CaBr	6,51	2,78	LiI	11,03	3,80	SrF <sub>2</sub>	7,69	2,08
CsCl	7,20	2,60	MgF <sub>2</sub>	5,1	2,4	SrO	13,3	3,31
CsI	5,65	3,03	MgO	9,8	2,95	TlBr	29,8	5,41
CuBr	8,0	4,08	NaBr	5,99	2,62	TlCl	31,9	5,10
CuCl	10,0	3,57	NaCl	5,62	2,25	ZnS	8,3	5,07
KBr	4,78	2,33	NaF	6,0	1,74			

**8.24 Die thermoelastodielektrischen Materialkonstanten zweiter Ordnung mit Darstellung ihres Zusammenhangs durch das Heckmann-Diagramm – The thermoelastodielectric material constants of second order with a representation of their interrelation by means of the Heckmann diagram (P. Thoma)<sup>1)</sup>**

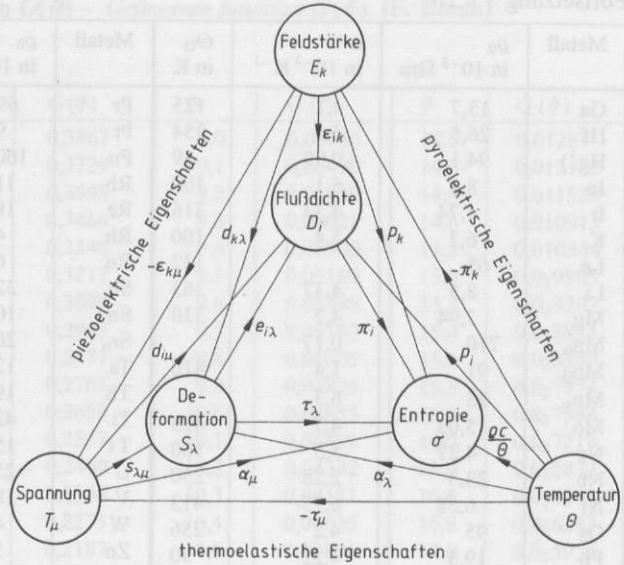
Material-eigenschaften	Materialkonstante	Symbol und Definition	SI-Einheit
thermische	spezifische Wärmekapazität	$c = \frac{\Theta \delta \sigma}{\rho \delta \Theta}$	$\text{Jkg}^{-1} \text{K}^{-1}$
dielektrische	Permittivität	$\epsilon_{ik} = \frac{\delta D_i}{\delta E_k}$	$\text{Fm}^{-1}$
	Inverse Permittivität	$\beta_{ik} = \frac{\delta E_i}{\delta D_k}$	$\text{F}^{-1} \text{m}$
elastische	Elastizitätskoeffizient	$s_{\lambda\mu} = \frac{\delta S_\lambda}{\delta T_\mu}$	$\text{N}^{-1} \text{m}^2$
	Elastizitätsmodul	$c_{\lambda\mu} = \frac{\delta T_\lambda}{\delta S_\mu}$	$\text{Nm}^{-2}$
pyroelektrische	pyroelektrischer Koeffizient	$p_i = \frac{\delta D_i}{\delta \Theta} = \frac{\delta \sigma}{\delta E_i}$	$\text{Cm}^{-2} \text{K}^{-1}$
	pyroelektrischer Koeffizient	$\pi_i = -\frac{\delta E_i}{\delta \Theta} = \frac{\delta \sigma}{\delta D_i} = \pi_k$	$\text{Vm}^{-1} \text{K}^{-1}$
	pyroelektrischer Modul	$q_i = -\frac{\delta E_i}{\Theta \delta \sigma} = -\frac{\delta \Theta}{\Theta \delta D_i}$	$\text{C}^{-1} \text{m}^2$
	pyroelektrischer Modul	$\varrho_i = \frac{\delta D_i}{\Theta \delta \sigma} = -\frac{\delta \Theta}{\Theta \delta E_i}$	$\text{V}^{-1} \text{m}$
piezoelektrische	piezoelektrischer Koeffizient	$d_{i\mu} = \frac{\delta D_i}{\delta T} = \frac{\delta S_\mu}{\delta E_i} = d_{k\lambda}$	$\text{CN}^{-1}$
	piezoelektrischer Koeffizient	$g_{i\mu} = \frac{\delta E_i}{\delta T_\mu} = \frac{\delta S_\mu}{\delta D_i} = g_{k\mu}$	$\text{C}^{-1} \text{m}^2$
	piezoelektrischer Modul	$h_{ik} = -\frac{\delta E_i}{\delta S_\mu} = -\frac{\delta T_\mu}{\delta D_i} = h_{k\lambda}$	$\text{C}^{-1} \text{N}$
	piezoelektrischer Modul	$e_{i\mu} = \frac{\delta D_i}{\delta S_\mu} = -\frac{\delta T_\mu}{\delta E_i} = e_{ik} = e_{k\mu}$	$\text{Cm}^{-2}$
thermoelastische	Ausdehnungskoeffizient	$\alpha_i = \frac{\delta S_\lambda}{\delta \Theta} = \frac{\delta \sigma}{\delta T_\lambda} = \alpha_\mu$	$\text{K}^{-1}$
	Spannungskoeffizient	$\tau_\lambda = -\frac{\delta T_\lambda}{\delta \Theta} = \frac{\delta \sigma}{\delta S_\lambda} = \tau_\mu$	$\text{Nm}^{-2} \text{K}^{-1}$
	Spannungsmodul	$\gamma_\lambda = -\frac{\delta T_\lambda}{\Theta \delta \sigma} = -\frac{\delta \Theta}{\Theta \delta S_\lambda}$	
	Ausdehnungsmodul	$\sigma_\lambda = \frac{\delta S_\lambda}{\Theta \delta \sigma} = -\frac{\delta \Theta}{\Theta \delta T_\lambda}$	$\text{N}^{-1} \text{m}^2$

Die durch partielle Ableitungen erklärten Konstanten sind zweiter Ordnung, weil sie Größen enthalten, die ihrerseits durch partielle Ableitungen erklärt sind.

<sup>1)</sup>Nach Tichy, J.; Gautschi, G. (1980): Piezoelektrische Meßtechnik. Berlin: Springer

Fortsetzung T 8.24

Das Heckmann-Diagramm vermittelt einen anschaulichen Zusammenhang zwischen den Materialkonstanten. An den Ecken des äußeren Dreiecks stehen die intensiven Zustandsgrößen, an den Ecken des inneren Dreiecks die extensiven Zustandsgrößen. Die Pfeile geben die Richtung von der unabhängigen Zustandsgröße zu der abhängigen Zustandsgröße an. Die kurzen Verbindungslinien der gleichgelegenen Ecken des inneren und äußeren Dreiecks stellen die Haupteffekte dar, die Linien zwischen den nicht gleichgelegenen Ecken repräsentieren die Kopplungseffekte. Nach Heckmann, G. (1925): Ergebnisse der exakt. Naturwiss. 4, 100.



**8.25 Fermi-Energie  $E_F$  einiger Metalle – Fermi energy  $E_F$  of some metals** (E.Braun)

Metall	Li	Na	K	Rb	Cs	Mg	Ca	Al	Ag	Au	Cu
$E_F$ in eV	4,7	3,1	2,1	1,8	1,5	7,0	4,7	11,6	5,5	5,5	7,0

Literatur: Hellwege, K.H. (1976): Einführung in die Festkörperphysik. Berlin, Heidelberg, New York: Springer.

**8.26 Spezifischer elektrischer Widerstand  $\varrho_0$  <sup>1)</sup> bei 0 °C, Temperaturkoeffizient des elektrischen Widerstandes  $\alpha$  <sup>2)</sup> und Debye-Temperatur  $\Theta_D$  von reinen Metallen – Electrical resistivity  $\varrho_0$  at 0 °C, temperature coefficient of the resistivity  $\alpha$  and Debye temperature  $\Theta_D$  of pure metals** (E.Braun)

Metall	$\varrho_0$ in $10^{-8} \Omega\text{m}$	$\alpha$ in $10^{-3} \text{K}^{-1}$	$\Theta_D$ in K	Metall	$\varrho_0$ in $10^{-8} \Omega\text{m}$	$\alpha$ in $10^{-3} \text{K}^{-1}$	$\Theta_D$ in K
Ag	1,50	4,10	210	Ca	3,6	~4	230
Al	2,50	4,67	419	Cd	6,73	4,26	300
As	26,0		291	Co	5,2	6,58	445
Au	2,04	3,98	165	Cr	15,0		403
Ba	36	6,1	133	Cs	19,0	5,0	219
Be	2,78	7,5	1160	Cu	1,55	4,33	335
Bi	107	4,45	120	Fe $_{\alpha}$	8,71	6,57	462

<sup>1)</sup> Die Werte für nicht kubische Metalle sind aus Einkristalldaten gemittelt oder an polykristallinen Materialien gemessen.

<sup>2)</sup>  $\alpha$  ist ein mittlerer relativer Temperaturkoeffizient, in der Regel für den Bereich zwischen 0 und 100 °C.

Fortsetzung T 8.26

Metall	$\varrho_0$ in $10^{-8} \Omega\text{m}$	$\alpha$ in $10^{-3} \text{K}^{-1}$	$\vartheta_D$ in K	Metall	$\varrho_0$ in $10^{-8} \Omega\text{m}$	$\alpha$ in $10^{-3} \text{K}^{-1}$	$\vartheta_D$ in K
Ga	13,7	4,1	125	Pr	69	1,65	
Hf	26,5	4,4	254	Pt	9,81	3,92	233
Hg <sup>3)</sup>	94,1	0,99	69	Pu	160	-2,97	
In	8,2	5,1	109	Rb	11,6	5,3	68
Ir	4,74	4,33	316	Re	18,9	3,1	310
K	6,3	5,4	100	Rh	4,33	4,57	370
La	65		132	Ru	6,67	4,5	426
Li	8,5	4,37	363	Sb	32,1	5,1	201
Mg	3,94	4,2	330	Sn	10,1	4,63	160
Mn <sub>α</sub>	710	0,17		Sr <sub>α</sub>	20	~5	148
Mn <sub>β</sub>	91	1,4	410	Ta	12,4	3,6	247
Mn <sub>γ</sub>	23	6,3		Th	19,1	3,3	
Mo	5,03	4,7	425	Ti	42	5,5	278
Na	4,27	5,5	160	Tl	15	5,2	89
Nb	23,3	2,28	250	U	~25		
Ni	6,58	6,75	413	V	18,2		300
Os	95	4,2	256	W	4,89	4,83	380
Pb	19,3	4,22	90	Zn	5,45	4,2	100
Pd	9,77	3,8	275	Zr	40,5	4,0	270
Po	~45	~4,6					

<sup>3)</sup> flüssig.

Literatur: Gerritsen, A.N. (1956): In: Handbuch der Physik XIX, Hrsg. Flügge, Berlin, Göttingen, Heidelberg: Springer; Meissner (1935): Handbuch d.Exp.-Physik 11/2. Leipzig; Grüneisen (1945): Erg.d. exakten Naturw. 21, Berlin.

**8.27 Atomare Widerstandserhöhung  $\Delta\varrho_{At}$  und  $\Delta\varrho'_{At}$  für verschiedene in Kupfer gelöste Metalle – Atomic resistivity increase  $\Delta\varrho_{At}$  und  $\Delta\varrho'_{At}$  of different metals dissolved in copper (E. Braun)**

Die Widerstandserhöhung  $\Delta\varrho$ , die durch gelöste Fremdatome verursacht wird, deren Konzentration  $c$  in Atomprozent gemessen wird, ergibt sich zu:  $\Delta\varrho = \Delta\varrho_{At}c + \Delta\varrho'_{At}c^2$ .

	$\Delta\varrho_{At}$ in $10^{-8} \Omega\text{m}/$ at %	$\Delta\varrho'_{At}$ in $10^{-8} \Omega\text{m}/$ (at %) <sup>2</sup>		$\Delta\varrho_{At}$ in $10^{-8} \Omega\text{m}/$ at %	$\Delta\varrho'_{At}$ in $10^{-8} \Omega\text{m}/$ (at %) <sup>2</sup>		$\Delta\varrho_{At}$ in $10^{-8} \Omega\text{m}/$ at %	$\Delta\varrho'_{At}$ in $10^{-8} \Omega\text{m}/$ (at %) <sup>2</sup>
Be	0,62		Ni	1,25		In	1,06	0,026
Mg	0,65		Zn	0,32		Sn	2,88	0,094
Al	1,25	0,055	Ga	1,42	0,066	Sb	5,4	0,076
Si	3,95		Ge	3,79	0,096	Ir	5,7	
P	6,7		As	6,8		Pt	2,1	
Cr	3,6		Rh	4,40		Au	0,55	
Mn	2,90		Pd	0,89		Hg	1,0	
Fe	9,3		Ag	0,14				
Co	6,35	1,3	Cd	0,30				

Literatur: Gerritsen, A. N. (1956): Hdb. d. Physik, Bd. XIX. Berlin, Göttingen, Heidelberg: Springer.

### 8.28 Grüneisen-Funktion $G(\vartheta)$ – Grüneisen function $G(\vartheta)$ (E. Braun)

$\vartheta = \Theta_D/T$ ,  $\Theta_D$  Debye-Temperatur

$\vartheta$	$G(\vartheta)$	$\vartheta$	$G(\vartheta)$	$\vartheta$	$G(\vartheta)$	$\vartheta$	$G(\vartheta)$
0	1,0000	4,5	0,3867	9,0	0,06740	14,0	0,01289
0,1	0,9994	4,6	0,3729	9,1	0,06490	14,2	0,012185
0,2	0,9978	4,7	0,3595	9,2	0,06250	14,4	0,011528
0,3	0,9950	4,8	0,3466	9,3	0,06021	14,6	0,010915
0,4	0,9912	4,9	0,3340	9,4	0,05800	14,8	0,010344
0,5	0,9862	5,0	0,3217	9,5	0,05589	15,0	0,009805
0,6	0,9803	5,1	0,3098	9,6	0,05386	15,2	0,009302
0,7	0,9733	5,2	0,2983	9,7	0,05192	15,4	0,008831
0,8	0,9653	5,3	0,2871	9,8	0,05005	15,6	0,008389
0,9	0,9563	5,4	0,2763	9,9	0,04826	15,8	0,007974
1,0	0,9465	5,5	0,2658	10,0	0,04655	16,0	0,007584
1,1	0,9357	5,6	0,2557	10,1	0,04490	16,2	0,007218
1,2	0,9241	5,7	0,2460	10,2	0,04332	16,4	0,006873
1,3	0,9118	5,8	0,2366	10,3	0,04181	16,6	0,006549
1,4	0,8986	5,9	0,2275	10,4	0,04035	16,8	0,006243
1,5	0,8848	6,0	0,2187	10,5	0,03896	17,0	0,005955
1,6	0,8704	6,1	0,2103	10,6	0,03762	17,2	0,005683
1,7	0,8554	6,2	0,2021	10,7	0,03633	17,4	0,005427
1,8	0,8398	6,3	0,1942 <sub>5</sub>	10,8	0,03509	17,6	0,005185
1,9	0,8238	6,4	0,1867	10,9	0,03390	17,8	0,004956
2,0	0,8073	6,5	0,1795	11,0	0,03276	18,0	0,004740
2,1	0,7905	6,6	0,1725	11,1	0,03167	19,0	0,003819
2,2	0,7733	6,7	0,1658	11,2	0,03061	20,0	0,003111
2,3	0,7559	6,8	0,1593	11,3	0,02960	22	0,002125
2,4	0,7383	6,9	0,1531	11,4	0,02863	24	0,001500
2,5	0,7205	7,0	0,1471 <sub>5</sub>	11,5	0,02769	26	0,001089
2,6	0,7026	7,1	0,1414	11,6	0,02680	28	0,0008097
2,7	0,6846	7,2	0,1359	11,7	0,02593	30	0,0006145
2,8	0,6666	7,3	0,1306	11,8	0,02510	32	0,0004747
2,9	0,6486	7,4	0,1255 <sub>5</sub>	11,9	0,02430	34	0,0003724
3,0	0,6307	7,5	0,1206 <sub>7</sub>	12,0	0,02353	36	0,0002963
3,1	0,6128	7,6	0,11599	12,1	0,02279	38	0,0002387
3,2	0,5950	7,7	0,11150	12,2	0,02208	40	0,0001944
3,3	0,5775	7,8	0,10719	12,3	0,02139	44	0,0001328
3,4	0,5600	7,9	0,10306	12,4	0,02073	48	0,00009375
3,5	0,5428	8,0	0,09909	12,5	0,02009	50	0,00007964
3,6	0,5259	8,1	0,09529	12,6	0,01948	52	0,00006806
3,7	0,5091	8,2	0,09165	12,7	0,01889	56	0,00005061
3,8	0,4927	8,3	0,08816	12,8	0,01832	60	0,00003841
3,9	0,4766	8,4	0,08480	12,9	0,01777	64	0,00002967
4,0	0,4608	8,5	0,08159	13,0	0,01725	68	0,00002328
4,1	0,4453	8,6	0,07851	13,2	0,01624	70	0,00002073
4,2	0,4301	8,7	0,07555	13,4	0,01531	72	0,00001852
4,3	0,4153	8,8	0,07272	13,6	0,01445	76	0,00001492
4,4	0,4008	8,9	0,07000	13,8	0,01364	80	0,00001215

### 8.29 Mittlere Druckkoeffizienten des elektrischen Widerstandes $\gamma_p$ in $10^{-11} \text{ m}^2/\text{N}$ für Drücke bis zu $7 \cdot 10^8 \text{ N/m}^2$ bei $0^\circ\text{C}$ – Mean pressure coefficients of the electrical resistivity $\gamma_p$ in $10^{-11} \text{ m}^2/\text{N}$ for pressures up to $7 \cdot 10^8 \text{ N/m}^2$ at $0^\circ\text{C}$ (E. Braun)

Metall	Mg	Al	Fe	Ni	Nb	Mo	Rh	Pd	Ta	W	Pt	Cu	Ag	Au	Pb
$\gamma_p$	4,48	4,36	2,39	1,89	1,20	1,33	1,67	2,17	1,48	1,37	1,97	1,92	3,52	3,00	13,24

Literatur: Gerritsen, A.N. (1956): Hdb. d. Physik. Bd. XIX, Berlin, Göttingen, Heidelberg: Springer.

### 8.30a Die thermoelektrische Spannungsreihe – Thermoelectric series (E. Braun)

Die Zahlen unter dem Metall X bedeuten die Thermospannung in mV, wenn das Bezugsmetall eine Temperatur von  $0^\circ\text{C}$ , das Metall X eine solche von  $100^\circ\text{C}$  hat. Bezugsmetall ist in Zeile 1 Platin, in Zeile 2 Kupfer, in Zeile 3 Wismut, in Zeile 4 stehen die „absoluten“ Werte der Thermospannung.

Bi	Konst	Co	Ni	K	Pd	Na	Pt	Hg	C	Al	Mg	Pb	Sn	Cs
-7	-3,4	-1,6	-1,5	-0,9	-0,3	-0,2	0,0	0,0	+0,2	+0,4	+0,4	+0,4	+0,4 <sub>5</sub>	+0,5
-8	-4,1	-2,3	-2,2	-1,6	-1,0	-0,9	-0,7 <sub>5</sub>	-0,7 <sub>5</sub>	-0,5 <sub>5</sub>	-0,3 <sub>5</sub>	-0,3 <sub>5</sub>	-0,3 <sub>5</sub>	-0,3	-0,2 <sub>5</sub>
0	+3,6	+5,4	+5,5	+6,1	+6,7	+6,8	+7,0	+7,0	+7,2	+7,4	+7,4	+7,4 <sub>5</sub>	+7,4 <sub>5</sub>	+7,5
-8	-3,9	-2,1	-2,0	-1,4	-0,8	-0,7	-0,5 <sub>5</sub>	-0,5 <sub>5</sub>	-0,3 <sub>5</sub>	-0,1 <sub>5</sub>	-0,1 <sub>5</sub>	-0,1	-0,1	-0,0 <sub>5</sub>

Man-ganin	Ir	Rh	Zn	Norm Ag Leg	Ag	Au	Cu	W	Cd	Mo	Fe	Sb	Si*	Te*
+0,6	+0,6 <sub>5</sub>	+0,6 <sub>5</sub>	+0,7	+0,7	+0,7	+0,7	+0,7 <sub>5</sub>	+0,8	+0,9	+1,2	+1,8	+4,7	+45	+50
-0,1 <sub>5</sub>	-0,1	-0,1	-0,0 <sub>5</sub>	-0,0 <sub>5</sub>	-0,0 <sub>5</sub>	-0,0 <sub>5</sub>	0,0	+0,0 <sub>5</sub>	+0,1 <sub>5</sub>	+0,4 <sub>5</sub>	+1,0 <sub>5</sub>	+4,0	+44	+49
+7,6	+7,6 <sub>5</sub>	+7,6 <sub>5</sub>	+7,7	+7,7	+7,7	+7,7	+7,7 <sub>5</sub>	+7,8	+7,9	+8,2	+8,8	+12	+52	+57
+0,0 <sub>5</sub>	+0,1	+0,1	+0,1 <sub>5</sub>	+0,14	+0,1 <sub>5</sub>	+0,1 <sub>5</sub>	+0,2	+0,2 <sub>5</sub>	+0,3 <sub>5</sub>	+0,6 <sub>5</sub>	+1,2 <sub>5</sub>	+4,2	+44	+49

\* Diese Werte hängen von der Dotierung des Halbleiters ab.

### 8.30b Thermospannungen in mV nach DIN 43710 für einige gebräuchliche Thermoelemente – Thermoelectric voltages in mV according to DIN 43710 for some common thermocouples (E. Braun)

Bezugstemperatur  $0^\circ\text{C}$ .

Cu-Konst.

$^\circ\text{C}$	0	-10	-20	-30	-40	-50	-60	-70	-80	-90	-100	mV/ K <sup>1)</sup>
-100	-3,40	-3,68	-3,95	-4,21	-4,46	-4,69	-4,91	-5,12	-5,32	-5,51	-5,70	0,023
0	0	-0,39	-0,77	-1,14	-1,50	-1,85	-2,18	-2,50	-2,81	-3,11	-3,40	0,034
$^\circ\text{C}$	0	10	20	30	40	50	60	70	80	90	100	mV/ K <sup>1)</sup>
0	0	0,40	0,80	1,21	1,63	2,05	2,48	2,91	3,35	3,80	4,25	0,043
100	4,25	4,71	5,18	5,65	6,13	6,62	7,12	7,63	8,15	8,67	9,20	0,050
200	9,20	9,74	10,29	10,85	11,41	11,98	12,55	13,13	13,71	14,30	14,90	0,057
300	14,90	15,50	16,10	16,70	17,31	17,92	18,53	19,14	19,76	20,38	21,00	0,061
400	21,00	21,62	22,25	22,88	23,51	24,15	24,79	25,44	26,09	26,75	27,41	0,064
500	27,41	28,08	28,75	29,43	30,11	30,80	31,49	32,19	32,89	33,60	34,31	0,069

<sup>1)</sup> Mittelwerte der  $100^\circ\text{C}$ -Bereiche. Dies trifft auch für die weiteren Teile von Tab. T 8.30b zu.

## Fortsetzung T 8.30b

## Fe-Konst.

°C	0	-10	-20	-30	-40	-50	-60	-70	-80	-90	-100	m V/K
-100	-4,75	-5,15	-5,53	-5,90	-6,26	-6,60	-6,93	-7,25	-7,56	-7,86	-8,15	0,034
0	0	-0,51	-1,02	-1,53	-2,03	-2,51	-2,98	-3,44	-3,89	-4,33	-4,75	0,048
°C	0	10	20	30	40	50	60	70	80	90	100	m V/K
0	0	0,52	1,05	1,58	2,11	2,65	3,19	3,73	4,27	4,82	5,37	0,054
100	5,37	5,92	6,47	7,03	7,59	8,15	8,71	9,27	9,83	10,39	10,95	0,056
200	10,95	11,51	12,07	12,63	13,19	13,75	14,31	14,88	15,44	16,00	16,56	0,056
300	16,56	17,12	17,68	18,24	18,80	19,36	19,92	20,48	21,04	21,60	22,16	0,056
400	22,16	22,72	23,29	23,86	24,43	25,00	25,57	26,14	26,71	27,28	27,85	0,057
500	27,85	28,43	29,01	29,59	30,17	30,75	31,33	31,91	32,49	33,08	33,67	0,058
600	33,67	34,26	34,85	35,44	36,04	36,64	37,25	37,85	38,47	39,09	39,72	0,061
700	39,72	40,35	40,98	41,62	42,27	42,92	43,57	44,23	44,89	45,55	46,22	0,065
800	46,22	46,89	47,57	48,25	48,94	49,63	50,32	51,02	51,72	52,43	53,14	0,069

## NiCr-Ni

°C	0	10	20	30	40	50	60	70	80	90	100	m V/K
0	0	0,40	0,80	1,20	1,61	2,02	2,43	2,85	3,26	3,68	4,10	0,041
100	4,10	4,51	4,92	5,33	5,73	6,13	6,53	6,93	7,33	7,73	8,13	0,040
200	8,13	8,54	8,94	9,34	9,75	10,16	10,57	10,98	11,39	11,80	12,21	0,041
300	12,21	12,63	13,04	13,46	13,88	14,29	14,71	15,13	15,55	15,98	16,40	0,042
400	16,40	16,82	17,24	17,67	18,09	18,51	18,94	19,36	19,79	20,22	20,65	0,042
500	20,65	21,07	21,50	21,92	22,35	22,78	23,20	23,63	24,06	24,49	24,91	0,043
600	24,91	25,34	25,76	26,19	26,61	27,03	27,45	27,87	28,29	28,72	29,14	0,042
700	29,14	29,56	29,97	30,39	30,81	31,23	31,65	32,06	32,48	32,89	33,30	0,042
800	33,30	33,71	34,12	34,53	34,93	35,34	35,75	36,15	36,55	36,96	37,36	0,041
900	37,36	37,76	38,16	38,56	38,95	39,35	39,75	40,14	40,53	40,92	41,31	0,040
1000	41,31	41,70	42,09	42,48	42,87	43,25	43,63	44,02	44,40	44,78	45,16	0,039
1100	45,16	45,54	45,92	46,29	46,67	47,04	47,41	47,78	48,15	48,52	48,89	0,037
1200	48,89	49,25	49,62	49,98	50,34	50,69	51,05	51,41	51,76	52,11	52,46	0,036

## PtRh-Pt

°C	0	10	20	30	40	50	60	70	80	90	100	m V/K
0	0	0,056	0,113	0,173	0,235	0,299	0,364	0,431	0,500	0,571	0,643	0,006
100	0,643	0,717	0,792	0,869	0,946	1,025	1,106	1,187	1,269	1,352	1,436	0,008
200	1,436	1,521	1,607	1,693	1,780	1,868	1,956	2,045	2,135	2,225	2,316	0,009
300	2,316	2,408	2,499	2,592	2,685	2,778	2,872	2,966	3,061	3,156	3,251	0,009
400	3,251	3,347	3,442	3,539	3,635	3,732	3,829	3,926	4,024	4,122	4,221	0,010
500	4,221	4,319	4,419	4,518	4,618	4,718	4,818	4,919	5,020	5,122	5,224	0,010
600	5,224	5,326	5,429	5,532	5,635	5,738	5,842	5,946	6,050	6,155	6,260	0,010
700	6,260	6,365	6,471	6,577	6,683	6,790	6,897	7,005	7,112	7,220	7,329	0,011
800	7,329	7,438	7,547	7,656	7,766	7,876	7,987	8,098	8,209	8,320	8,432	0,011
900	8,432	8,545	8,657	8,770	8,883	8,997	9,111	9,225	9,340	9,455	9,570	0,011
1000	9,570	9,686	9,802	9,918	10,035	10,152	10,269	10,387	10,505	10,623	10,741	0,012
1100	10,741	10,860	10,979	11,098	11,217	11,336	11,456	11,575	11,695	11,815	11,935	0,012
1200	11,935	12,055	12,175	12,296	12,416	12,536	12,657	12,777	12,897	13,018	13,138	0,012
1300	13,138	13,258	13,378	13,498	13,618	13,738	13,858	13,978	14,098	14,217	14,337	0,012
1400	14,337	14,457	14,576	14,696	14,815	14,935	15,054	15,173	15,292	15,411	15,530	0,012
1500	15,530	15,649	15,768	15,887	16,006	16,124	16,243	16,361	16,479	16,597	16,716	0,012

## 8.31 Kenndaten von Supraleitern – Properties of superconductors (E. Braun)

### 8.31a Supraleitende Elemente – Superconducting elements

$T_c$  Übergangstemperatur,  $B_c$  kritische Flußdichte bei 0 K,  $2\Delta$  Energielücke bei 0 K,  $k$  Boltzmann-Konstante,  $\xi_0$  Kohärenzlänge,  $\lambda_0$  Eindringtiefe.

	$T_c$ in K	$B_c$ in mT	$2\Delta/kT_c$	$\xi_0$ in nm	$\lambda_0$ in nm		$T_c$ in K	$B_c$ in mT	$2\Delta/kT_c$	$\xi_0$ in nm	$\lambda_0$ in nm
Al	1,19	9,9	2,9 bis 3,5	1600	50	Pb	7,19	80,3	4,1 bis 4,3	30 bis 112	32
Be	0,026					Re	1,7	19,8			
Cd	0,52	3,0				Ru	0,49	6,6			
Ga $_{\alpha}$	1,09	5,9	4,5			Sn $_{\beta}$	3,75	30,6	3,3 bis 3,7	230 bis 296	25 bis 36
$\beta$	6,5					Ta	4,48	83,0	3,0 bis 3,7	92,5	35
$\gamma$	7,5					Tc	8,2	141			
Hf $_{\alpha}$	0,165					Th $_{\alpha}$	1,37	16,2			
Hg $_{\alpha}$	4,15	41,2	4,6		38 bis 45	Ti $_{\alpha}$	0,39	5,6			
$\beta$	3,9	33,9				$\beta$	4,0				
$\gamma$	3,74					Tl $_{\alpha}$	2,39	17,1	3,2 bis 3,6		
In	3,4	29,3	3,5 bis 4,1	440	64	$\beta$	1,75				
Ir	0,14	1,9				U $_{\alpha}$	0,68?				
La $_{\alpha}$	4,8		2,9			V	5,3	102	3,4 bis 3,6		
$\beta$	5,9	160				W	0,012	107			
Mo	0,92	9,8				Zn	0,85	5,2	2,5		
Nb	9,3	195	2,8	44	32	Zr $_{\alpha}$	0,55	4,7			
Os	0,65	6,5				$\beta$	0,5				
Pa	1,4					$\omega$	0,65				

8.31b Thermospannungen in mV nach DIN 43710 für einige gebräuchliche Thermoelemente – Thermoelectric voltages in mV according to DIN 43710 for some conventional thermocouples (E. Braun)

mV	100	90	80	70	60	50	40	30	20	10	0	°C
0	0	0	0	0	0	0	0	0	0	0	0	0
100	100	90	80	70	60	50	40	30	20	10	0	100
200	200	180	160	140	120	100	80	60	40	20	0	200
300	300	270	240	210	180	150	120	90	60	30	0	300
400	400	360	320	280	240	200	160	120	80	40	0	400
500	500	450	400	350	300	250	200	150	100	50	0	500
600	600	540	480	420	360	300	240	180	120	60	0	600
700	700	630	560	490	420	350	280	210	140	70	0	700
800	800	720	640	560	480	400	320	240	160	80	0	800
900	900	810	720	630	540	450	360	270	180	90	0	900
1000	1000	900	800	700	600	500	400	300	200	100	0	1000

### 8.31b Supraleitende Verbindungen und Legierungen vom Typ II mit hohen kritischen Flußdichten – Type II superconducting compounds and alloys

$T_c$  Übergangstemperatur,  $B_{c2}$  obere kritische Flußdichte.

	$T_c$ in K	$B_{c2}$ in T		$T_c$ in K	$B_{c2}$ in T
NbTi	10,6	11,8	Nb <sub>3</sub> (Al <sub>8</sub> Ge <sub>4</sub> )	20,7	40,5
V <sub>3</sub> Ga	14,5	21	SiV <sub>3</sub>	16,9	21,0
Nb <sub>3</sub> Sn	18,05	20			

Literatur: Buckel W.(1977): Supraleitung. Weinheim: Physik-Verlag.

### 8.31c Hochtemperatur-Supraleiter – High temperature superconductors (Hott (1992), Fink (1992))

Material	$T_c$ in K	Material	$T_c$ in K
YBa <sub>2</sub> Cu <sub>3</sub> O <sub>7</sub>	92	Tl <sub>2</sub> Sr <sub>2</sub> Ca <sub>n-1</sub> Cu <sub>n</sub> O <sub>2n+3</sub>	90 bis 122
EuBa <sub>2</sub> Cu <sub>3</sub> O <sub>7</sub>		Tl <sub>2</sub> Ba <sub>2</sub> Ca <sub>n-1</sub> Cu <sub>n</sub> O <sub>2n+3</sub>	
GdBa <sub>2</sub> Cu <sub>3</sub> O <sub>7</sub>		K <sub>3</sub> C <sub>60</sub>	19,3
Bi <sub>2</sub> Sr <sub>2</sub> Ca <sub>n-1</sub> Cu <sub>n</sub> O <sub>2n+4</sub> (+Pb)	90 bis 122	Rb <sub>3</sub> C <sub>60</sub>	28
Tl <sub>2</sub> Ba <sub>2</sub> Ca <sub>n-1</sub> Cu <sub>n</sub> O <sub>2n+4</sub>	110 bis 127	RbCs <sub>2</sub> C <sub>60</sub>	33
		Rb <sub>2,7</sub> Tl <sub>2,2</sub> C <sub>60</sub>	48

### 8.32 Kenndaten von Halbleitern – Properties of semiconductors (E. Braun)

$E_g$  Breite der verbotenen Zone,  $dE_g/dT$  Temperaturabhängigkeit von  $E_g$ ,  $dE_g/dp$  Druckabhängigkeit von  $E_g$ ,  $m_n^*$  und  $m_p^*$  effektive Elektronen bzw. Löchermasse,  $m_0$  Elektronenmasse,  $m_{ds}^*$  Zustandsdichtemasse,  $\mu_n$  und  $\mu_p$  Beweglichkeit der Elektronen bzw. Löcher,  $\varepsilon_r$  stat. Dielektrizitätszahl,  $n$  Brechzahl bei 546,1 nm,  $\Theta_D$  Debye-Temperatur,  $\rho$  Dichte,  $t_s$  Schmelzpunkt,  $a$  Gitterkonstante, G Gitterstruktur: Diamant (Diam.), hexagonal (hex.), Zinkblende (Zb), Wurtzit (Wurtz.), trigonal (trig.), kubisch (kub.) u.a. (alle Angaben in der Regel für 300 K, alle Werte gerundet).

Literatur: Madelung, O. (1982): In: Landolt-Börnstein, Neue Serie, Bde. 17a, 17b, 17c. Berlin, Heidelberg, New York: Springer; Pamplin, B.R. (1981/82): Handbook of Physics and Chemistry, 62nd ed. Cleveland, Ohio: CRC Press; Hahn, D. (1967): In: Hütte, Taschenbuch der Werkstoffkunde (Stoffhütte), 4. Aufl. Berlin, München: Wilhelm Ernst u. Sohn; Aspnes, D.E.; Studna, A.A. (1983): Dielectric functions and optical parameters of Si, Ge, GaAs, GaSb, InP, InAs and InSb from 1.5 eV to 6.0 eV. Phys. Rev. **B27**, 985–1009; Burkhard, H.; Dinges, H.W.; Kuphal, E. (1982): Optical properties on In<sub>1-y</sub>Ga<sub>y</sub>P<sub>1-y</sub>As<sub>y</sub>, InP, GaAs, and GaP determined by ellipsometry. J. Appl. Phys. **53**, 655–662; Wetting, W.; Windscheif, J. (1984): Elastic Constants and Refractive Index of Boron Phosphide. Sol. State Comm. **50**, 33–34.

## 8.32a Elementare Halbleiter — Elementary semiconductors

	$E_g$ in eV	$dE_g/dT$ in $10^{-4}$ eV/K	$dE_g/dp$ in $10^{-6}$ eV/bar	$m_n^*/m_0$	$m_p^*/m_0$	$\mu_n$ in $m^2/Vs$	$\mu_p$ in $m^2/Vs$	$\epsilon_r$	$n$	$\Theta_D$ in K	$\rho$ in $g/cm^3$	$t_s$ in $^\circ C$	$a$ in nm	G
C <sup>1)</sup>	5,48	-0,5		$\parallel 1,4$ $\perp 0,36$	0,8 <sup>4)</sup>	0,18	0,16	5,7	2,42	1860	3,52	3827	0,35668	Diam.
Si	1,11	-2,8 <sup>3)</sup>	-1,41	1,18 <sup>4)</sup>	0,59 <sup>4)</sup>	0,15	0,05	11,9	4,07	636 bis 674	2,33	1412	0,5431	Diam.
Ge	0,66	-3,7	+7,3	0,55 <sup>4)</sup>	0,3 <sup>4)</sup>	0,38	0,18	16,2	5,13	374	5,32	937,3	0,5658	Diam.
$\alpha$ -Sn <sup>3)</sup>	0,09 <sup>5)</sup>	-0,5		0,02	0,3	0,29	0,30	24		238	7,29		0,6489	Diam.
Se	1,76 bis 2,2	-9		1,4 <sup>4)</sup>			$10^{-4}$	8,5	4,1			220	0,43662	hex.
Te	0,34	-0,4	-20	$\perp 0,06$ <sup>5)</sup> $\parallel 0,05$	0,114 <sup>5)</sup> 0,109	0,17	0,11	30	3,07		6,24	450	0,44570 0,59290	hex.

<sup>1)</sup> Diamant <sup>2)</sup> bei 200 K <sup>3)</sup> nur unterhalb 13,2 $^\circ C$  stabil <sup>4)</sup>  $m_{ds}^*$  <sup>5)</sup> bei He-Temperatur

## 8.32b III-V-Verbindungen — III-V compounds

	$E_g$ in eV	$dE_g/dT$ in $10^{-4}$ eV/K	$dE_g/dp$ in $10^{-6}$ eV/bar	$m_n^*/m_0$	$m_p^*/m_0$	$\mu_n$ in $m^2/Vs$	$\mu_p$ in $m^2/Vs$	$\epsilon_r$	$n$	$\Theta_D$ in K	$\rho$ in $g/cm^3$	$t_s$ in $^\circ C$	$a$ in nm	G
BN <sup>1)</sup>	6							7,1	2,12	1700	3,49	>2973	0,3616	Zb
BN	6							$\perp 5,06$ $\parallel 6,85$		598	2,18		0,6661 0,25040	hex.
BP	2,0					0,004	0,0025	11	3,2	985	2,9		0,4538	Zb
BAs	ca. 1							9		800	5,22	3000	0,4777	Zb
AlN	6,2							9,8		588	2,40	2550	0,498 0,547	Wurtz. Zb
AlP	2,45					0,001 bis 0,008		10,06	3,7	417	3,7	1740	0,5660	Zb
AlAs	2,15	-4		0,5 <sup>2)</sup> bis 0,8	0,26 <sup>2)</sup>	0,12	0,042	12	ca. 3,4	292	4,3	1065	0,6136	Zb
AlSb	1,63	-3,5	-1,6	0,09	0,4	0,02	0,04							Zb

## Fortsetzung T 8.32b

	$E_g$ in eV	$dE_g/dT$ in $10^{-4}$ eV/K	$dE_g/dp$ in $10^{-6}$ eV/bar	$m_n^*/m_0$	$m_p^*/m_0$	$\mu_n$ in $m^2/Vs$	$\mu_p$ in $m^2/Vs$	$\epsilon_r$	$n$	$\Theta_D$ in K	$\rho$ in $g/cm^3$	$t_s$ in $^\circ C$	$a$ in nm	G
GaN	3,44	-5		0,27	0,6 bis 1,0	<0,044		$\perp$ 9,5    10,4 bis 12,2		600	6,1	1700	0,32 0,52	Wurtz.
GaP	2,27	-5,2	-1,7	0,35	0,5	0,018	0,012 bis 0,015	11,1	3,44	445 bis 468	4,13	1467	0,5451	Zb
GaAs	1,43	-3,9	+9,4	0,068	0,5	0,9	0,04	12,91	4,05	344	5,316	1240	0,56533	Zb
GaSb	0,70	-3,7	+12	0,04 <sup>3)</sup>	0,3/ 0,05 <sup>3)</sup>	0,26 bis 0,77	0,07 bis 0,085	15,69	4,16	266	5,614	712	0,60959	Zb
InN	2,0			0,11		0,002		9,3	ca.3,1		6,81 bis 6,89	1100	0,35446 0,57034	Wurtz.
InP	1,34	-2,9	+4,6	0,073	0,45/ 0,12 <sup>3)</sup>	bis 0,025	0,015	12,61	3,66	321	4,81	1062	0,5869	Zb
InAs	0,356	-3,5	+8	0,027	0,33 0,4/ 0,024	2 bis 3,3	0,01 bis 0,045	15,15	4,27	247 bis 262	5,7	942	0,60583	Zb
InSb	0,18	-2,75	+15	0,013	0,4/ 0,016 <sup>3)</sup>	7	0,085	16,8 bis 18,0	4,12	203 bis 208	5,775	527	0,64794	Zb

<sup>1)</sup> metastabil unter Normal-Bedingungen <sup>2)</sup>  $m_{ds}^*$  <sup>3)</sup> bei He-Temperatur

## 8.32c II-VI-Verbindungen – II-VI compounds

	$E_g$ in eV	$dE_g/dT$ in $10^{-4}$ eV/K	$dE_g/dp$ in $10^{-6}$ eV/bar	$m_n^*/m_0$	$m_p^*/m_0$	$\mu_n$ in $m^2/Vs$	$\mu_p$ in $m^2/Vs$	$\epsilon_r$	$n$	$\Theta_D$ in K	$\rho$ in $g/cm^3$	$t_s$ in $^\circ C$	$a$ in nm	G
ZnO	3,2	-9,5	0,6	0,3	0,6 <sup>2)</sup>	0,018		8,15	2,025	370 bis 416	5,675	2000	0,3252 0,5213	Wurtz.
ZnS	3,56	-5	5,7	0,34				8,9	2,375		4,09		0,541	Zb
ZnSe	3,58	-3	6	0,28 <sup>2)</sup>	0,49/0,58 <sup>2)</sup>	0,02	0,003	9,6	2,4	350	4,09	1520	0,5668	Wurtz.
ZnTe	2,7	-7,2		0,13 bis 0,17	0,7	0,05		7,1 bis 9,6	2,7	400	5,26			Zb

## Fortsetzung T 8.32c

	$E_g$ in eV	$dE_g/dT$ in $10^{-4}$ eV/K	$dE_g/dp$ in $10^{-6}$ eV/bar	$m_n^*/m_0$	$m_p^*/m_0$	$\mu_n$ in $m^2/Vs$	$\mu_p$ in $m^2/Vs$	$\epsilon_r$	$n$	$\Theta_D$ in K	$\rho$ in $g/cm^3$	$t_s$ in $^\circ C$	$a$ in nm	G
ZnTe	2,3	-4,5	6	0,12	0,6	0,033	0,0007	9,7 bis 10,1	3,56	223	5,64	1295	0,6101	Zb
CdO	1,3	-4,2		0,1-0,3		0,012		21,9	2,49	255	8,16	1497	0,46957	NaCl
CdS	2,50	-4,1	3,3	0,2	0,8	0,037	0,002	9	2,4	300	4,82	1475	0,4136 0,6716	Wurtz. Wurtz.
CdSe	1,75	-3,6	4	0,13	0,6	0,05	0,001 bis 0,005	9 bis 10	2,6	181	5,81	1241	0,4299	Wurtz.
CdTe	1,43	-3	8	0,11	0,35	0,07	0,006	10,3	2,75	158	5,86	1092	0,6481	Zb
HgS <sup>1)</sup>	2,1					0,001		18	3,26				0,4149	trig.
HgS	-0,2 bis 0,5					bis 0,003		32,5 18,2			7,73	1750	0,4495 0,5851	Zb
HgSe	0,30		10	0,03	0,78	1,9	0,01	25,6			8,25	799	0,6084	Zb
HgTe	0,15	-1		0,017	0,5	3,5		21		147	8,1	670	0,6461	Zb

<sup>1)</sup> unterhalb 344 °C stabil <sup>2)</sup> bei He-Temperatur**8.32d** Sonstige Halbleiter — Other semiconductors

	$E_g$ in eV	$dE_g/dT$ in $10^{-4}$ eV/K	$dE_g/dp$ in $10^{-6}$ eV/bar	$m_n^*/m_0$	$m_p^*/m_0$	$\mu_n$ in $m^2/Vs$	$\mu_p$ in $m^2/Vs$	$\epsilon_r$	$n$	$\Theta_D$ in K	$\rho$ in $g/cm^3$	$t_s$ in $^\circ C$	$a$ in nm	G
PbS	0,37	4		0,15	0,1	0,06	0,06	17,6	4,19		7,61	1077	0,5936	NaCl
PbSe	0,26	4		0,3	0,34	0,1	0,096	21	4,54		8,15	1076	0,6124	NaCl
PbTe	0,30	4	-7	0,21	0,14	0,16	0,075	30	5,48		8,16	917	0,6454	NaCl
TiO <sub>2</sub>	3,02	-2,5				$6 \cdot 10^{-5}$		89	2,613			1840	0,4594	Rutil
UO <sub>2</sub>	2,0			0,0015		0,0010		9,5	2,849	188	5,75	2870	1,095	CaF <sub>2</sub>
Cu <sub>2</sub> O	2,0	-6,5				0,01		7			bis 6,14	1235	0,4270	kub.

### 8.33 Fachglossar „Technische Acronyme“ der Materialkunde – (P. Thoma)

AD	Auger Deexcitation	CMOS	Complementary Metal Oxide Semiconductor
AED	Auger Electron Diffraction	CPA	Coherent Potential Approximation
AES	Auger Electron Spectroscopy	CPD	Contact Potential Difference
AFM	Atomic Force Microscopy	CPE	Chemical Preferential Etching
ALE	Atomic Layer Epitaxy	CR	Cyclotron Resonance
ALMBE	Atomic Layer Molecular Beam Epitaxy	CTEM	Conventional Transmission Electron Microscopy
AP	Atom Probe (Electron Microscopy)	CS	Capacitance Spectroscopy
APD	Avalanche Photo Diode	CT	Charge Transfer
AP-FEES	Atom Probe Field Emission Electron Spectroscopy	CVD	Chemical Vapor Deposition
AP-FIM	Atom Probe Field Ion Microscopy	DB	Dangling Bond
ARD	Angle Resolved Distribution	DBRTS	Double Barrier Resonant Tunnel Structure
ARSIMS	Angle Resolved Secondary Ion Mass Spectrometry	DC	Deep Center
ASAXS	Anomalous Small Angle X ray Scattering	DCD	Double Crystal Diffraction
ASIC	Application Specified Integrated Circuit	DCP	Direct Current Plasma
ATM	Absorption Tunnel Microscopy	(2)DEG	(2) Dimensional Electron Gas
BCM	Bond Charge Model	DEX	Diffraction of Evanescent X-rays
BEEN	(BEM) Ballistic Electron Emission Microscopy	DFET	Depletion Field Effect Transistor
BG	Buried Gate; Band Gap	DFT	Discrete Fourier Transform
BH	Buried Heterostructure	DH	Double Heterostructure
BiCFET	(BICFET) Bipolar inversion Channel Field Effect Transistor	DHBT	Double Heterojunction Bipolar Transistor
BiCMOS	Bipolar Complementary Metal Oxide Semiconductor	DHHEMT	Double Heterojunction High Electron Mobility Transistor
BiMOS	Bipolar Metal Oxide Semiconductor	DLA	Diode Laser Absorption, Diffusion Limited Aggregation
BJT	Bipolar Junction Transistor	DLOS	Deep Level Optical Spectroscopy
CARS	Coherent Anti(Stokes) Raman Spectroscopy	DLTS	Deep Level Transient Spectroscopy
CBE	Chemical Beam Epitaxy	DOR	Dynamic Optical Reflectivity
CCD	Charge Coupled Device	DOS	Density Of States
CDF	Charge Density Fluctuation	DOES	Doubleheterostructure Opto Electronic Switch
CEMS	Conversion Electron Mößbauer Spectroscopy	DMOS	Diffused Metal Oxide Semiconductor
CHINT	CHarge INjection Transistor	DQW	Double Quantum Wall
CITS	Current Imaging Tunneling Spectroscopy	DR	Deposition Rate
CL	Cathodo Luminescence	DSC	Differential Scanning Calorimetry
		DX	Acro(nym) für Deep State
		DXD	Double X-ray Diffraction
		EBIC	Electron Beam Induced Current
		ECR	Electron Cyclotron Resonance
		ECL	Emitter Coupled Logic

ECP	Electron Channeling Pattern	FMR	FerroMagnetic Resonance
EDAX	Energy Dispersive Analysis of X-rays	FTIR	Fourier Transform InfraRed
EELS	Electron Energy Loss Spectroscopy	FWHM	Full Width (at)Half Maximum (Valenzbandbreite)
EFET	Enhancement Field Effect Transistor	FZ	Float Zone
EFSE	Electric Field Stimulated Emission	GSMBE	Gas Source Molecular Beam Epitaxy
EHP	Electron Hole Plasma	HBT	Horizontal Bridgman Technique Heterojunction Bipolar Transistor
EID	Electron Impact Desorption	HEB(I)T	Hetero Emitter Bipolar Transistor
ELDOR	ELectron DOuble Resonance	HEED	High Energy Electron Diffraction
EM	Electro Migration	HEMT	High Electron Mobility Transistor
EMPA	Electron Microscopic Polarization Analysis	HFED	Heterojunction Field Effect Detector
ENDOR	Electron Nucleus DOuble Resonance	HFEL	Heterostructure Field Effect Laser
EPD	Etch Pit Density	HFEM	Heterojunction Field Effect Modulator
EPMA	Electron Probe Micro Analysis	HFET	Heterostructure Field Effect Transistor
EPR	Electron Paramagnetic Resonance	HJBT	HeteroJunction Bipolar Transistor
ER	Electro Reflectance	HPT	Heterojunction Photo Transistor
ESCA	Electron Scattering (for) Chemical Analysis	HTSC,	HTC High Temperature Superconductor
ESD	Electron Stimulated Desorption, ElectroStatic Discharge	HVCMOS	High Voltage Complementary Metal Oxide Semiconductor
EXAFS	Extended X-ray Absorption Fine Structure	IBD	Ion Beam Deposition
FE	Field Effect Fracto-Emission (of particles or electrons under fracture)	IBE	Ion Beam Etching, Isoelectronic Bound Exciton
FEES	Field Emission Electron Spectroscopy	IBS	Ion Beam Sputtering, Ion Beam Synthesis
FEG	Field Emission Gun	ICTS	Isothermal capacitance Transient Spectroscopy
FEL	Free Electron Laser, Field Effect Laser	IETS	Inelastic Electron Tunneling Spectroscopy
FET	Field Effect Transistor	IGBT	Isolated Gate Bipolar Transistor
FFT	Fast Fourier Transform	IMFP	Inelastic Mean Free Path
FIM	Field Ion Microscopy	IPE	Inverse Photo Emission
FIR	Finite Impulse Response, Far InfraRed	IPES	Inverse PhotoElectron Spectroscopy
FIRPS	Far InfraRed Photoconduction Spectroscopy	IRPME	InfraRed Phase Modulated Ellipsometry
FISTM	Field Ion Scanning Transmission Microscopy	IR-RA	InFfrared-RamanAbsorption
FLCD	Ferroelectric Liquid Crystal Display	IRRAS	(IRAS) InfraRed Reflection Absorption Spectroscopy
FLS	Fractional Layer Superlattice	IRS	InfraRed Spectroscopy
FMDPS	Frequency MoDulation Photopyroelectric Spectr.	ISS	Ion Scattering Spectroscopy, Impedance Standard Substrate

JFET	Junction FET	MLC	Multi Layer Ceramic
LAD	Laser Activated Deposition	MLD	Magnetic Linear Dichroism
LB	Langmuir-Blodgett (Technique; Molecular Films)	MNOS	Metal-Nitride-Oxide-Semiconductor (Schichtfolge)
LD	Lattice Distortion, Laser Diode	MO	Molecular Orbital
LDA	Local Density Approximation	MOCVD	Metal Organic Chemical Vapor Deposition
LDOS	Local Density Of States	MOKE	Magneto Optical Kerr Effect
LED	Light Emitting Diode	MOMBE	Metal Organic MBE
LEC	Liquid Encapsulated Czochralski (Kristallz.)	MOS	Metal-Oxide-Semiconductor (Schichtfolge)
LEED	Low Energy Electron Diffraction	MOS-LSI	Metal-Oxide-Semiconductor Large Scale Integration
LEELS	Low Energy Electron Loss Spectroscopy	MOVPE	Metal Organic Vapor Phase Epitaxy
LEEM	Low Energy Electron Microscopy	MPL	Magneto Photo Luminescence
LIF	Laser induced Fluorescence	MQW	Multiple Quantum Well
LITD	Laser Induced Thermal Desorption	MS	Mass Spectroscopy, Mößbauer Spectroscopy
LMIS	Liquid Metal Ion Source	NAA	Neutron Activation Analysis
LPCVD	Low Pressure Chemical Vapor Deposition	NDC	Negative Differential Conductivity
LPE	Liquid Phase Epitaxy	NDR	Negative Differential Resistance
LSD	Local Spin Density	NERFET	NEgative Resistance FET
LTMBE	Low Temperature Molecular Beam Epitaxy	NEXAFS	Near Edge X-ray Absorption Fine Structure
LTPL	Low Temperature Photo Luminescence	NMOS	N(-channel) Metal-Oxide-Semiconductor
LTSEM	Low Temp. Scanning Electron Microscopy	NMR	Nuclear Magnetic Resonance
LVM	Local Vibration Mode	NPCVD	Normal Pressure Chemical Vapor Deposition
MAD	Multiple (wavelength) Anomalous Dispersion	NQR	Nuclear Quadrupole Resonance
MBE	Molecular Beam Epitaxy	NRA	Nuclear Resonance Absorption
MCD	Magnetic Circular Dichroism	NSR	Nuclear Spin Relaxation
MD	Molecular Dynamics, Modulation Doped	NTD	Neutron Transmutation Doping
ME	Mößbauer Effect	ODMR	Optical Detection of Magnetic Resonance
MEE	Migration Enhanced Epitaxy	ODENDOR	Optically Detected Electron Nucleus DOuble Resonance
MESFET	MEtal Semiconductor Field Effect Transistor	OED	Oxidation Enhanced Diffusion
MIC	Microwave Integrated Circuit	OES	Optical Emission Spectroscopy
MINPN	Metal-Insulator-N(conducting)-P(conducting)-N(conducting)	OMBD	Organic Molecular Beam Deposition
MIS	Metal Insulator Semiconductor (Schichtfolge)	OMCVD	Organo Metallic Chemical Vapor Deposition
MISFET	Metal-Insulator-Semiconductor Field Effect Transistor	OMMBE	Organo Metallic Molecular Beam Epitaxy
ML	Molecular Layer, MonoLayer	OMVPE	Organo Metallic Vapor Phase Epitaxy

ON	Oxide Nitride (Schichtfolge)	QE	Quantum Efficiency
ONO	Oxide Nitride Oxide (Schichtfolge)	QEXAFS	Quantum Extended X-ray Absorption Fine Structure
ORD	Oxidation Retarded Diffusion	QED	Quantum Electro Dynamics
PAP	Planar Averaged Potential	QMS	Quadruple Mass Spectrometer
PCS	Photo Conduction Spectrum Photo Capacitance Spectroscopy	QSE	Quantum Size Effect
PCSC	Point Contact Solar Cell	QW	Quantum Well, Quantum Wire
PD	Photo Diode	QWB	Quantum Well Box
PDS	Photothermal Deflection Spectroscopy	QWIP	Quantum Well Infrared Photodetector(conductor)
PES	Photo Electron Spectroscopy, Photo Emission Spectroscopy	QWH	Quantum Well Heterostructure
PESC	Passivated Emitter Solar Cell	QWR	Quantum WiRe
PFES	Photo Field Emission Spectroscopy	QWW	Quantum Well Wire
PIN	P(-conducting)- Insulator-N(conducting) Schichtfolge	RAIRS	Reflection Absorption Infra Red Spectroscopy
PITS	Photo(n) Induced Transient Spectroscopy	RBS	Rutherford BackScattering
PL	PhotoLuminescence	RDF	Radial Distribution Function
PLE	Photo Luminescence Excitation	RED	Reflection Electron Diffraction, Radiation Enhanced Diffusion
PLEE	Pulsed Laser Evaporation and Epitaxy	REM	Raster Elektronen Mikroskopie, Reflection Electron Microscopy
PLES	Photo Luminescence Excitation Spectrum	RIMS	Resonance Ionized Mass Spectrometry
PME	Phase Modulation Ellipsometry	RIT	Resonant Interband Tunneling
PMOS	P(Channel)Metal Oxide Semiconductor	RN	Resonant Neutralization
PMR	Polarization Modulation Reflectivity	RHET	Resonant Hot Electron Tunneling
POMBE	Pulsed Organo Molecular Beam Epitaxy	RHEED	Reflection High Energy Electron Diffraction
PPC	Persistent Photo Conduction	RPA	Resonant Periodic Absorption, Random Phase Approximation
PR	Photo Reflectance	RPIB	Reactive Partially Ionized Beam (method)
PSD	Photo Stimulated Desorption	RRS	Resonant Raman Scattering
PT	Phase Transition; Photo Transistor	RS	Raman Spectroscopy
PTIS	Photo Thermal Ionization Spectroscopy	RT	Room Temperature, Rapid Thermal, Resonant Tunnelling
PTSD	Photo Thermal Surface Deformation	RTA	Rapid Thermal Annealing
PVD	Physical Vapor Deposition	RTN	Rapid Thermal Nitridation
PVR	Peak (to) Valley (current) Ratio	RTS	Resonant Tunnel Structure
PVS	Photo Voltage Spectroscopy	RXF	Refracted X-ray Fluorescence
PYS	Photoemission Yield Spectroscopy	SAES	Scanning Auger Electron Spectroscopy
QCSE	Quantum Confined Stark Effect	SAM	Scanning Auger Microprobe
QD	Quantum Dot	SANS	Small Angle Neutron Scattering
		SAPD	Superlattice Avalanche Photo Diode

SAS	Scanning Auger Spectroscopy, Small Angle Scattering	SLS	Strained Layer Superlattice
SAXS	Small Angle X-ray Scattering	SNMS	Secondary Neutral(Particle) Mass Spectroscopy
SBD	Schottky Barrier Diode	SNOS	Silicon Nitride Oxide on Silicon (Schichtfolge)
SBHET	Superconducting Base Hot Electron Transistor	SOI	Silicon On Insulator (Schichtfolge)
SBZ	Surface Brillouin Zone	SOM	Scanning Optical Microscopy
SCLC	Space Charge Limited Current	SOS	Silicon On Sapphire
SCR	Space Charge Region	SPA	Surface Peak Area, Spot Profile Analysis (bei LEED), Surface Photo Absorption
SCS	Surface Charge Spectroscopy	SPE	Solid Phase Epitaxy
SdH	Shubnikov de Haas	SPR	Spreading Resistance Probe
SDM	Scanning Damping Microscopy	SPS	Surface Photovoltage Spectroscopy Short Period Superlattice
SDR	Surface Differential Reflectivity	SPSL	Short Period SuperLattice
SE	Spectrometric Ellipsometry	SPSTM	Spin Polarized Scanning Tunnel Microscopy
SEAM	Scanning Electron Acoustic Microscopy	SPV	Surface Photo Voltage
SEGOR	Spin Echo Double Resonance	SQW	Single Quantum Well
SEE	Secondary Electron Emission	SR	Synchrotron Radiation
SEG	Selected Epitactical (Epitaxy) Growth	SRN	Surface Recombination Velocity
SEM	Scanning Electron Microscopy	SRM	Standard Reference Material
SER	Spin Echo Resonance	SRPES	Synchrotron Radiation Photo Emission Spectroscopy
SERS	Surface Enhanced Raman Spectroscopy	SRV	Surface Recombination Velocity
SET	Stark Effect Transistor	STEM	Scanning Transmission Electron Microscopy
SEXAFS	Surface Extended X-ray Absorption Fine Structure	STM	Scanning Tunnel Microscopy
SFM	Scanning Force Microscopy	STS	Scanning Tunnel Spectroscopy
SHG	Second Harmonic Generator	SuFET	Superconducting Field Effect Transistor
SI	Semi Insulating	SXAP	Soft X-ray Appearance Potential Spectroscopy
SID	Substitutional Interstitial Diffusion	SXPS	Scanning X-ray Photoelectron (Spectroscopy) Soft X-ray Photoelectron Spectroscopy
SIMOX	Silicon-Interface-Metal-Oxide (Schichtfolge) Separation by IMplantation of OXygen		SurfaceX-ray Photoelectron Spectroscopy
SIMS	Secondary Ion Mass Spectrometry	TD	Theoretical Density, Thermal Donor
SIN	Superconductor-Insulator-Nor-mal(-conductor)	TDDB	Time Dependent Dielectric Breakdown
SIS	Superconductor-Insulator-Superconductor (Schichtfolge)	TDH	Temperature Dependent Hall (effect)
SISFET	Semiconductor-Insulator-Semiconductor Field Effect Transistor	TDI	Total Dielectric Isolation
SIT	Static Induction Transistor		
SKS	Stochastic Kinetic Simulation		
SL	Super Lattice		

TDMS	Thermal Desorption Mass Spectrometry	TSL	Tilted Super Lattice, Thermally Stimulated Luminescence
TDS	Thermal Desorption Spectroscopy	TTL	Transistor-Transistor Logic
	Thermal Diffused Scattering (Rö-Technik-Laue)	TTS	Transient Tunneling Spectroscopy
TE	Thermionic Emission	TXRF	Total (reflection) X Ray Fluorescence
TEAS	Thermal Energy Atom Scattering	ULSI	Ultra Large Scale Integration
TED	Transmission Electron Diffraction	UPS	Ultraviolet Photoelectron Spectroscopy
TEF	Trap Enhanced Field	VBM	Valence Band Maximum
TEM	Transmission Electron Microscopy	VDWE	Van Der Waals Epitaxy
TEOS	Thermally Enhanced Oxygen Sputtering	VGf	Vertical Gradient Freeze (Kristallzuchtmethode)
TFE	Thermionic Field Emission	VHSIC	Very High Speed Integrated Circuit
TFET	(T-FET) T(shaped gate-source-drain)FET	VPE	Vapor Phase Epitaxy
TFL	Trap Filled Limit	VUV	Vacuum UltraViolet
TFT	Thin Film Transistor	WF	Work Function
TMA	ThermoMagnetic Analysis	XAES	X ray Auger Electron Spectroscopy
TOF	Time Of Flight	XAFS	X ray Absorption Fine Structure (Spectroscopy)
TOFMS	Time of Flight Mass Spectroscopy	XANES	X-ray Absorption Near Edge Structure
TOPFET	Temperature(and)Overload Protected FET	XAS	X-ray Absorption Spectroscopy
TPA	Two Photon Absorption	XPD	X-ray Photoelectron Diffraction
TPR	Temperature Programmed Reaction	XPS	X-ray Photoelectron Spectroscopy
TPSIMS	Temperature Programmed Secondary Ion Mass Spectroscopy	XRD	X-Ray Diffraction
TQW	Triangular Quantum Well	XRF	X-Ray Fluorescence
TRR	Time Resolved Reflectance	XS	Acro für Cross Section(al)
TS	Tunneling Spectroscopy	XSW	X-ray Standing Wave
TSC	Thermally Stimulated Conduction	XT	X-ray Topography
TSC	(TSCap) Thermally Stimulated Capacitance	XUV	Extreme (-vacuum) UltraViolet
		ZMR	Zone Melt Recrystallization